

Введение в кристаллографию макромолекул

Лекция 2

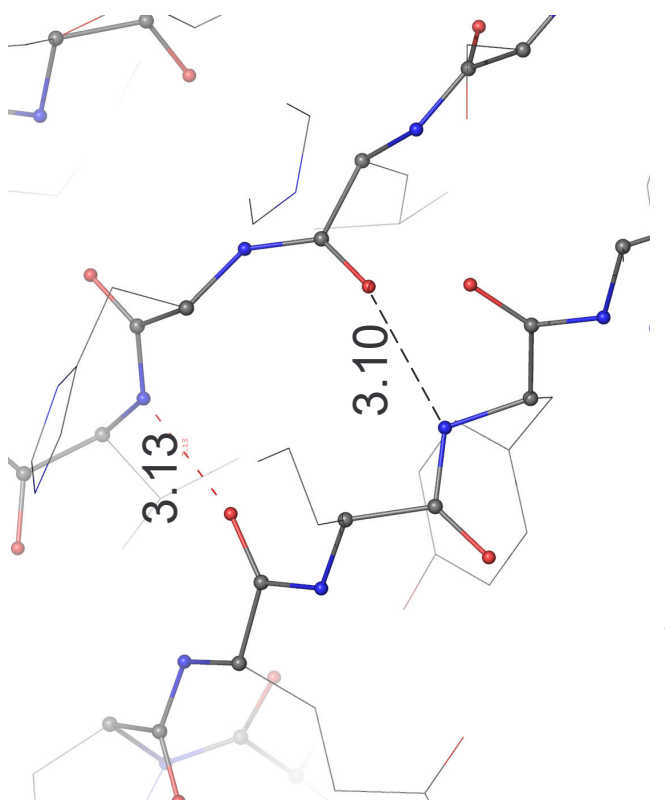
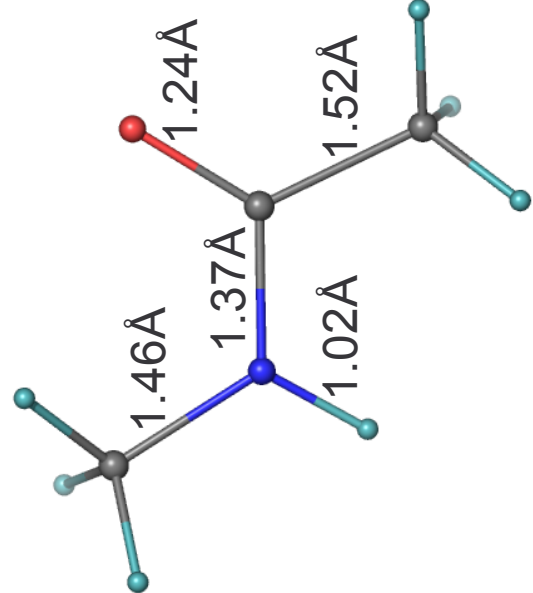
Владимир Юрьевич Лунин

Институт Математических Проблем Биологии РАН
Пущино

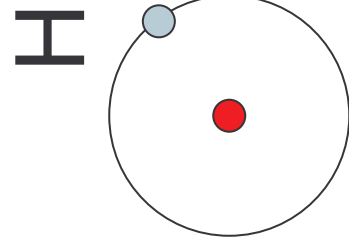
<http://www.impb.ru/lmc>

Масштаб

ангстрем
 $1 \text{ \AA} = 10^{-10} \text{ м}$

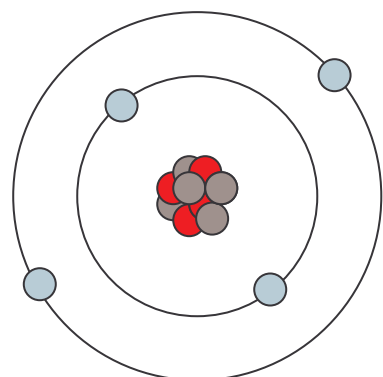


размеры ядра $\sim 10^{-4} \text{ \AA}$



радиус орбиты электрона в
атоме водорода
 $\sim 0.529 \dots \text{ \AA}$

$\lambda \sim 0.5 - 1.5 \text{ \AA}$



Функция распределения электронной плотности

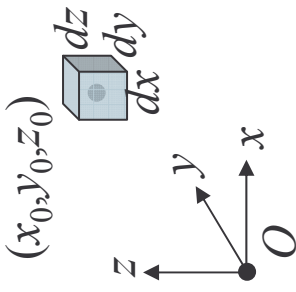
$\rho(\mathbf{r})$ (или $\rho(x,y,z)$) - функция распределения электронной плотности

dV

$\rho(\mathbf{r})dV$ (или $\rho(x_0,y_0,z_0)dxdydz$) - средний (по времени) заряд в объеме dV

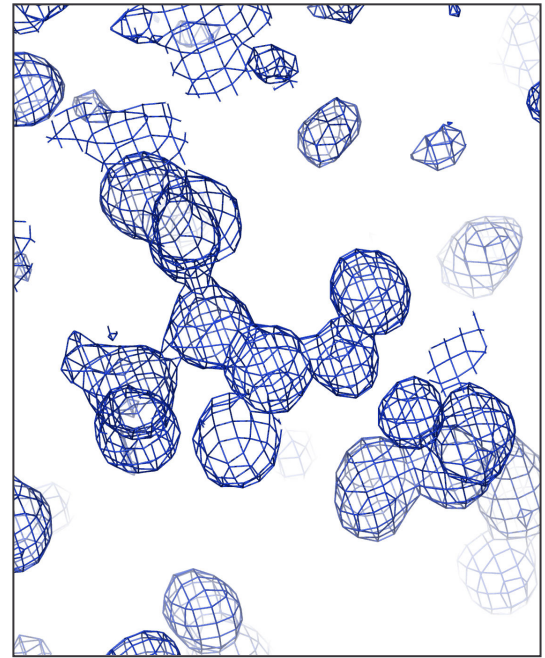
\mathbf{r}

O



Ω

$$\int_{\Omega} \rho(\mathbf{r})dV_r - \text{количество электронов в области } \Omega$$



Распределение электронной плотности в белке альбод-редуктазе

"Сферически-симметричный" атом

$$\rho(\mathbf{r}) = \rho_0(|\mathbf{r}|)$$

$$\rho(x, y, z) = \rho_0 \left(\sqrt{x^2 + y^2 + z^2} \right)$$

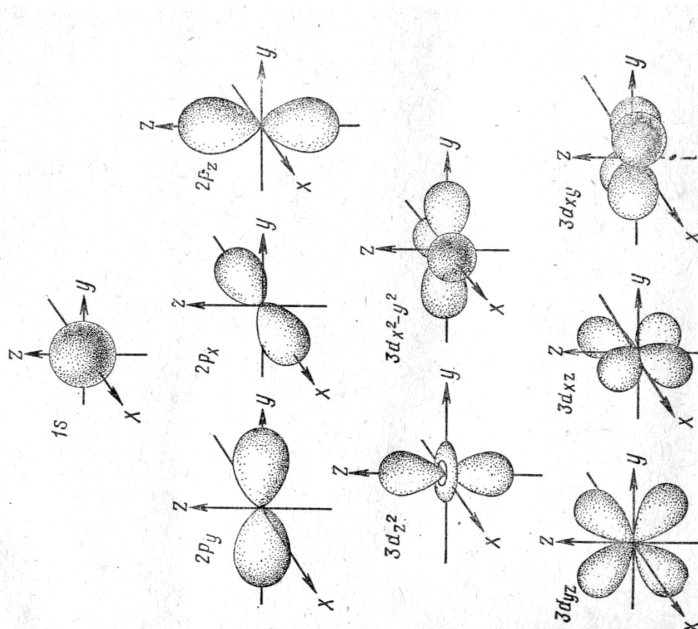
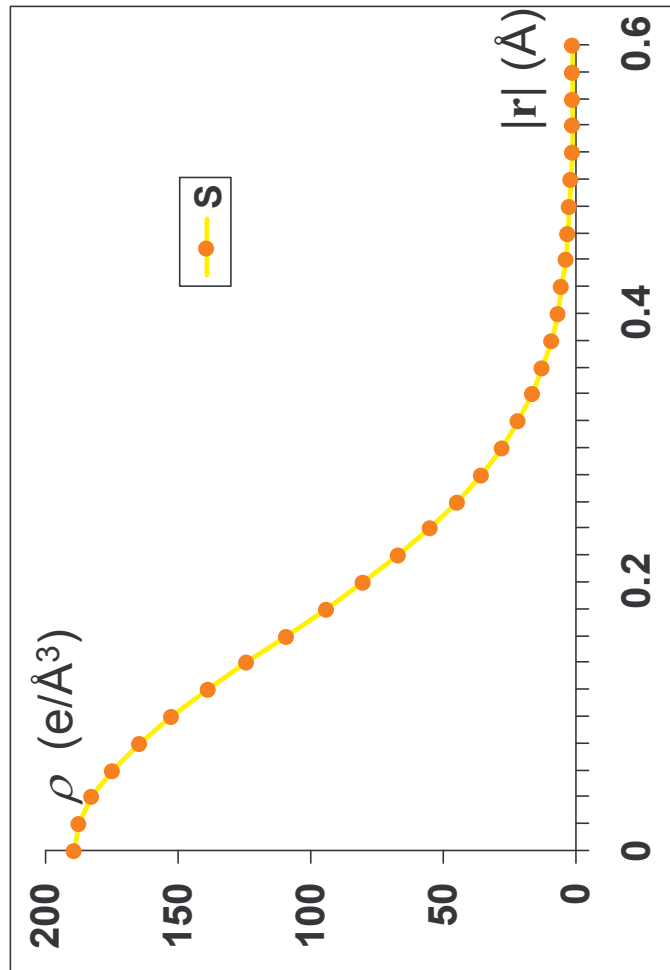
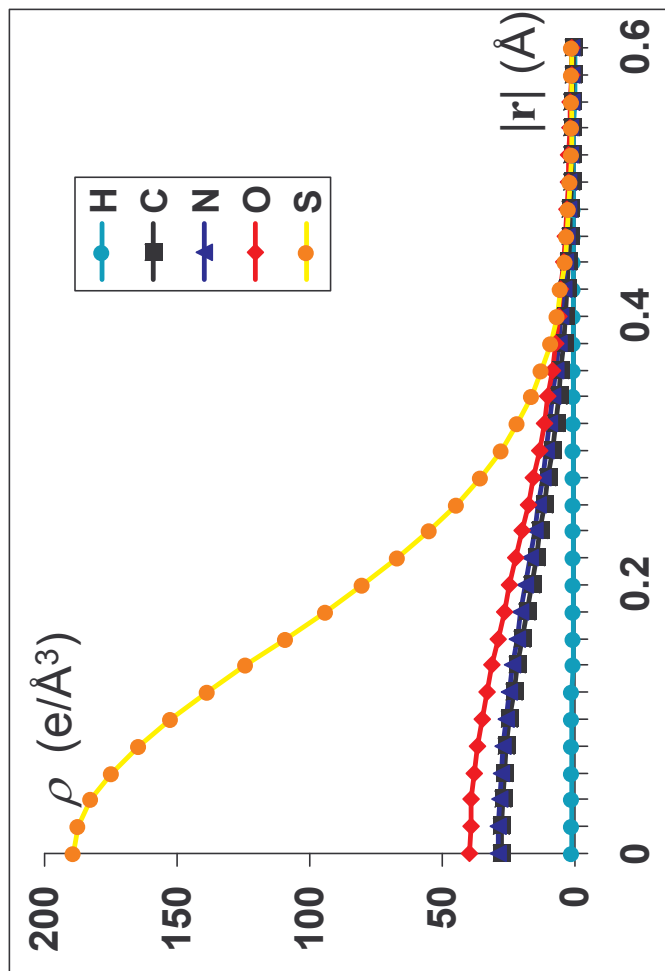


Рис. 18. Формы электронных облаков для различных состояний электронов в атомах (полярные диаграммы ψ^2)

"Сферически-симметричный" атом

$$\rho(\mathbf{r}) = \rho_0(|\mathbf{r}|)$$
$$\rho(x, y, z) = \rho_0 \left(\sqrt{x^2 + y^2 + z^2} \right)$$

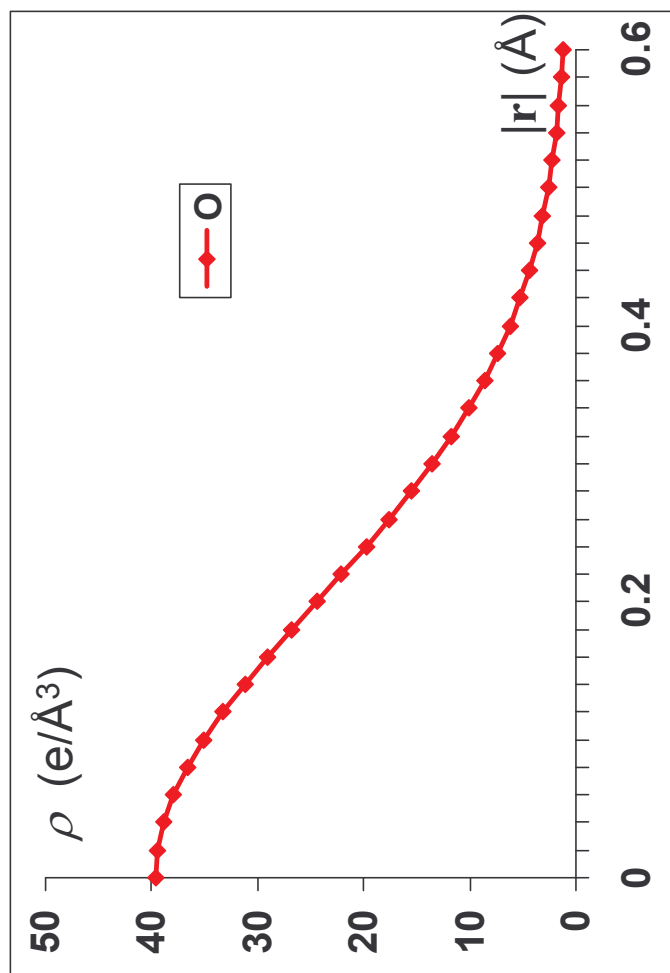


"Сферически-симметричный" атом

$$\rho(\mathbf{r}) = \rho_0(|\mathbf{r}|)$$

$$\rho(x, y, z) = \rho_0\left(\sqrt{x^2 + y^2 + z^2}\right)$$

$$\rho_0(r) = \alpha \exp(-\beta r^2)$$



"Сферически-симметричный" атом

$$\rho(\mathbf{r}) = \rho_0(|\mathbf{r}|)$$

$$\rho(x, y, z) = \rho_0 \left(\sqrt{x^2 + y^2 + z^2} \right)$$

$$\rho_0(r) = \alpha \exp(-\beta r^2)$$

$$\rho_0(r) = C \left(\frac{4\pi}{B} \right)^{3/2} \exp \left(-\frac{4\pi^2 r^2}{B} \right)$$

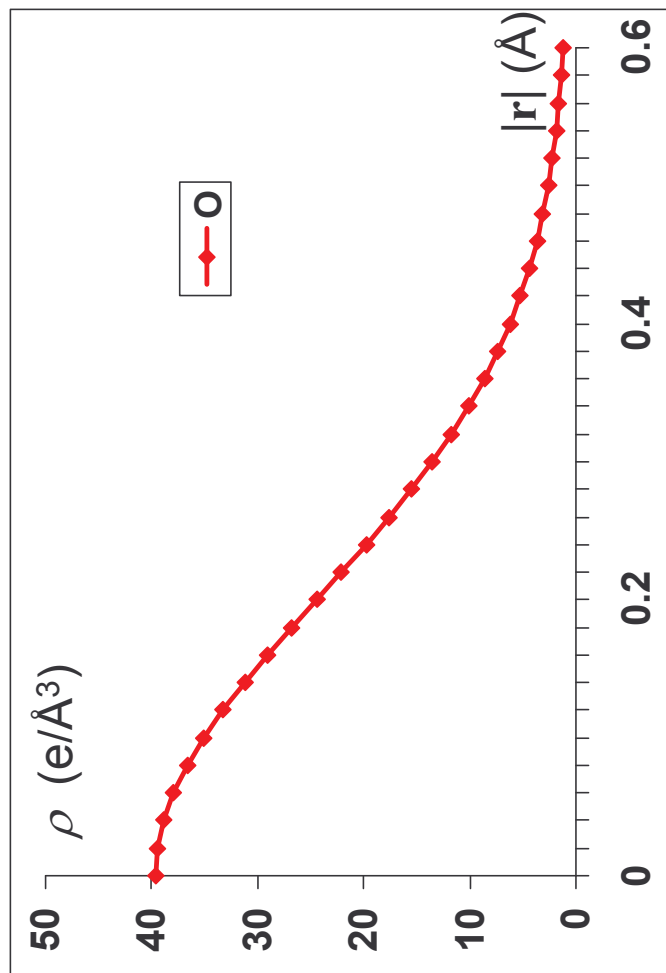
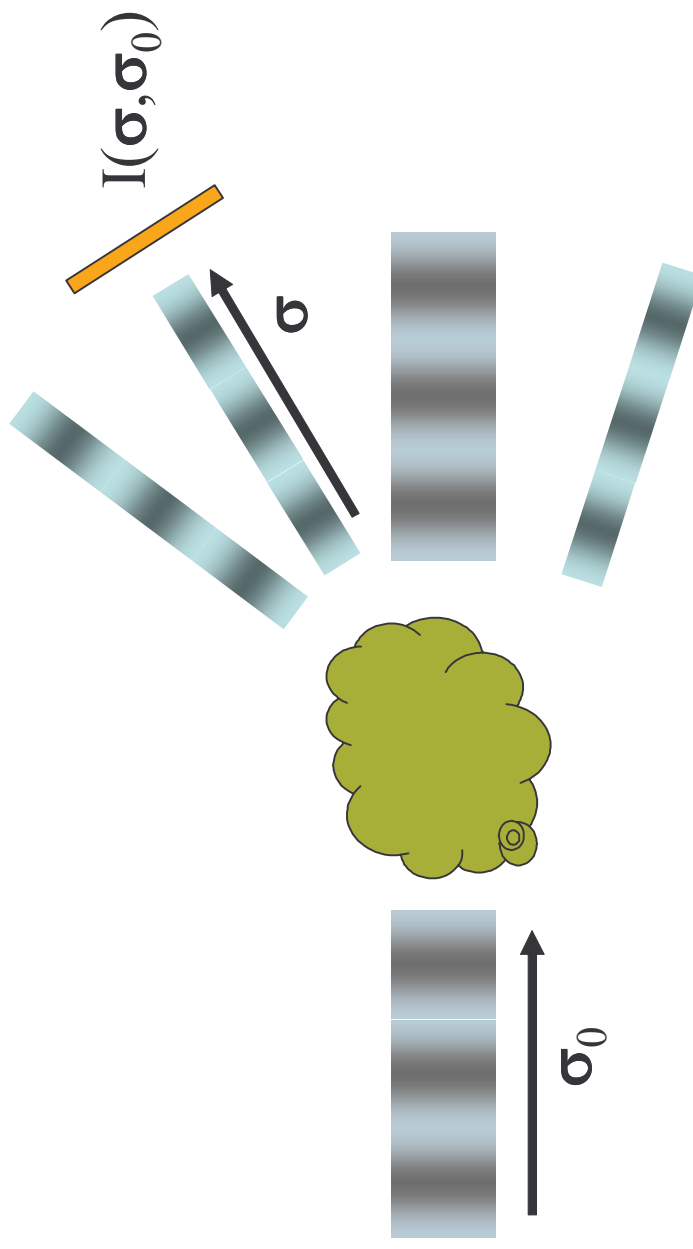
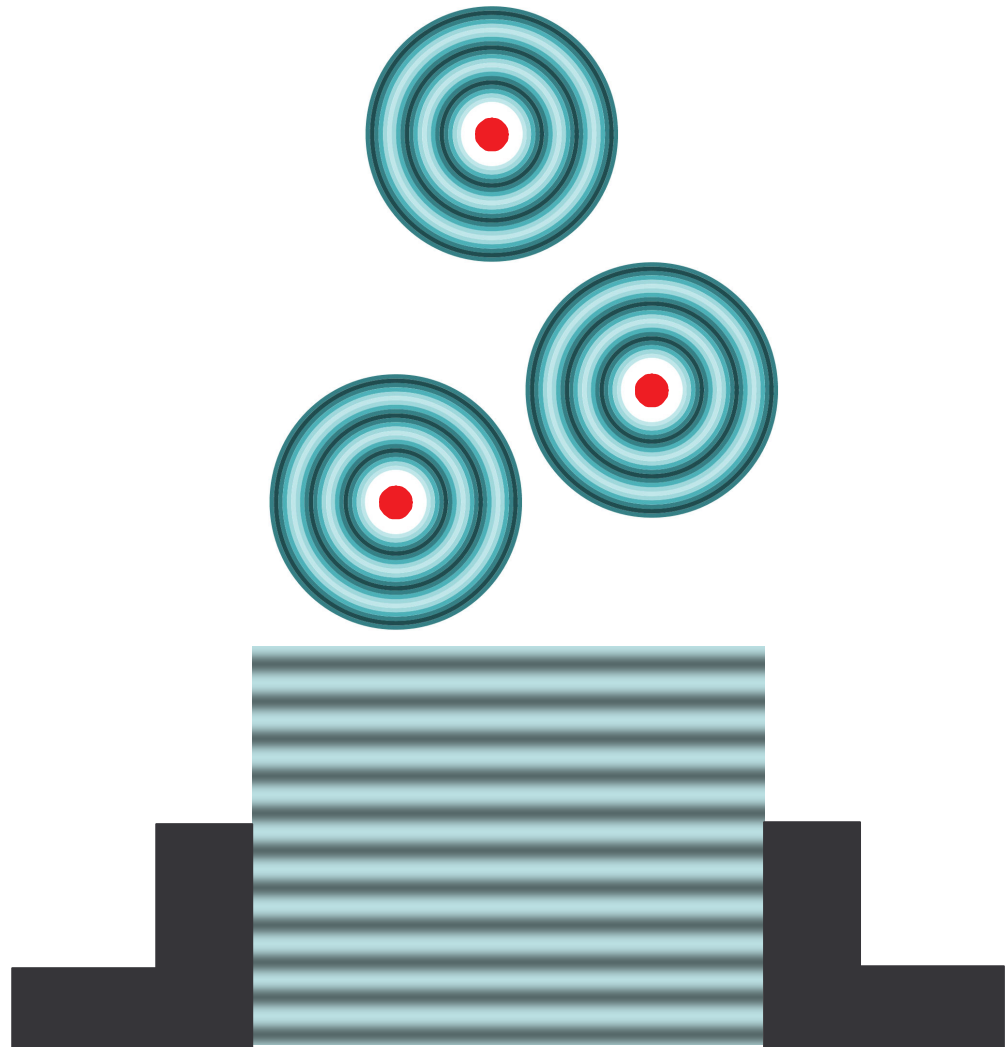
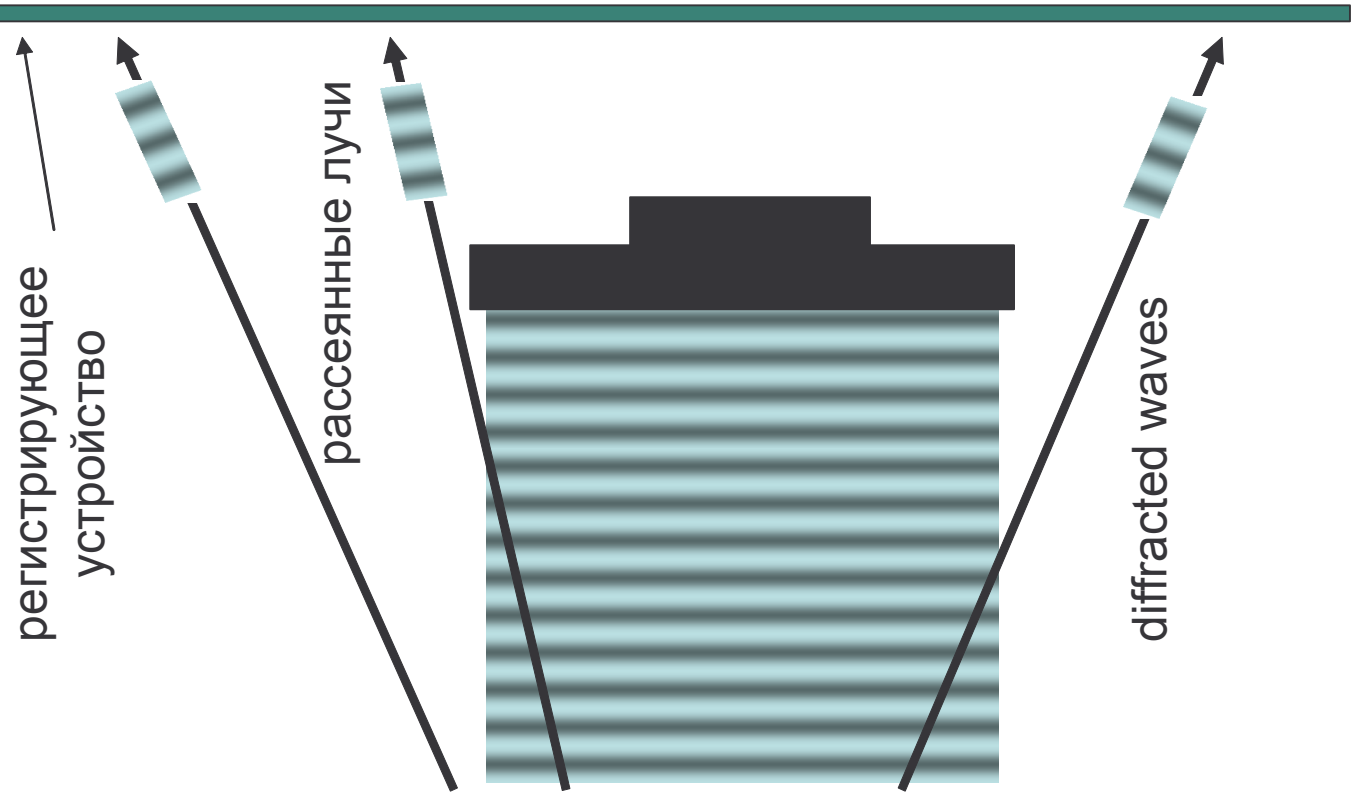
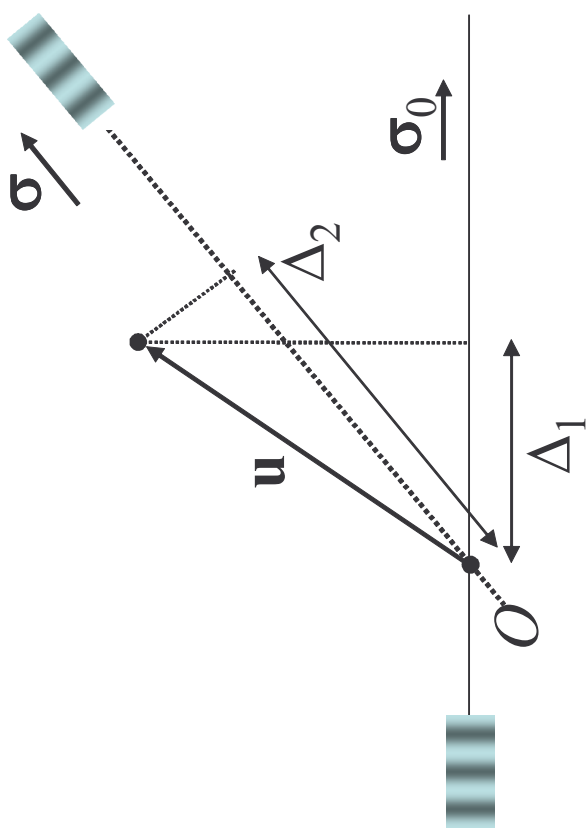


Схема рентгеновского эксперимента





Рассеяние волны двумя электронами



$$|\sigma_0|=1 \quad |\sigma|=1$$

$$\Delta_1 = -\frac{(\sigma_0, \mathbf{u})}{\lambda} \quad \Delta_2 = \frac{(\sigma, \mathbf{u})}{\lambda}$$

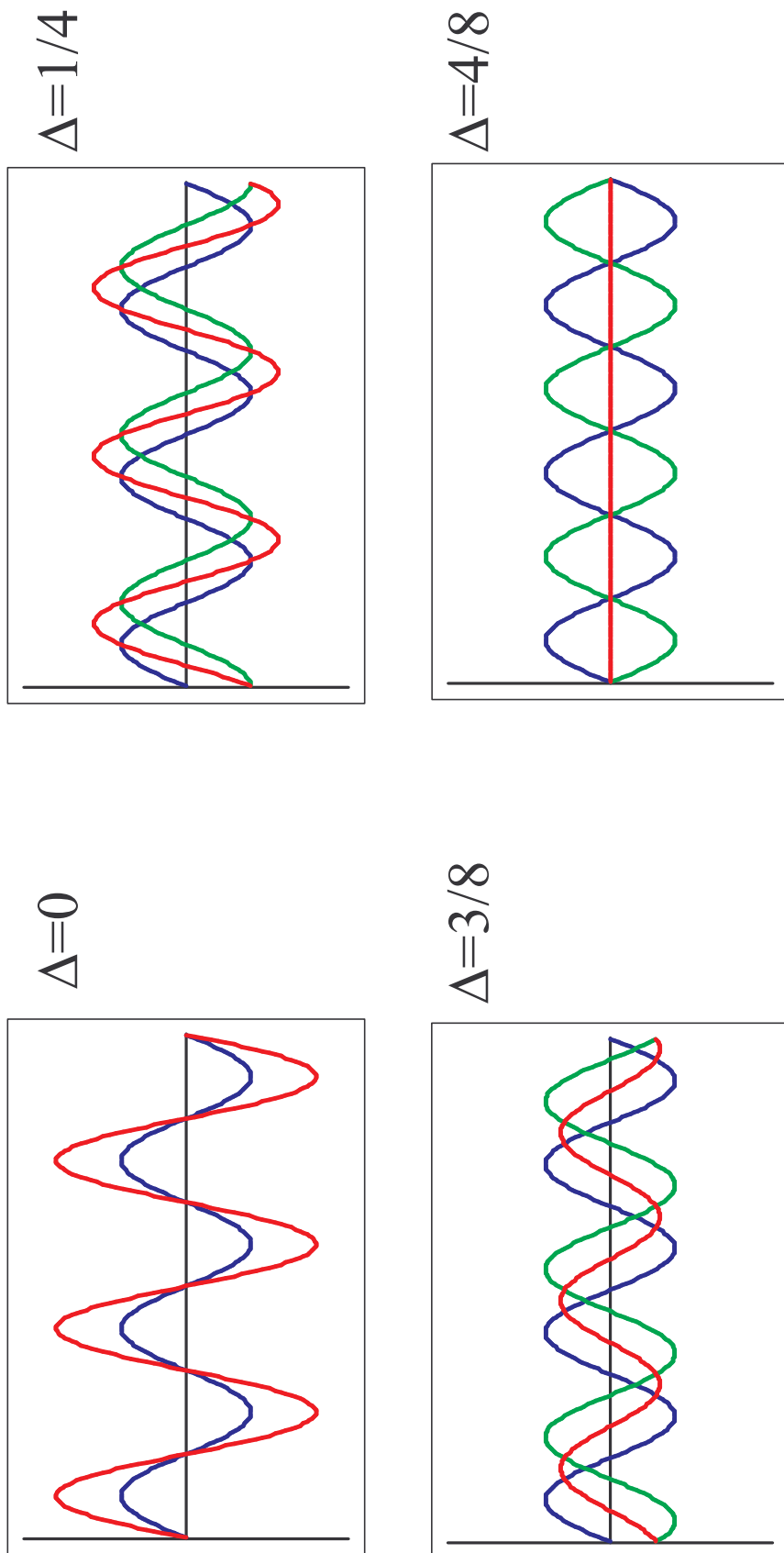
падающая волна

$$E(\mathbf{r}, t) = E_0 \sin \left[2\pi \left(\frac{(\sigma_0, \mathbf{r})}{\lambda} - vt + \delta \right) \right]$$

$$E(\mathbf{r}, t) = E_0 \sin \left[2\pi \left(\frac{(\mathbf{r}, \sigma)}{\lambda} - vt - \left(\frac{\sigma - \sigma_0}{\lambda}, \mathbf{u} \right) \right) \right] + E_0 \sin \left[2\pi \left(\frac{(\mathbf{r}, \sigma)}{\lambda} - vt \right) \right]$$

Сложение волн от двух электронов

$$E(x, t) = E_0 \sin[2\pi x] + E_0 \sin[2\pi(x + \Delta)] \quad \Delta = \left(\frac{\sigma - \sigma_0}{\lambda}, u \right)$$



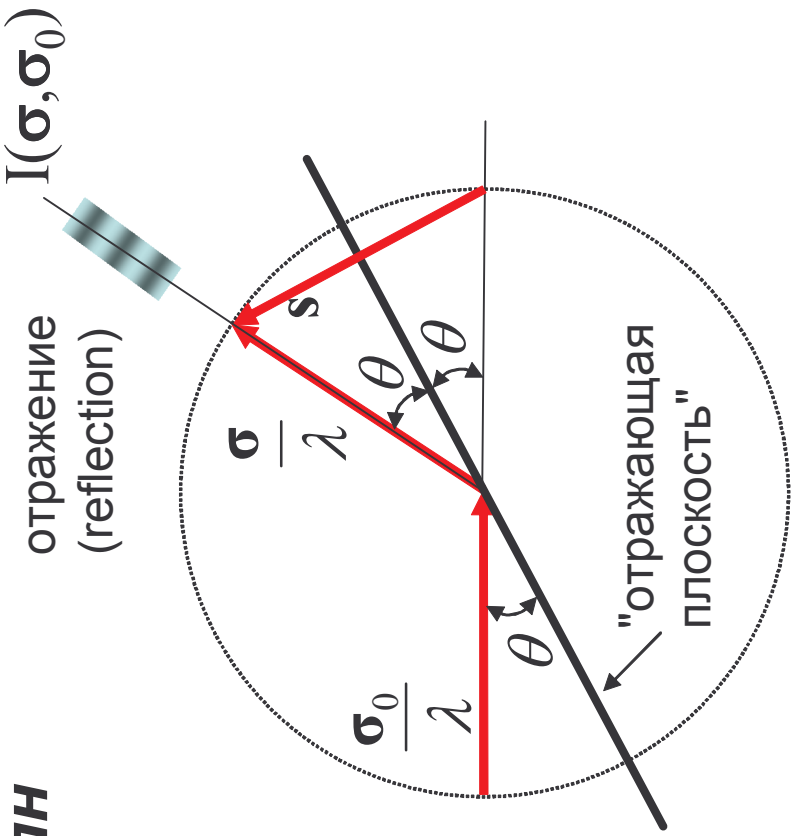
Амплитуда рассеянной волны зависит от взаимного расположения рассеивающих электронов.

Суммирование рассеянных волн

Рассеянная волна определяется распределением электронной плотности в образце $\rho(r)$ и вектором рассеяния s .

$$s = \frac{\sigma - \sigma_0}{\lambda} - \text{вектор рассеяния}$$

θ - угол рассеяния

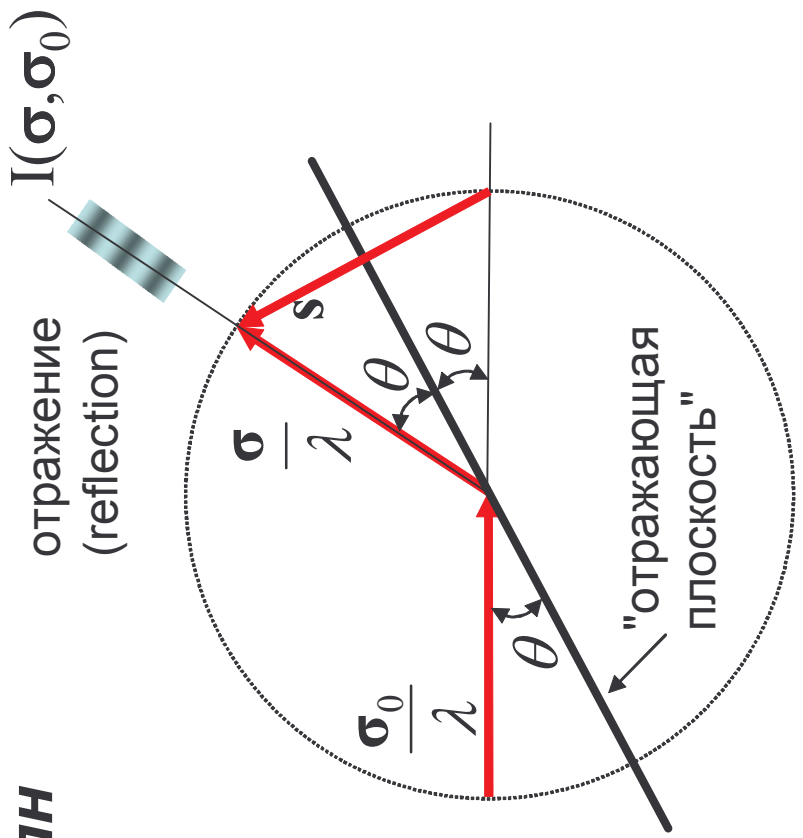


Суммирование рассеянных волн

$$\mathbf{s} = \frac{\boldsymbol{\sigma} - \boldsymbol{\sigma}_0}{\lambda} \quad \text{- вектор рассеяния}$$

$$E_s(t) = F(\mathbf{s}) \tilde{E}_0 \sin[2\pi(-vt + \delta - \varphi(\mathbf{s}))]$$

$$I(\boldsymbol{\sigma}, \boldsymbol{\sigma}_0) \propto F^2 \left(\frac{\boldsymbol{\sigma} - \boldsymbol{\sigma}_0}{\lambda} \right)$$



$$A(\mathbf{s}) = \int \rho(\mathbf{r}) \cos 2\pi (\mathbf{s}, \mathbf{r}) dV_r \quad B(\mathbf{s}) = \int \rho(\mathbf{r}) \sin 2\pi (\mathbf{s}, \mathbf{r}) dV_r$$

$$F(\mathbf{s}) = \sqrt{A^2(\mathbf{s}) + B^2(\mathbf{s})} \quad \operatorname{tg} \varphi(\mathbf{s}) = \frac{B(\mathbf{s})}{A(\mathbf{s})}$$

$F(\mathbf{s}), \varphi(\mathbf{s})$ - модуль и фаза структурного фактора

"Обратная" задача теории рассеяния

Зная интенсивности рассеяния для разных направлений рассеяния определить положения рассеивающих электронов.

Метод проб и ошибок

- имеем гипотезу о расположении электронов;
- рассчитываем какие должны быть в таком случае интенсивности рассеянных волн;
- сравниваем с результатом эксперимента.

Проблема

Интенсивность рассеяния отдельной молекулой слишком мала для регистрации.

Возможное решение:

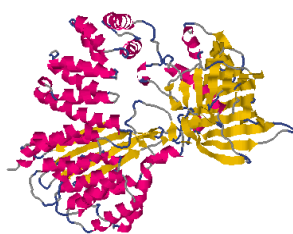
- увеличение мощности источника излучения;
- повышение чувствительности регистрирующего устройства;
- рассеяние большим числом идентичных молекул.

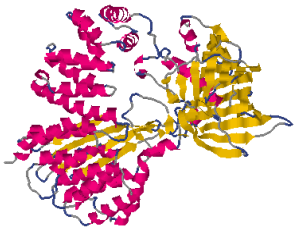
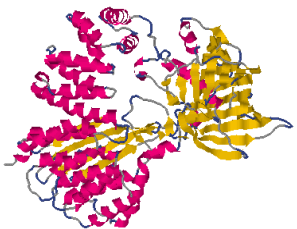
Много молекул:

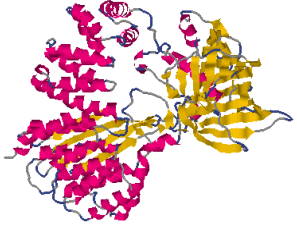
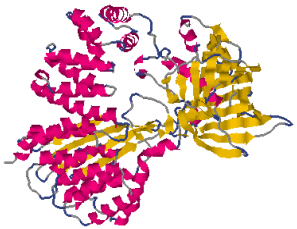
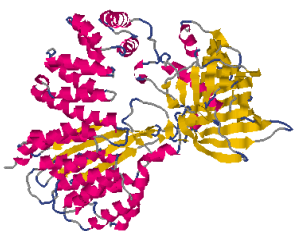
- растворы;
- газы;
- порошки;
- кристаллы.

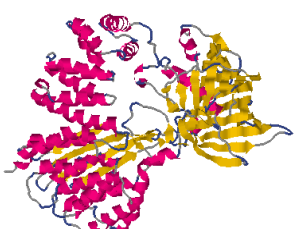
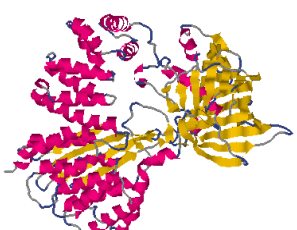
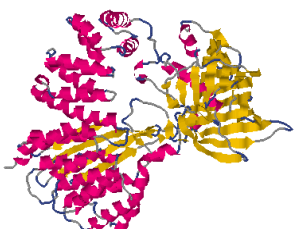
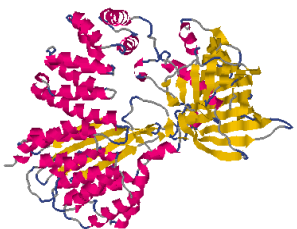
Молекулярные кристаллы

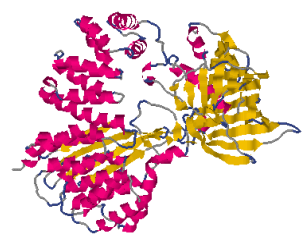
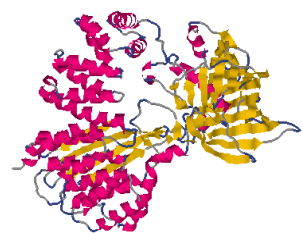
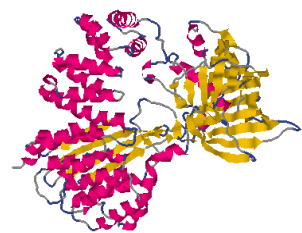
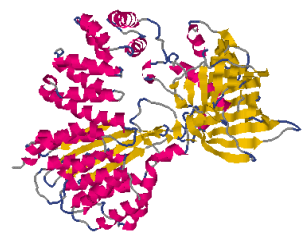
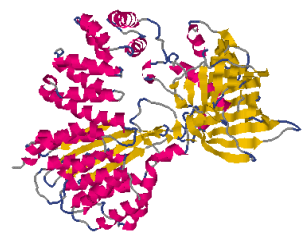
Много экземпляров молекул расположены в пространстве регулярным образом. Идеальный монокристалл.

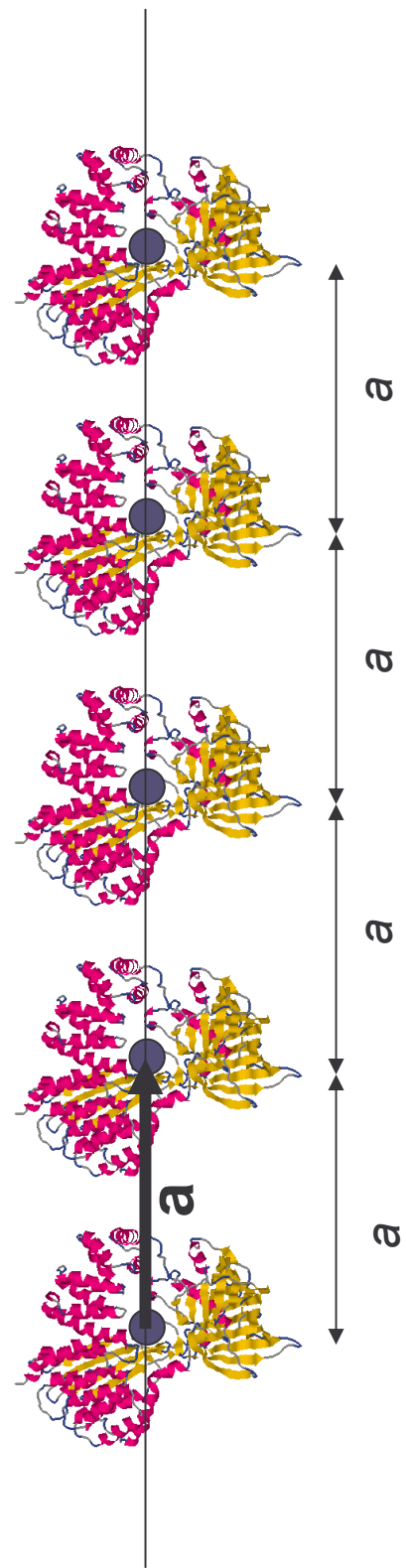


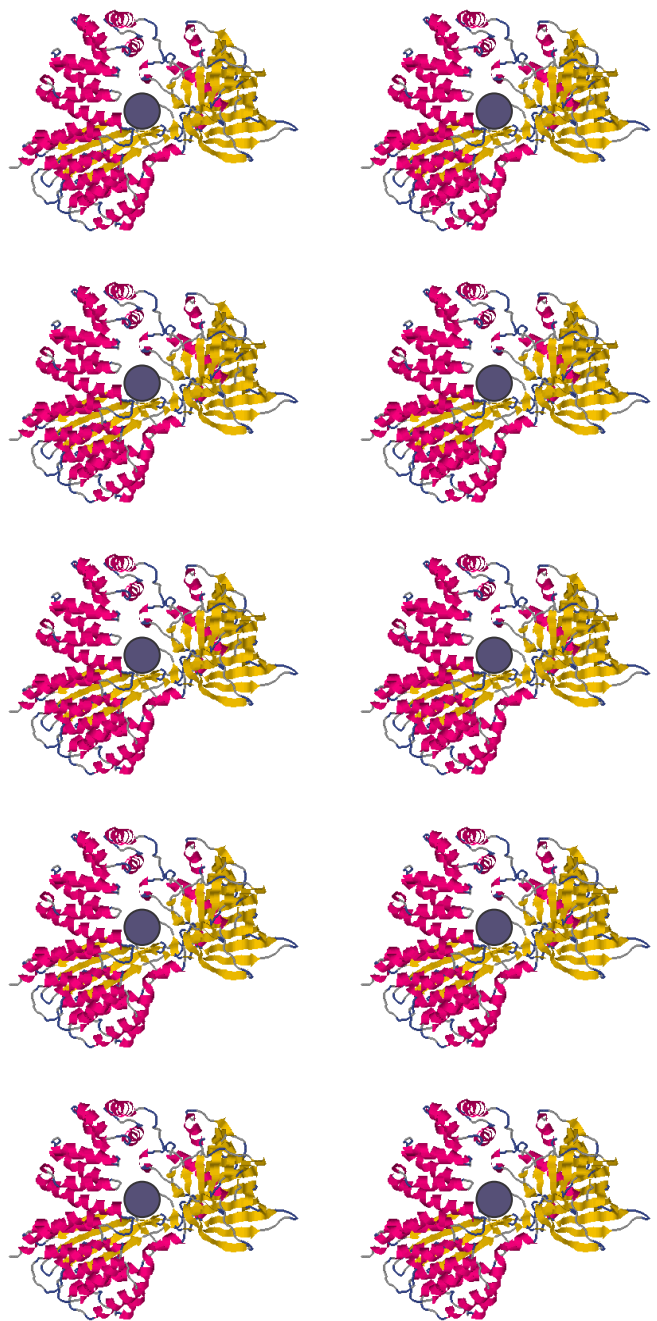


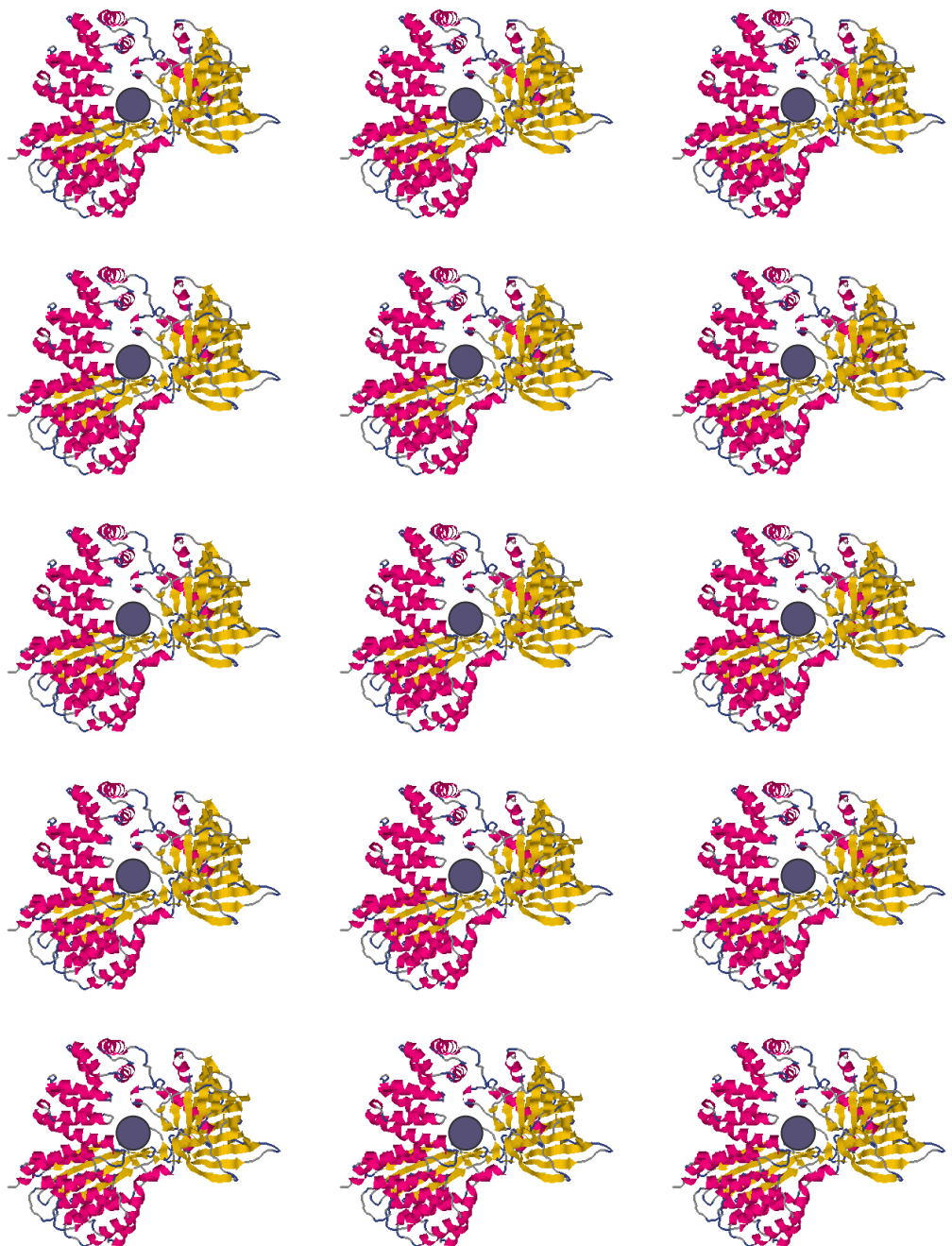


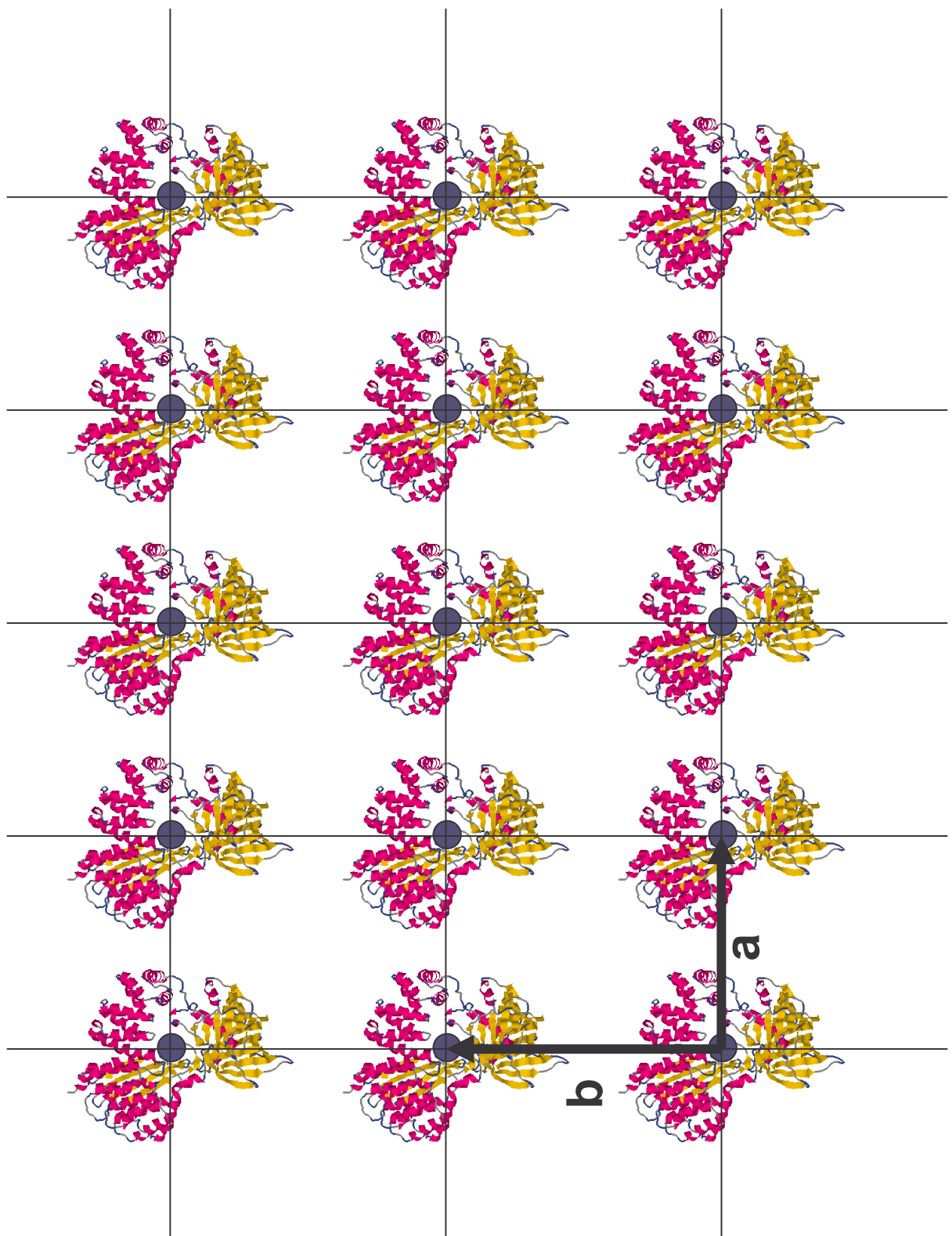


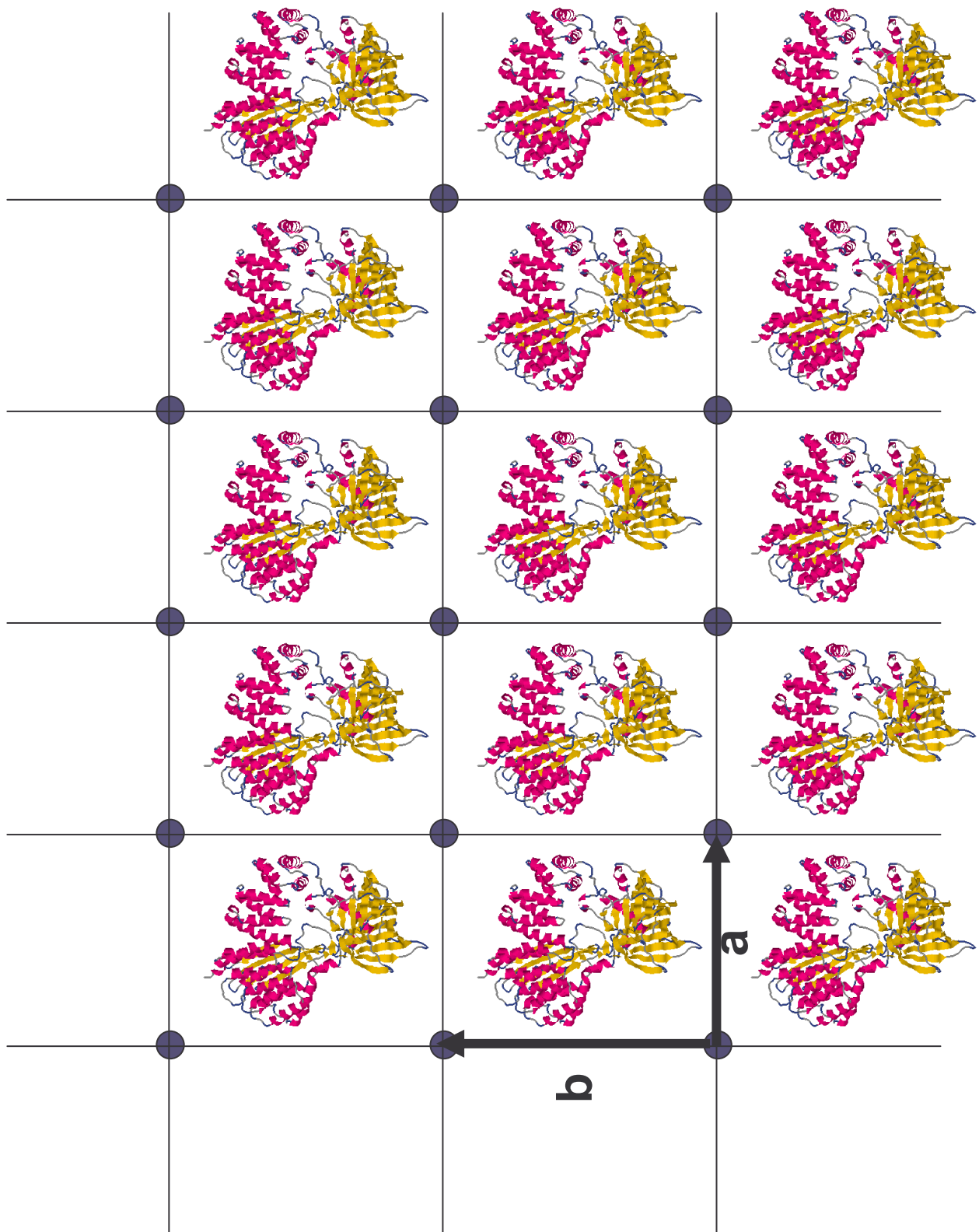


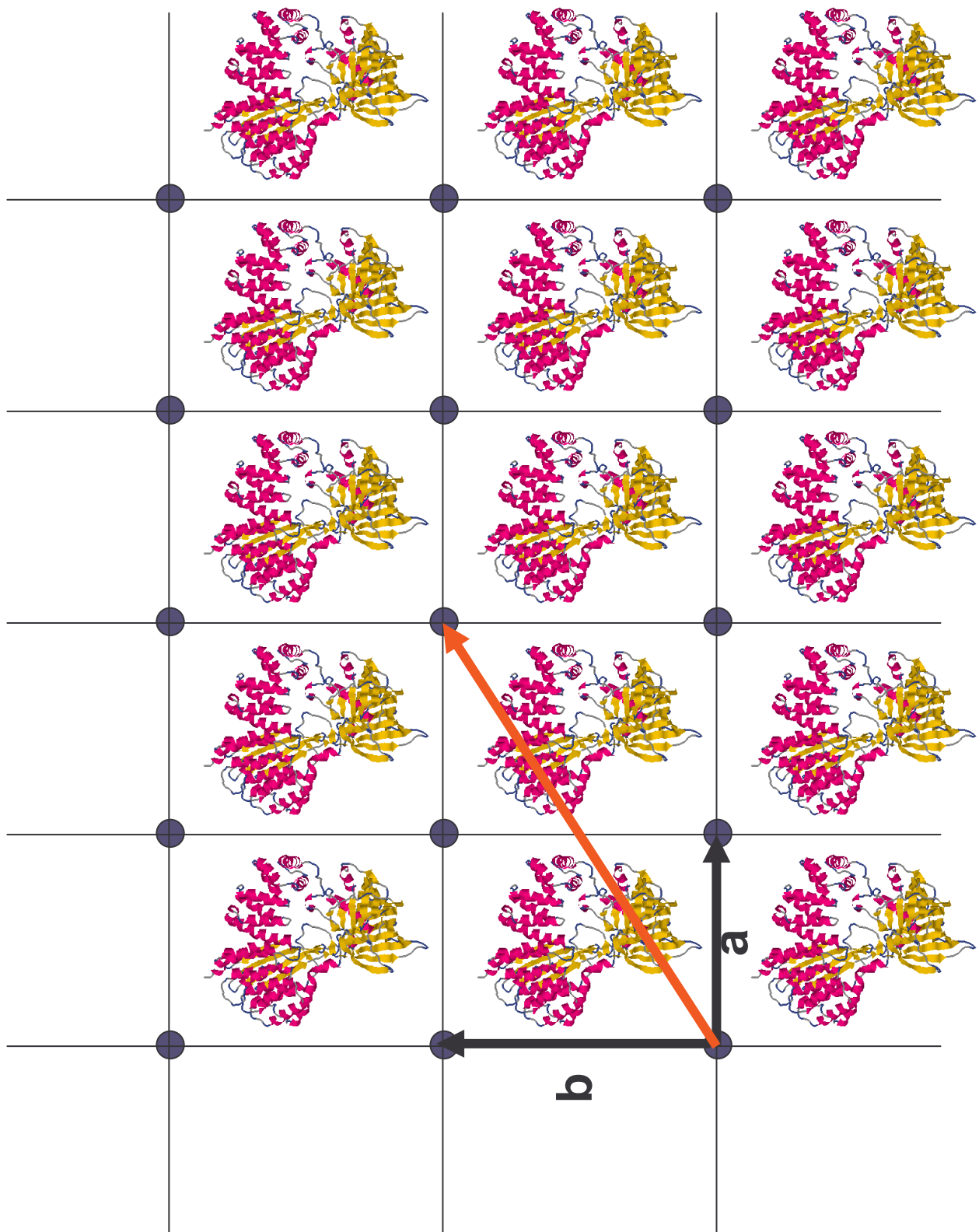


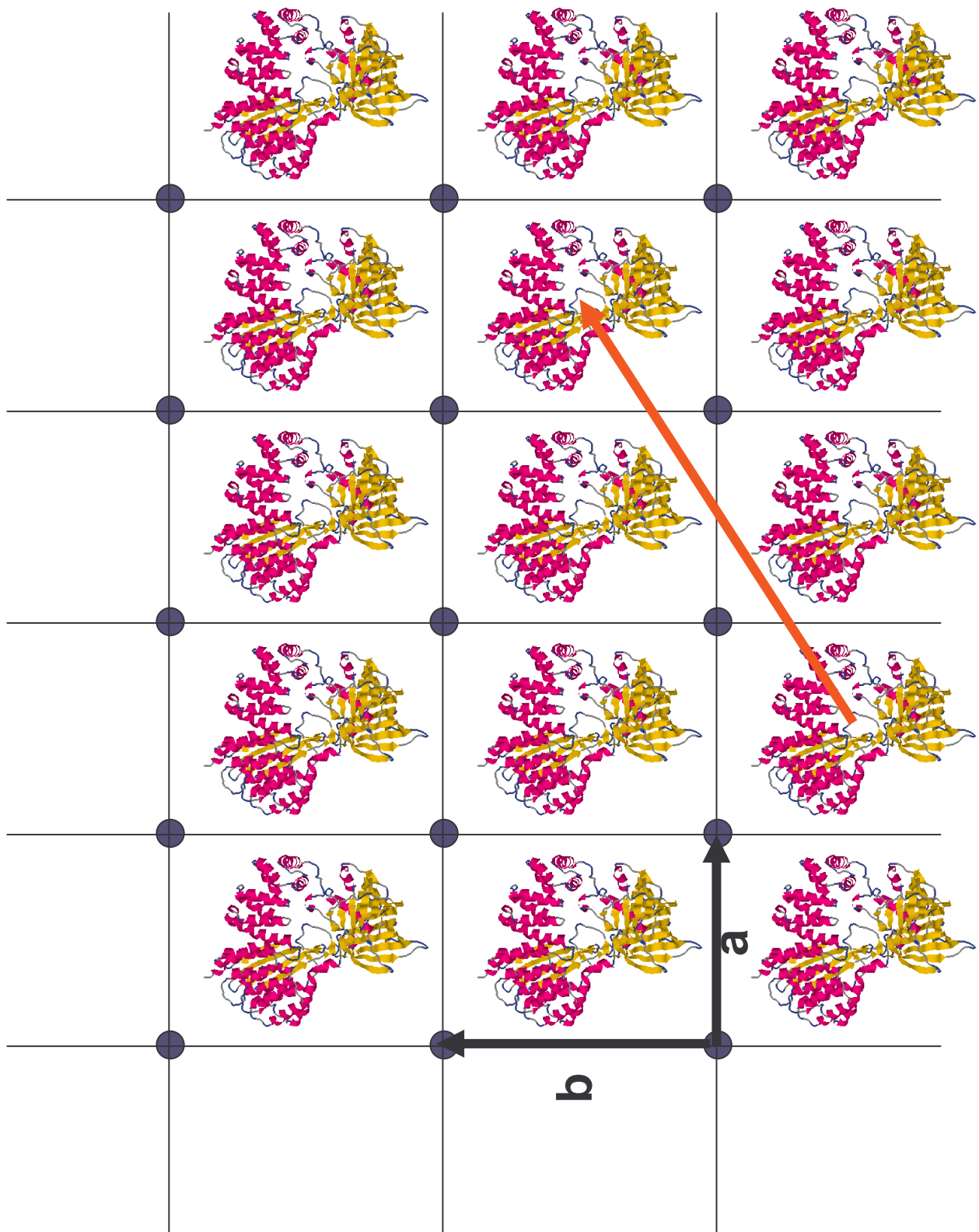


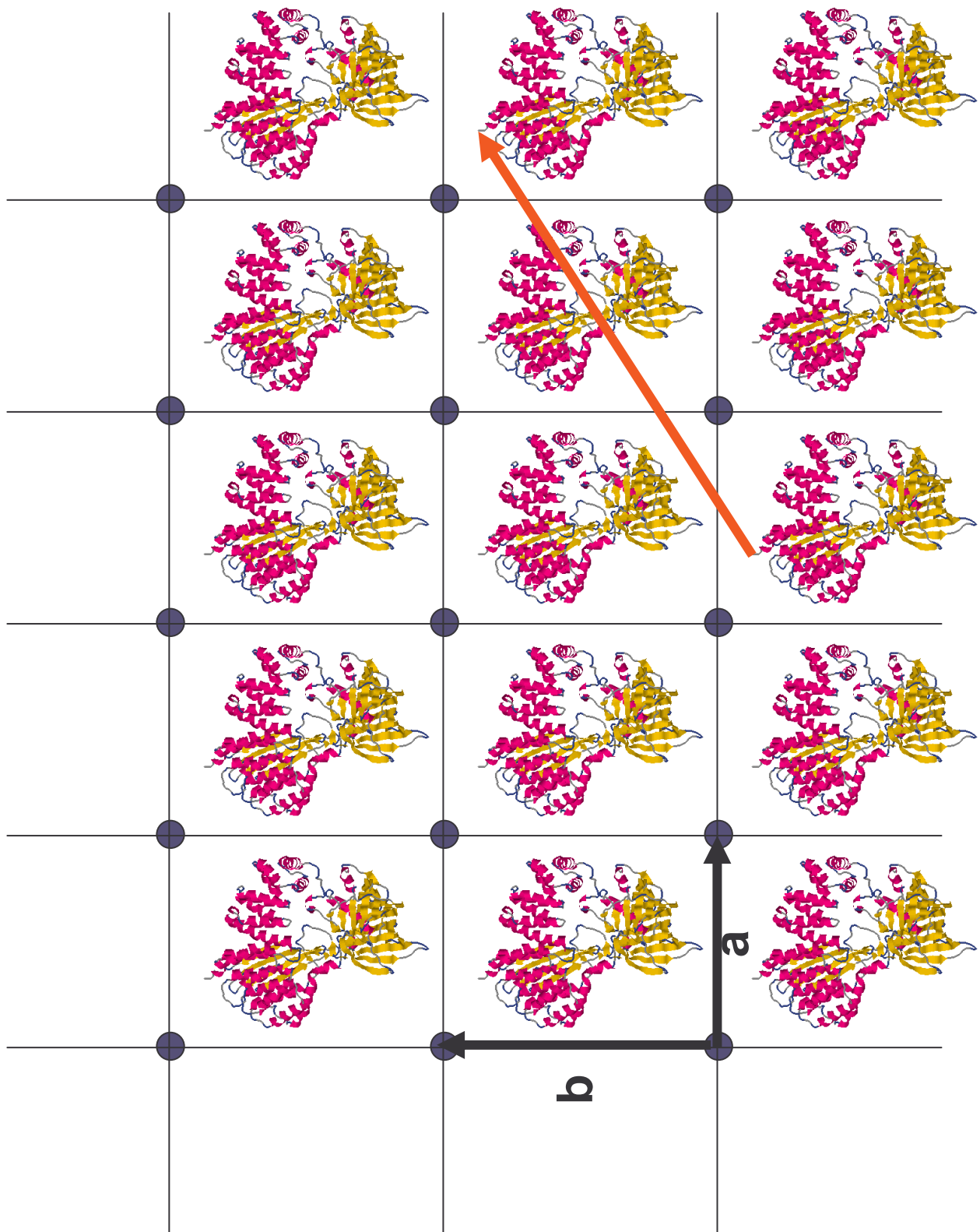


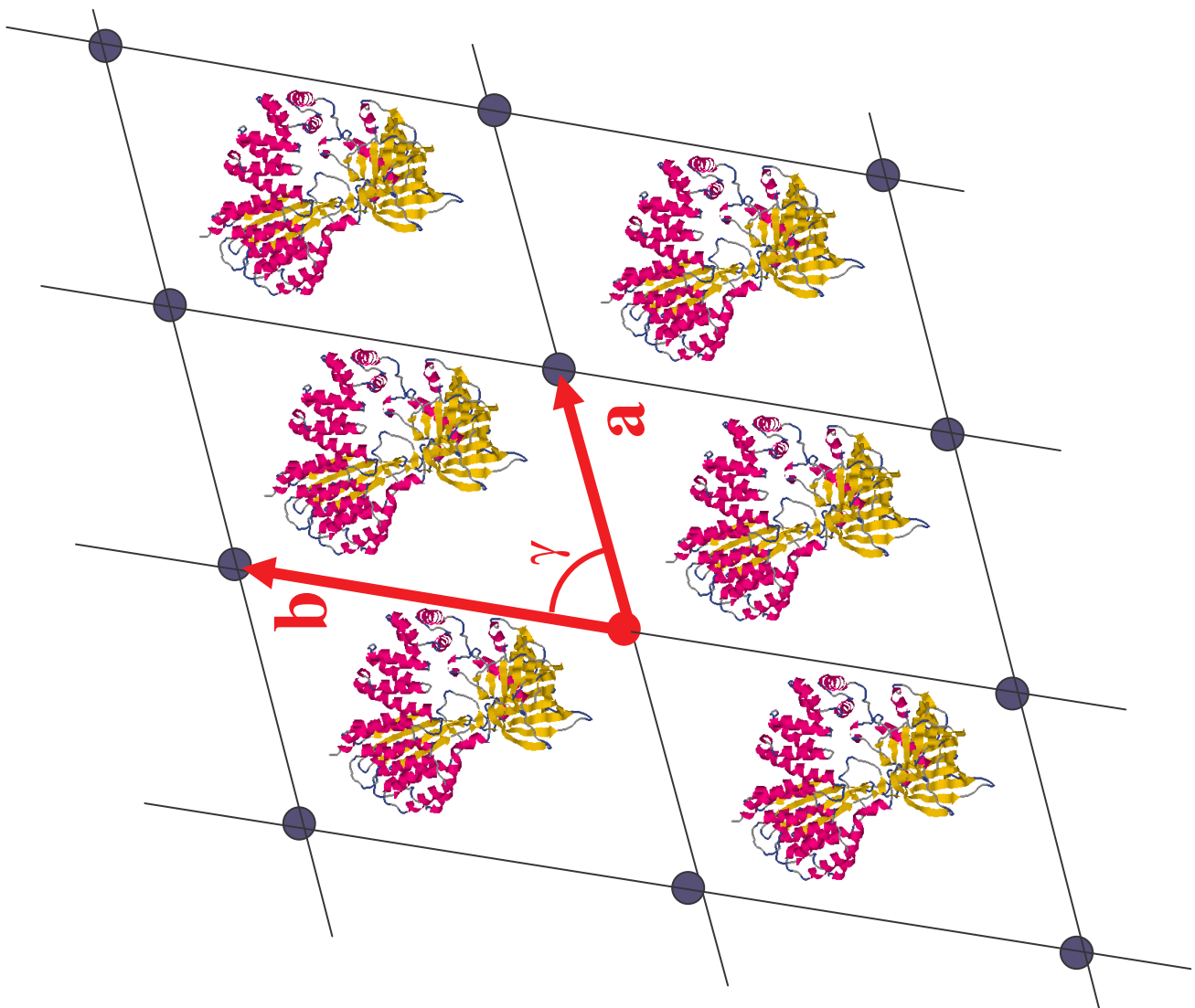




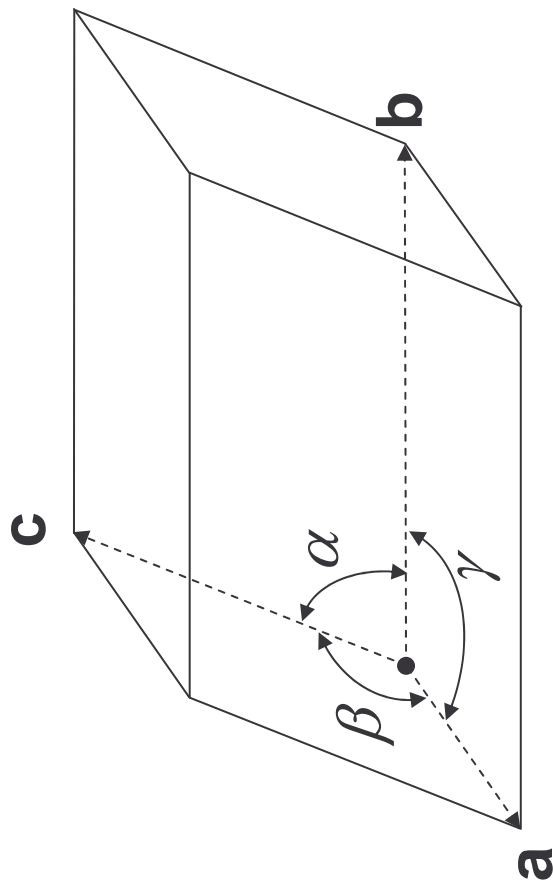








Элементарная ячейка (unit cell)



$a, b, c, \alpha, \beta, \gamma$
параметры
элементарной ячейки
(unit cell parameters)

$$a=|\mathbf{a}|, b=|\mathbf{b}|, c=|\mathbf{c}|$$

- начало координат
• (origin)
- a, b, c - в ангстремах (\AA)
 α, β, γ - в градусах

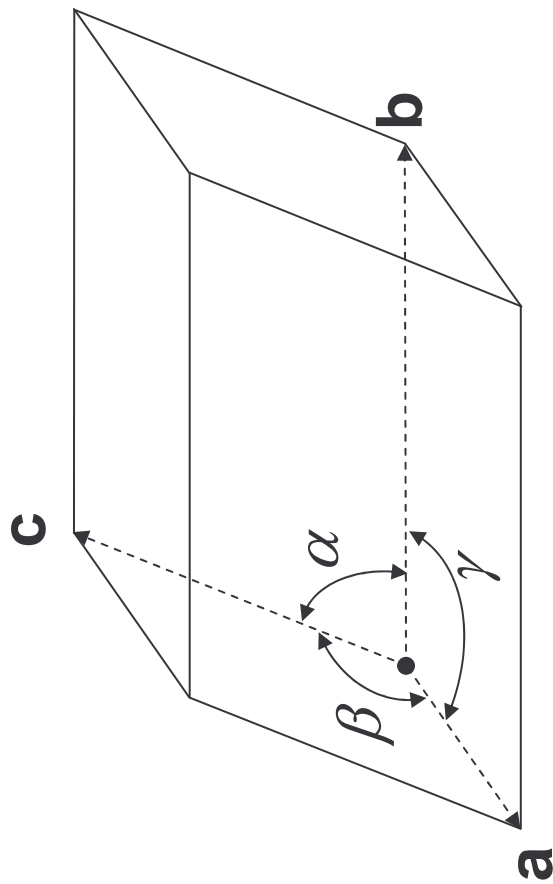
относительные координаты

(x, y, z) :

$$\mathbf{r} = x\mathbf{a} + y\mathbf{b} + z\mathbf{c}$$

элементарная ячейка:

$$0 \leq x, y, z \leq 1$$



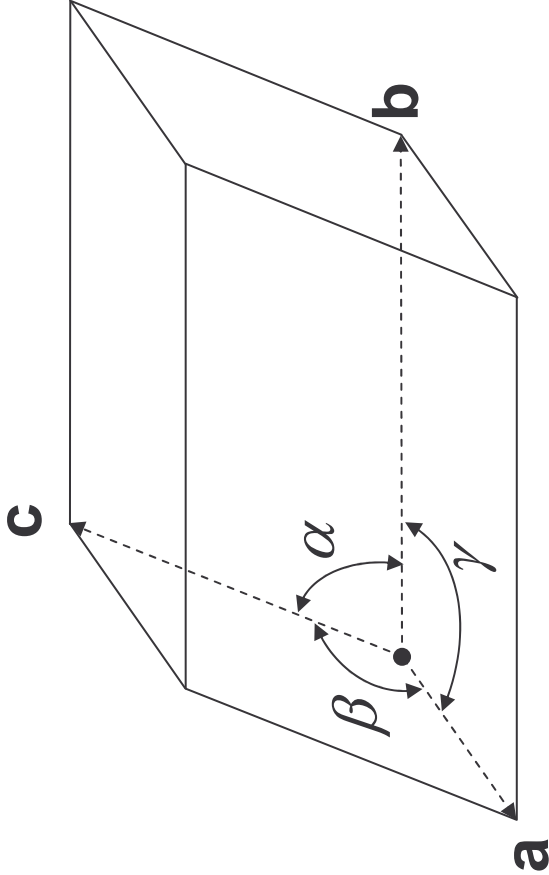
относительные координаты

(x,y,z) :

$$\mathbf{r} = x\mathbf{a} + y\mathbf{b} + z\mathbf{c}$$

элементарная ячейка:

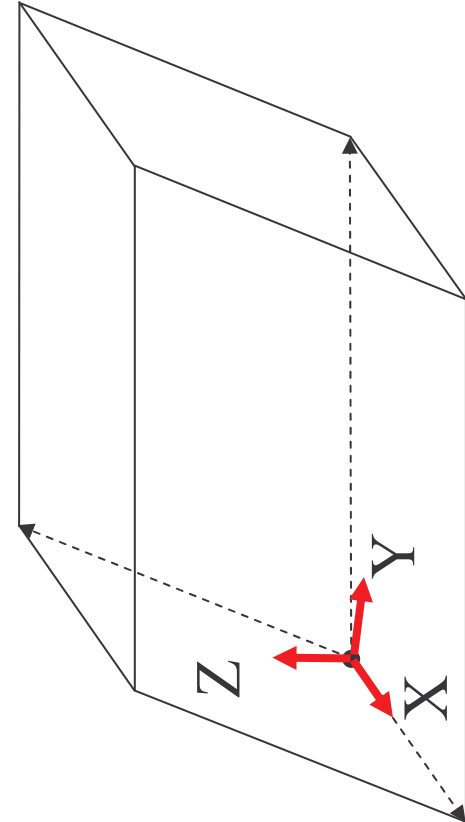
$$0 \leq x, y, z \leq 1$$



абсолютные координаты

(X,Y,Z)

Ортогональная система
координат, единица
измерения А.



PDB - абсолютные
координаты

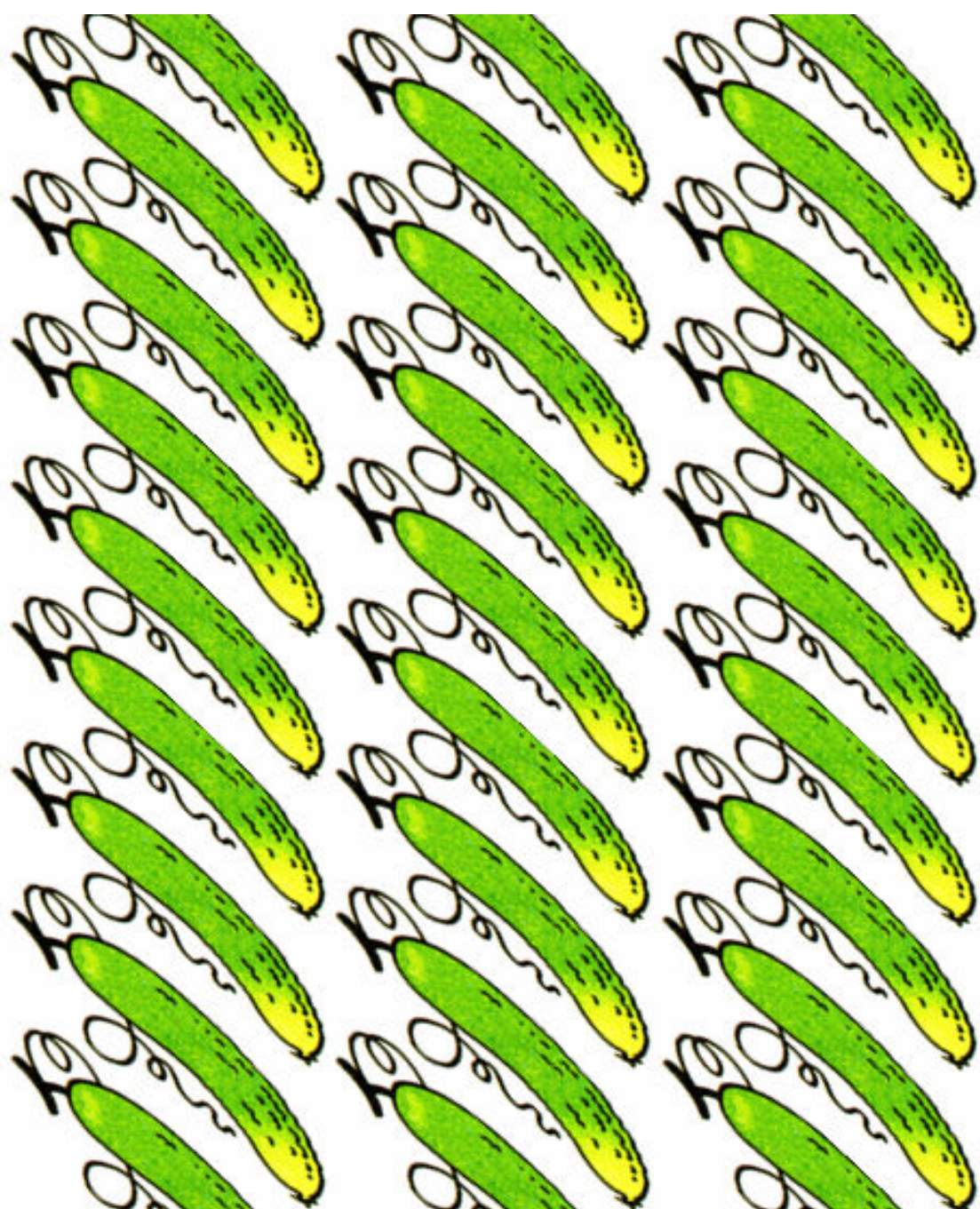
Переход от депонированных к ортогональным (абсолютным) координатам

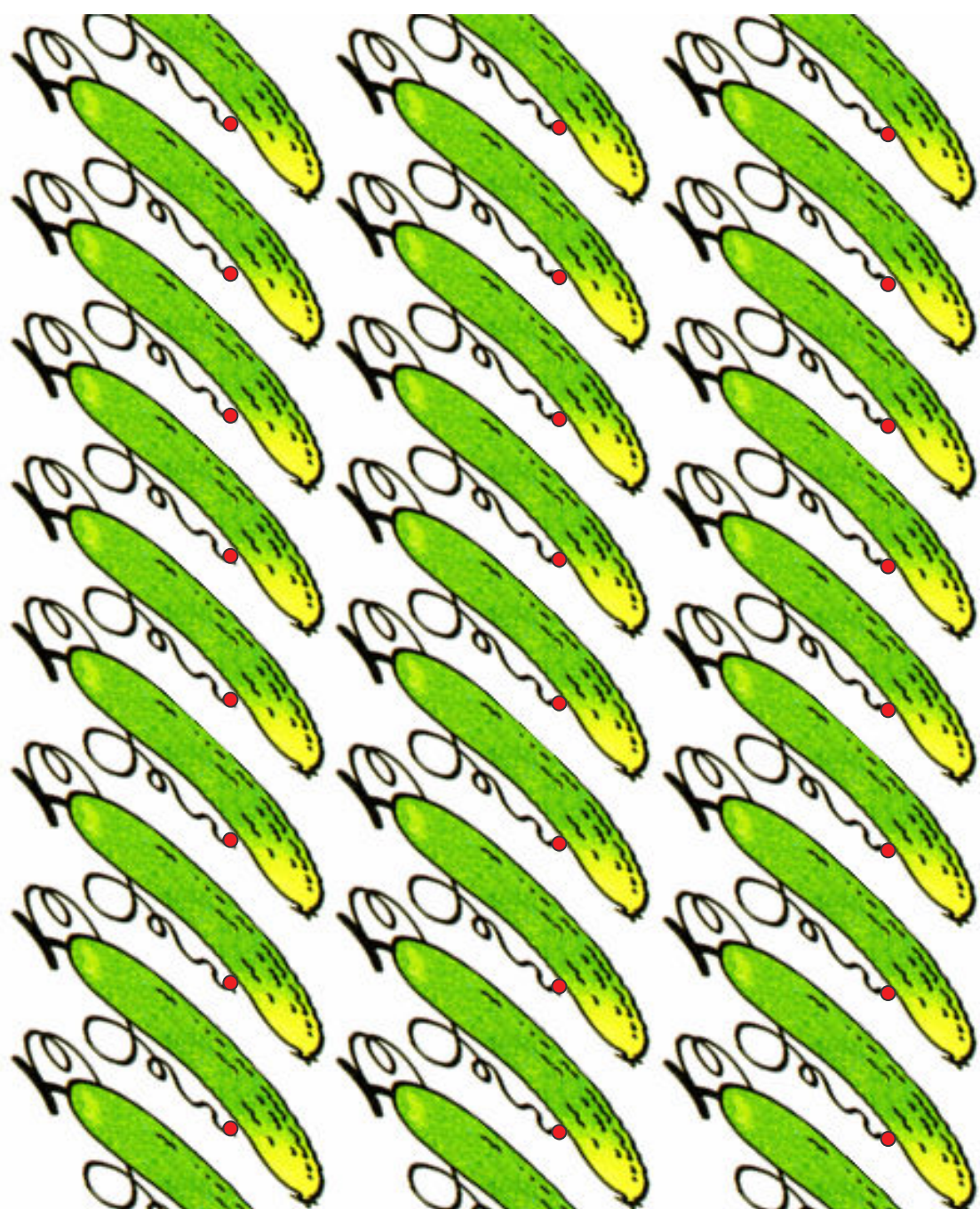
```
ORIGX1 0.963457 0.136613 0.230424 16.61000
ORIGX2 -0.158977 0.983924 0.081383 13.72000
ORIGX3 -0.215598 -0.115048 0.969683 37.65000
```

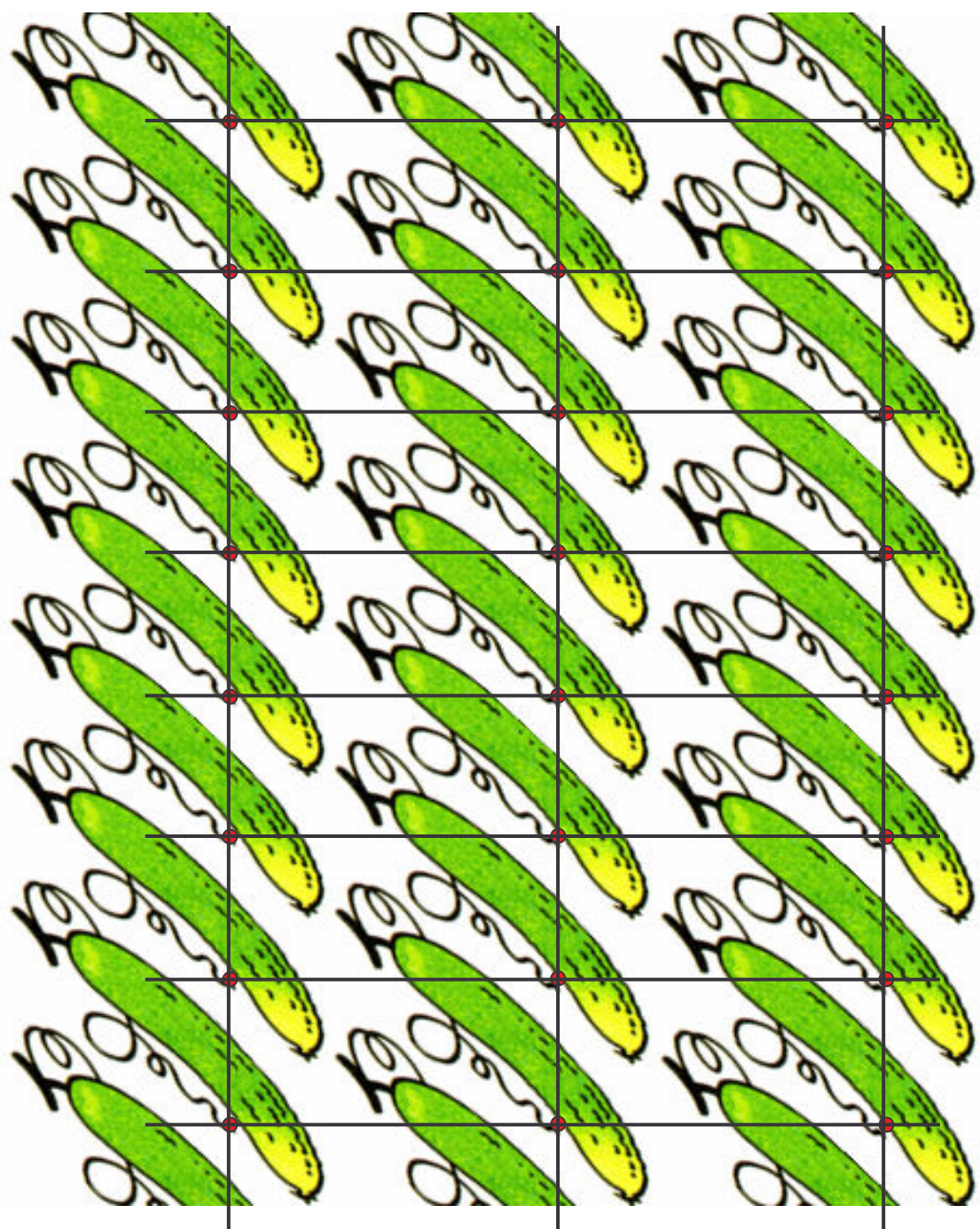
Как правило, структура депонируется в
абсолютных координатах

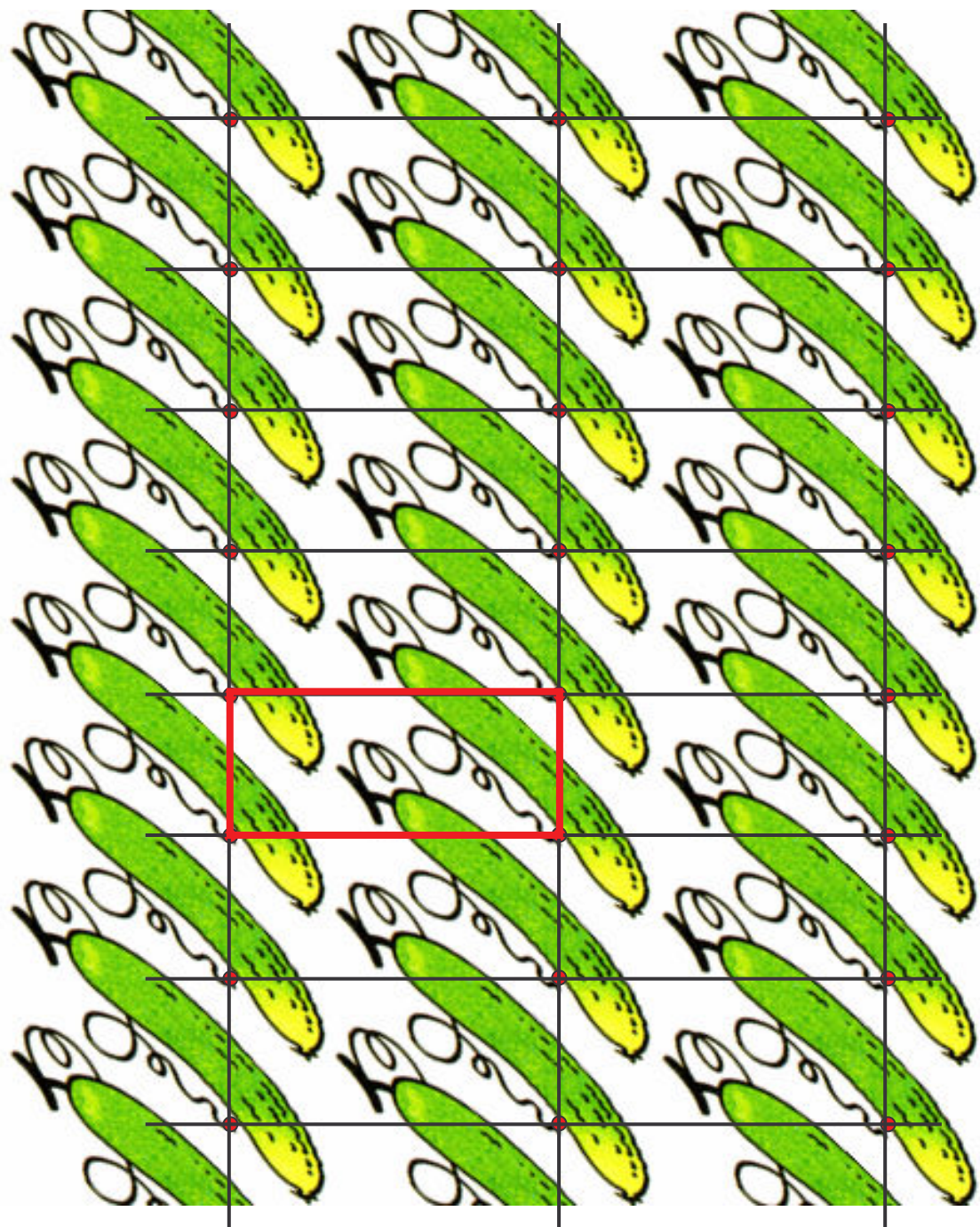
Переход от ортогональных к относительным координатам

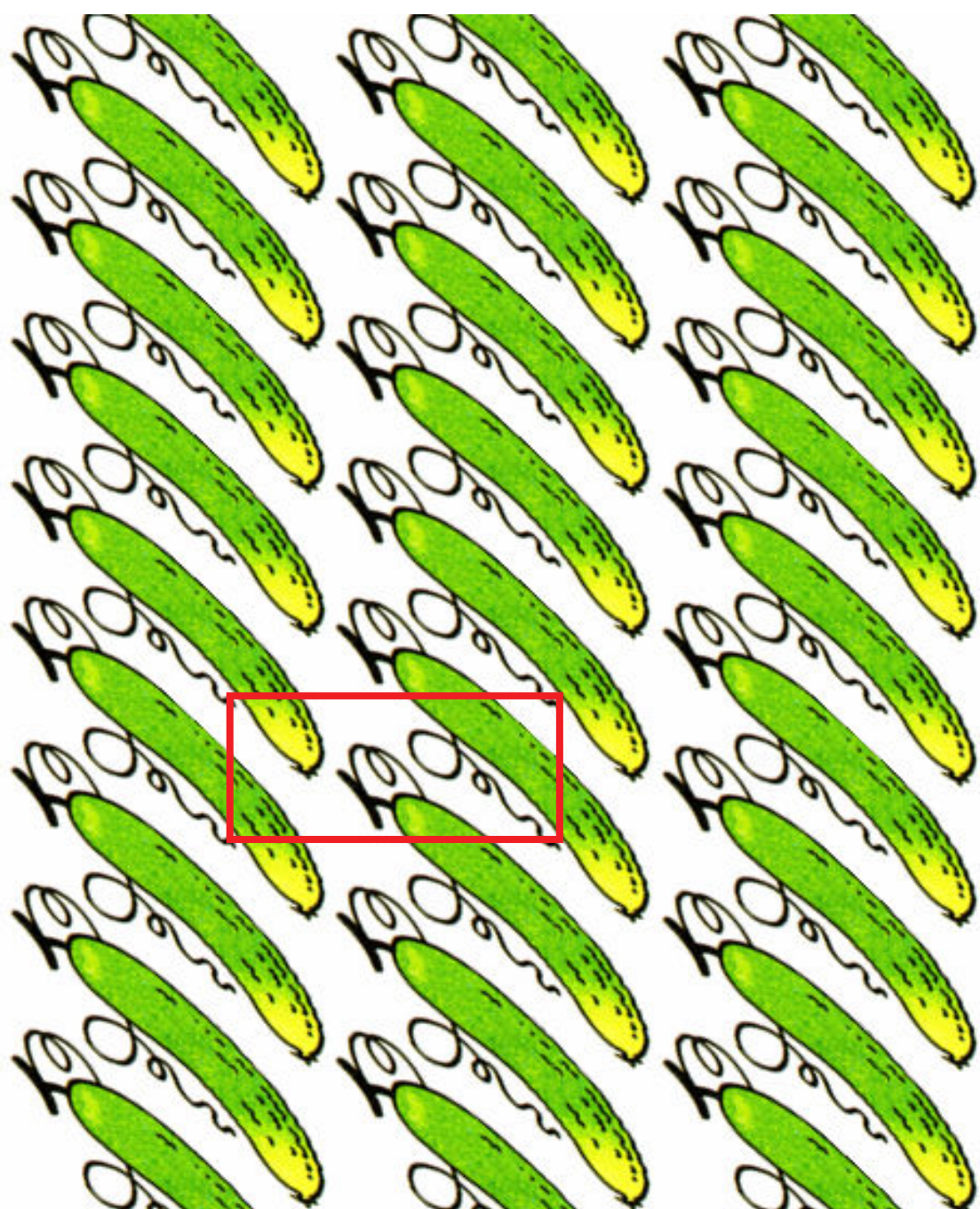
```
SCALE1 0.019231 0.000000 0.000000 0.00000
SCALE2 0.000000 0.017065 0.000000 0.00000
SCALE3 0.000000 0.000000 0.016155 0.00000
```

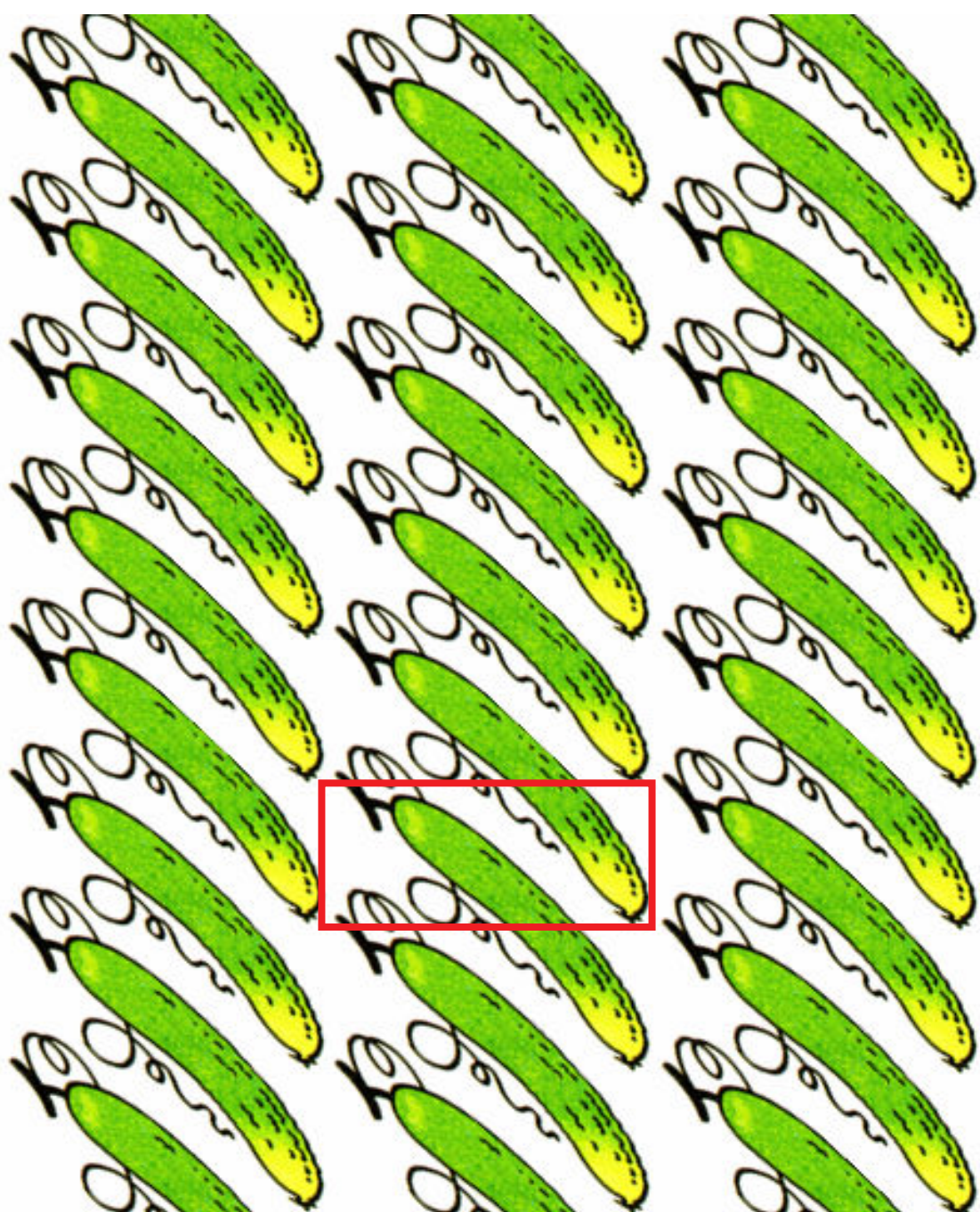


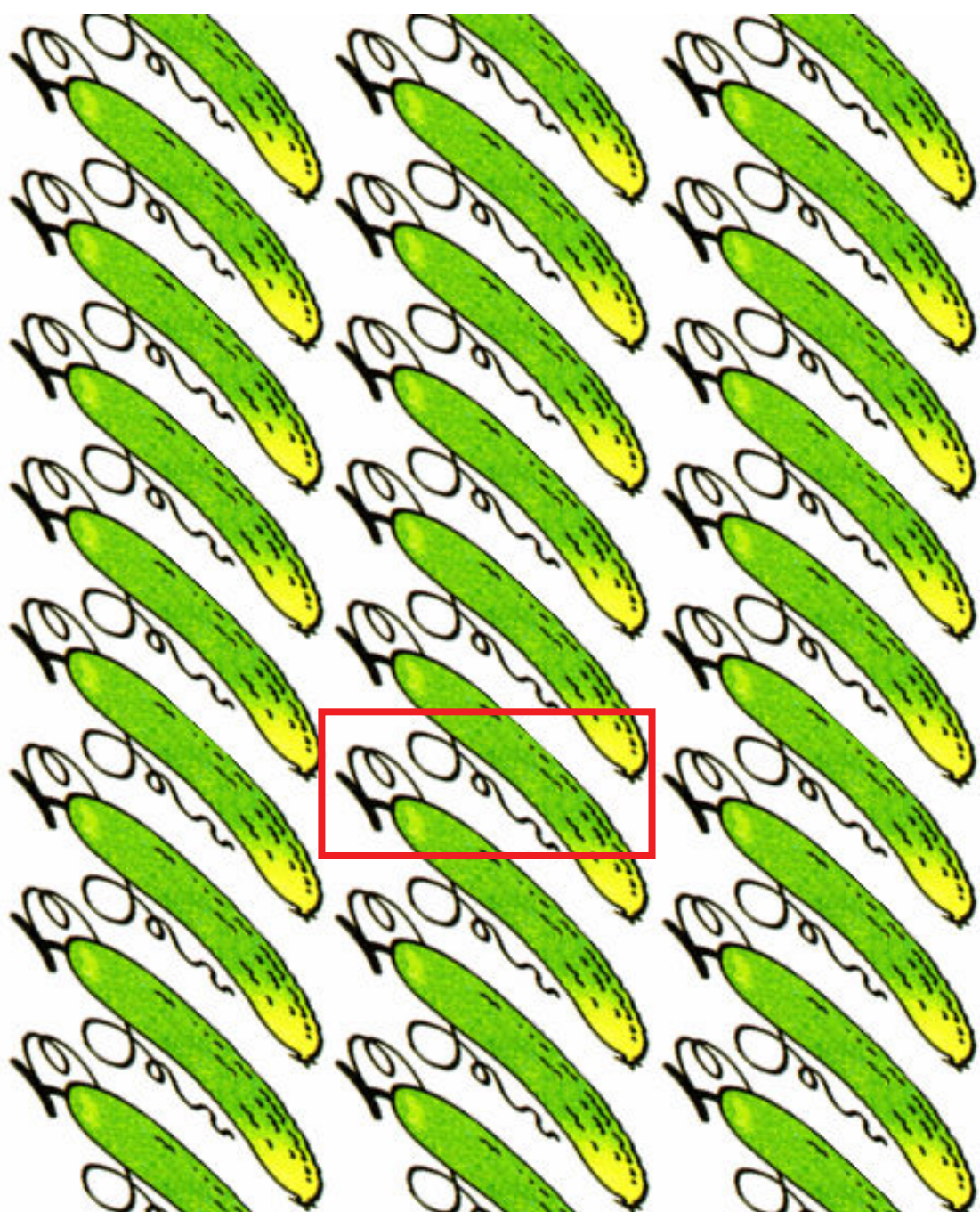


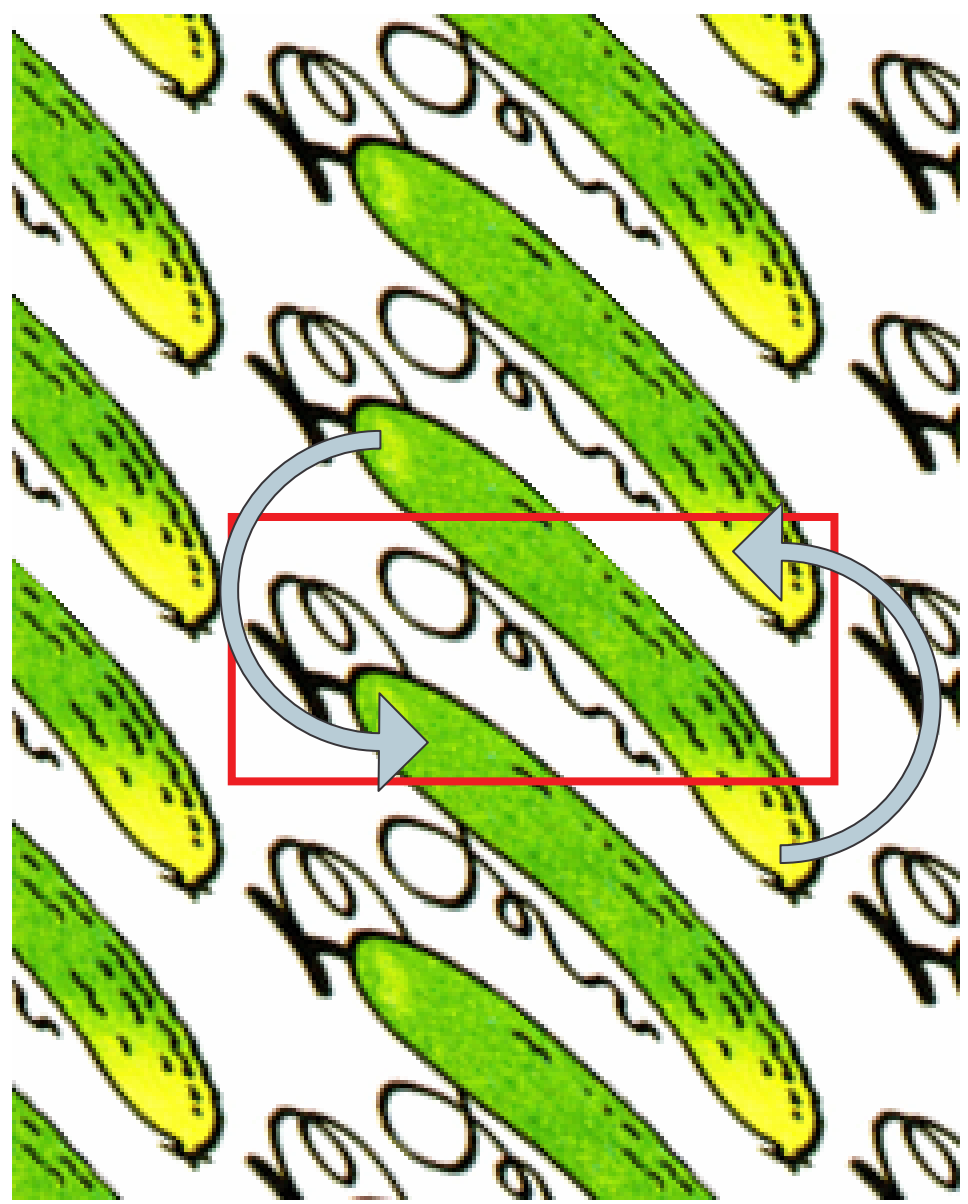












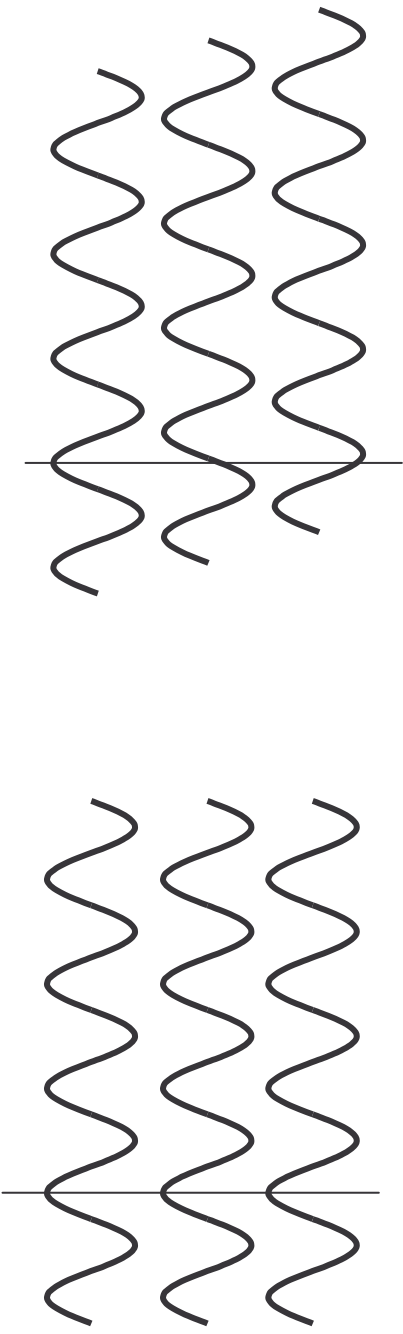
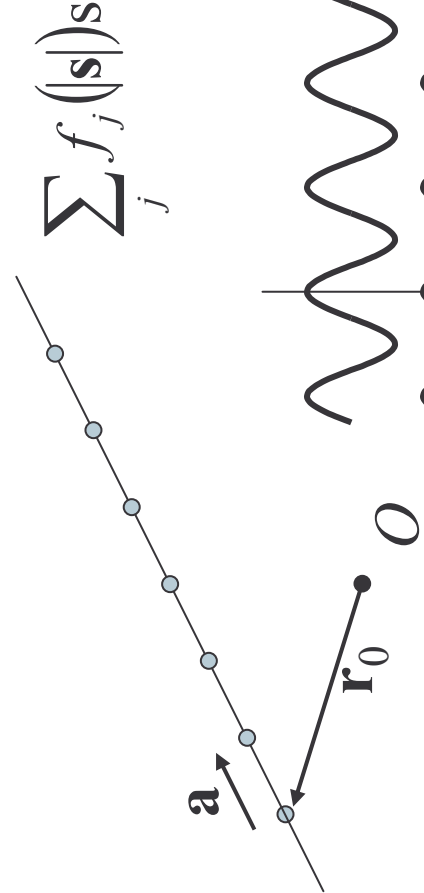
- Элементарная ячейка – математический объект. Она вводится для удобства работы.
- Выбор элементарной ячейки и начала координат в значительной мере произвольны.
- В начале координат может не находиться никакого атома.
- Молекула не всегда лежит в выбранной элементарной ячейке целиком.
- При сравнении координат двух структур эти структуры должны быть предварительно "выровнены".

Дифракция на кристалле

Рассеяние суммой атомов

$$F(\mathbf{s}) = \sqrt{\left[\sum_j f_j(|\mathbf{s}|) \cos 2\pi(\mathbf{s}, \mathbf{r}_j) \right]^2 + \left[\sum_j f_j(|\mathbf{s}|) \sin 2\pi(\mathbf{s}, \mathbf{r}_j) \right]^2}$$

$$\sum_j f_j(|\mathbf{s}|) \sin 2\pi(\mathbf{s}, \mathbf{r}_j) = f(s) \sum_j \sin 2\pi[(\mathbf{s}, \mathbf{r}_0) + j\Delta]$$
$$\Delta = (\mathbf{s}, \mathbf{a})$$



$(\mathbf{s}, \mathbf{a}) = h$ - целое
волны усиливаются

$(\mathbf{s}, \mathbf{a}) = h$ - нецелое
усиления нет

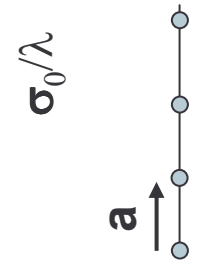
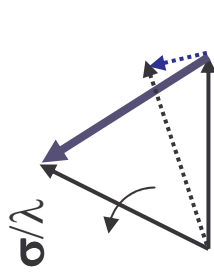
$$f(s) \sqrt{\left\{ \sum_{j=1}^N \cos 2\pi [(\mathbf{s}, \mathbf{r}_0) + j\Delta] \right\}^2 + \left\{ \sum_{j=1}^N \sin 2\pi [(\mathbf{s}, \mathbf{r}_0) + j\Delta] \right\}^2}$$

$$F(s)$$

σ_0 - фиксир.

σ - меняется

$$\mathbf{s} = \frac{\boldsymbol{\sigma} - \boldsymbol{\sigma}_0}{\lambda}$$



$$f(s) \sqrt{\left\{ \sum_{j=1}^N \cos 2\pi [(\mathbf{s}, \mathbf{r}_0) + j\Delta] \right\}^2 + \left\{ \sum_{j=1}^N \sin 2\pi [(\mathbf{s}, \mathbf{r}_0) + j\Delta] \right\}^2}$$

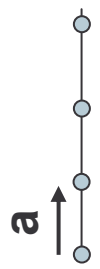
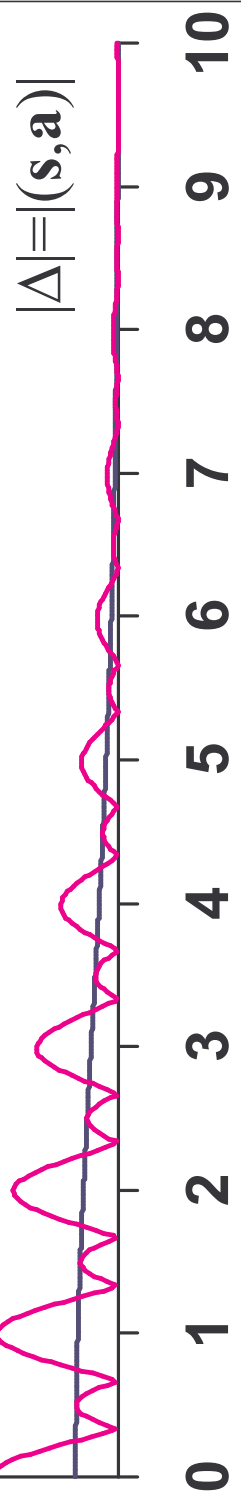
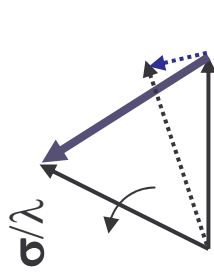
$$F(s)$$

— Nat=1
— Nat=3

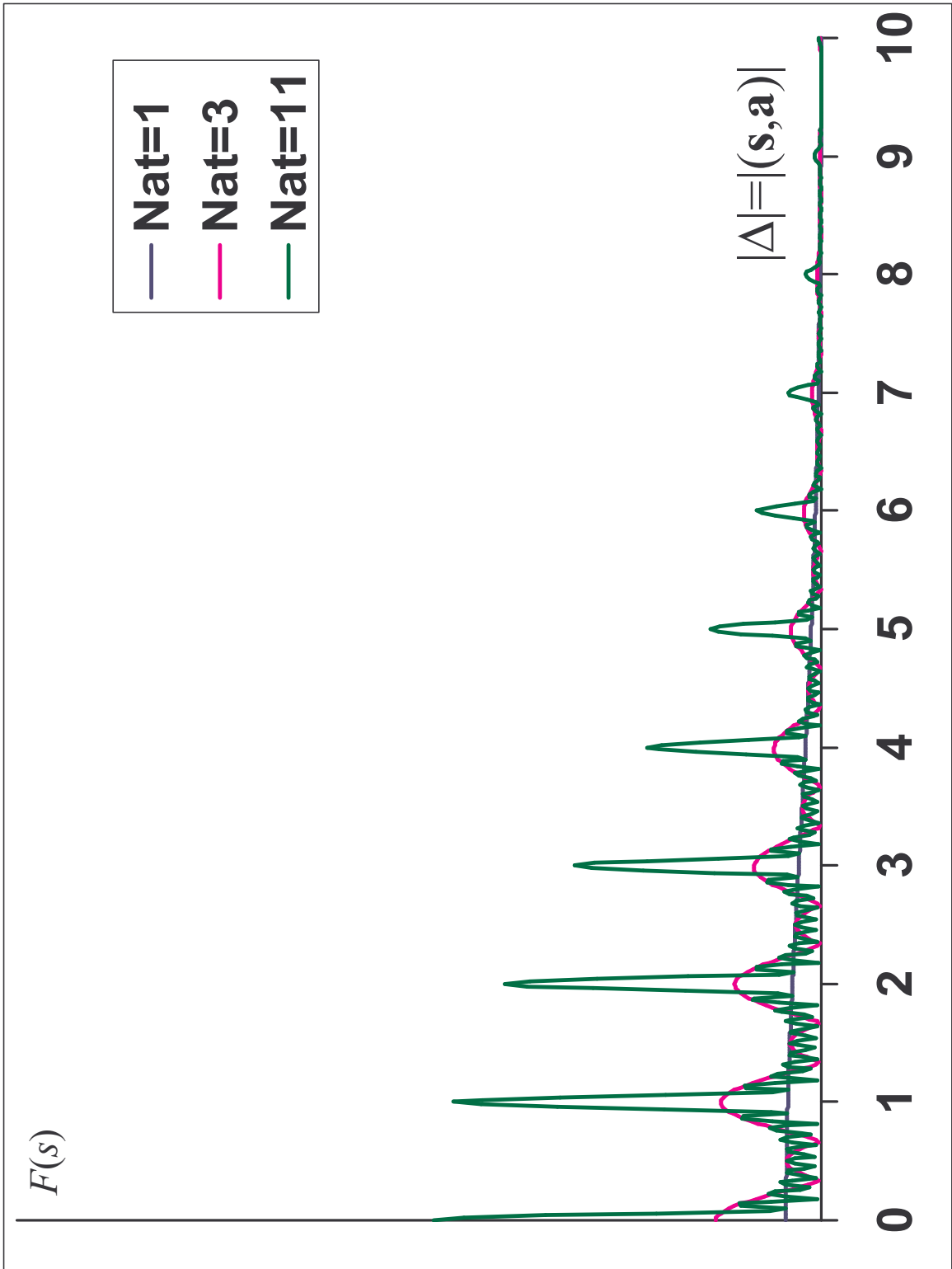
σ_0 - фиксир.

σ - меняется

$$\mathbf{s} = \frac{\boldsymbol{\sigma} - \boldsymbol{\sigma}_0}{\lambda}$$



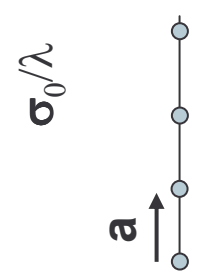
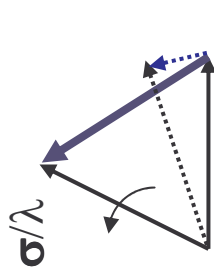
$$f(s) \sqrt{\left\{ \sum_{j=1}^N \cos 2\pi [(\mathbf{s}, \mathbf{r}_0) + j\Delta] \right\}^2 + \left\{ \sum_{j=1}^N \sin 2\pi [(\mathbf{s}, \mathbf{r}_0) + j\Delta] \right\}^2}$$



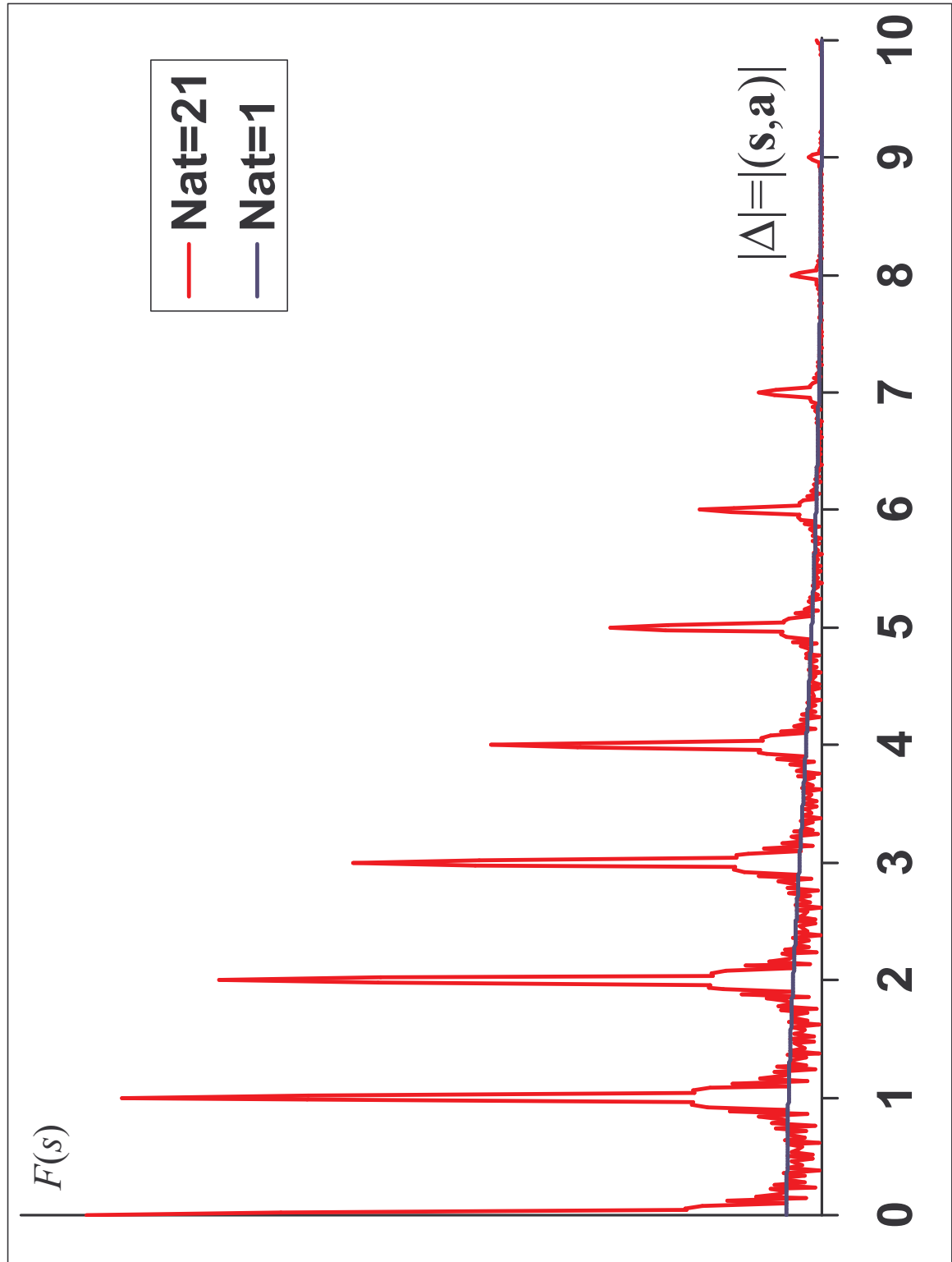
σ_0 - фиксир.

σ - меняется

$$\mathbf{s} = \frac{\boldsymbol{\sigma} - \boldsymbol{\sigma}_0}{\lambda}$$



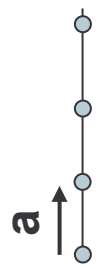
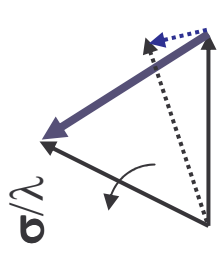
$$f(s) \sqrt{\left\{ \sum_{j=1}^N \cos 2\pi [(\mathbf{s}, \mathbf{r}_0) + j\Delta] \right\}^2 + \left\{ \sum_{j=1}^N \sin 2\pi [(\mathbf{s}, \mathbf{r}_0) + j\Delta] \right\}^2}$$



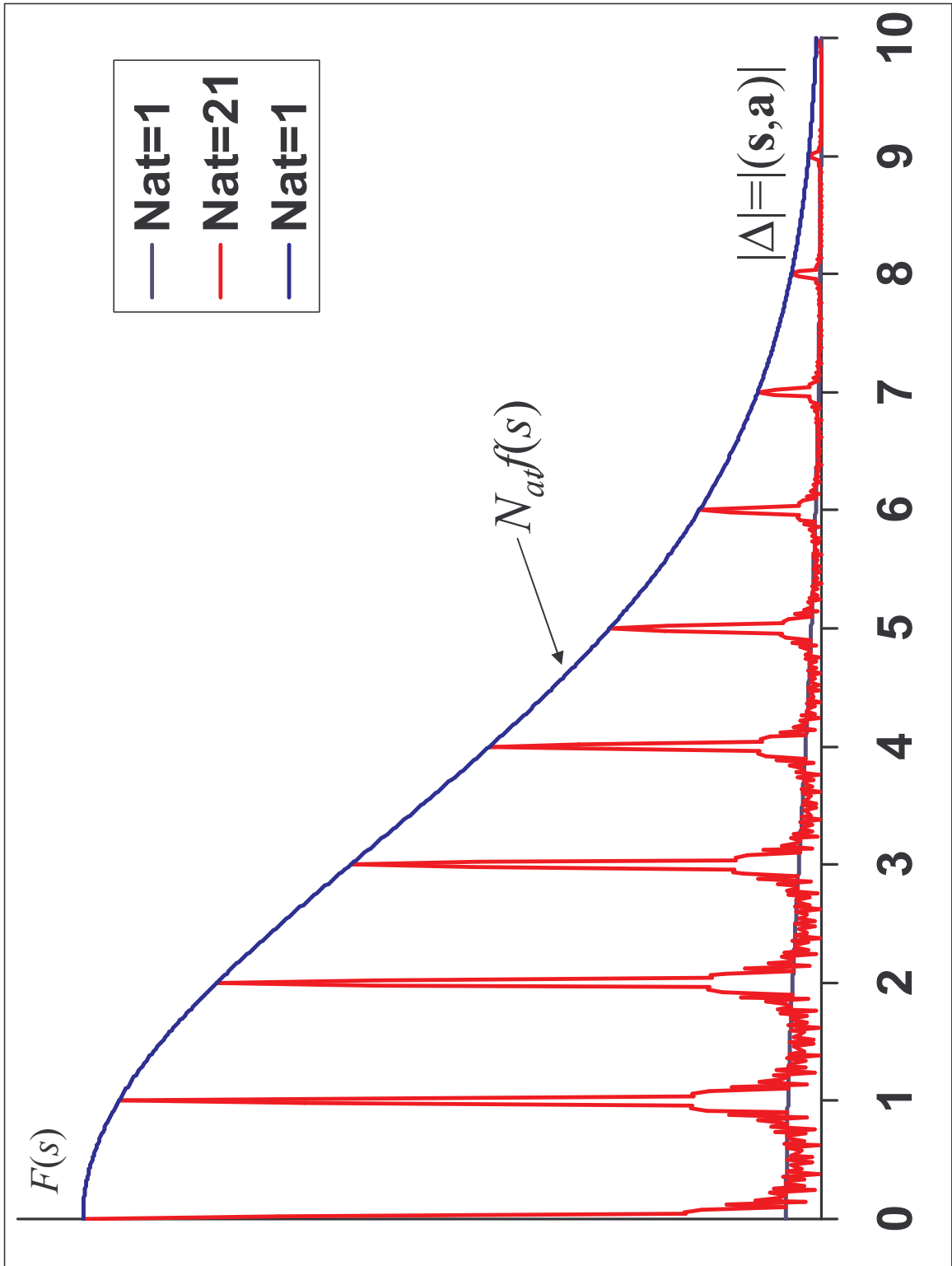
σ_0 - фиксируется

σ - меняется

$$\mathbf{s} = \frac{\boldsymbol{\sigma} - \boldsymbol{\sigma}_0}{\lambda}$$



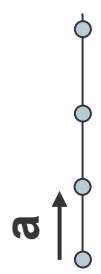
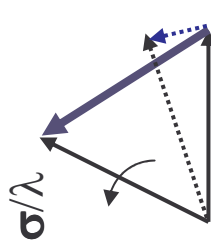
$$f(s) \sqrt{\left\{ \sum_{j=1}^N \cos 2\pi [(\mathbf{s}, \mathbf{r}_0) + j\Delta] \right\}^2 + \left\{ \sum_{j=1}^N \sin 2\pi [(\mathbf{s}, \mathbf{r}_0) + j\Delta] \right\}^2}$$



σ_0 - фиксир.

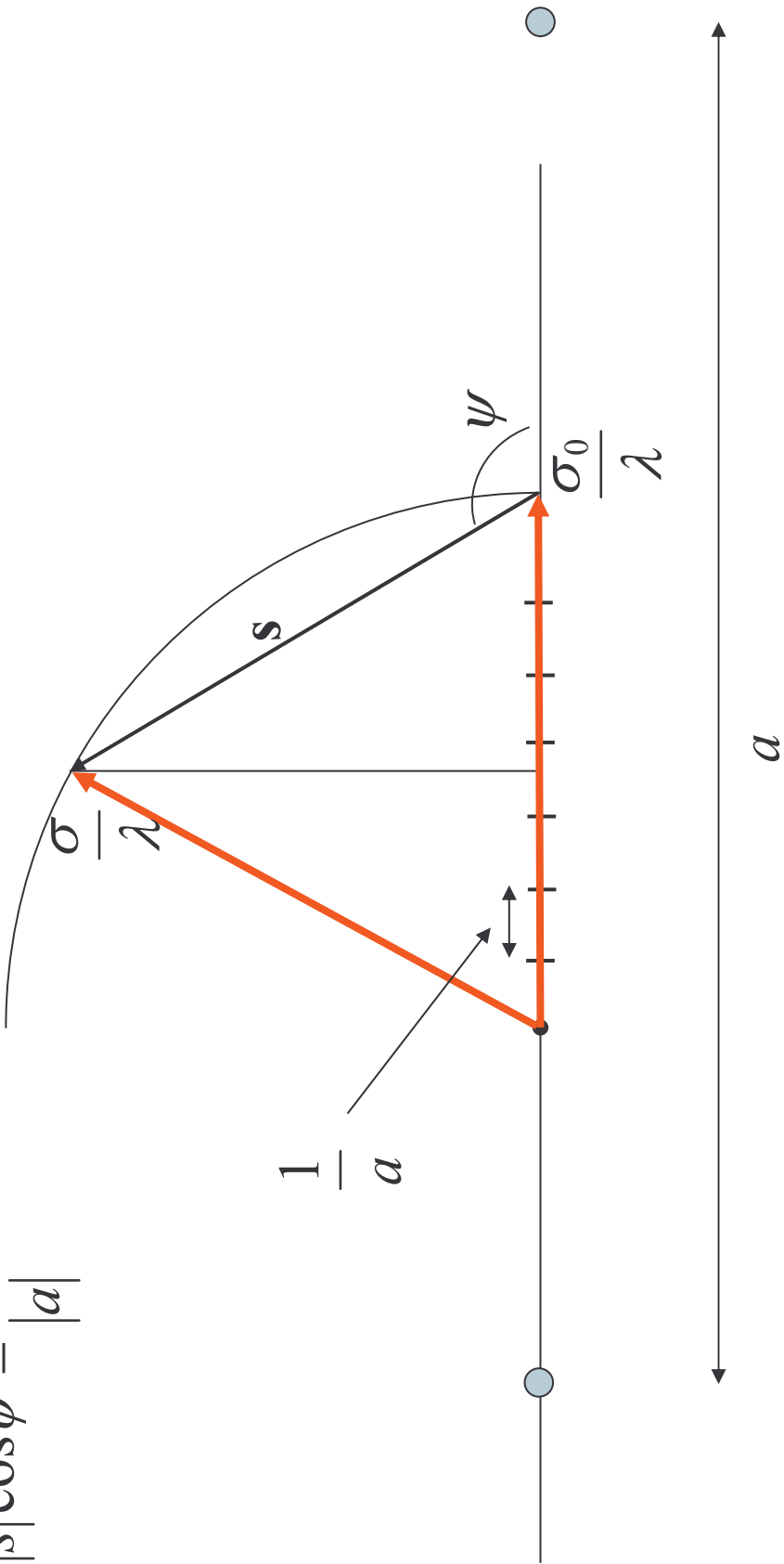
σ - меняется

$$\mathbf{s} = \frac{\boldsymbol{\sigma} - \boldsymbol{\sigma}_0}{\lambda}$$



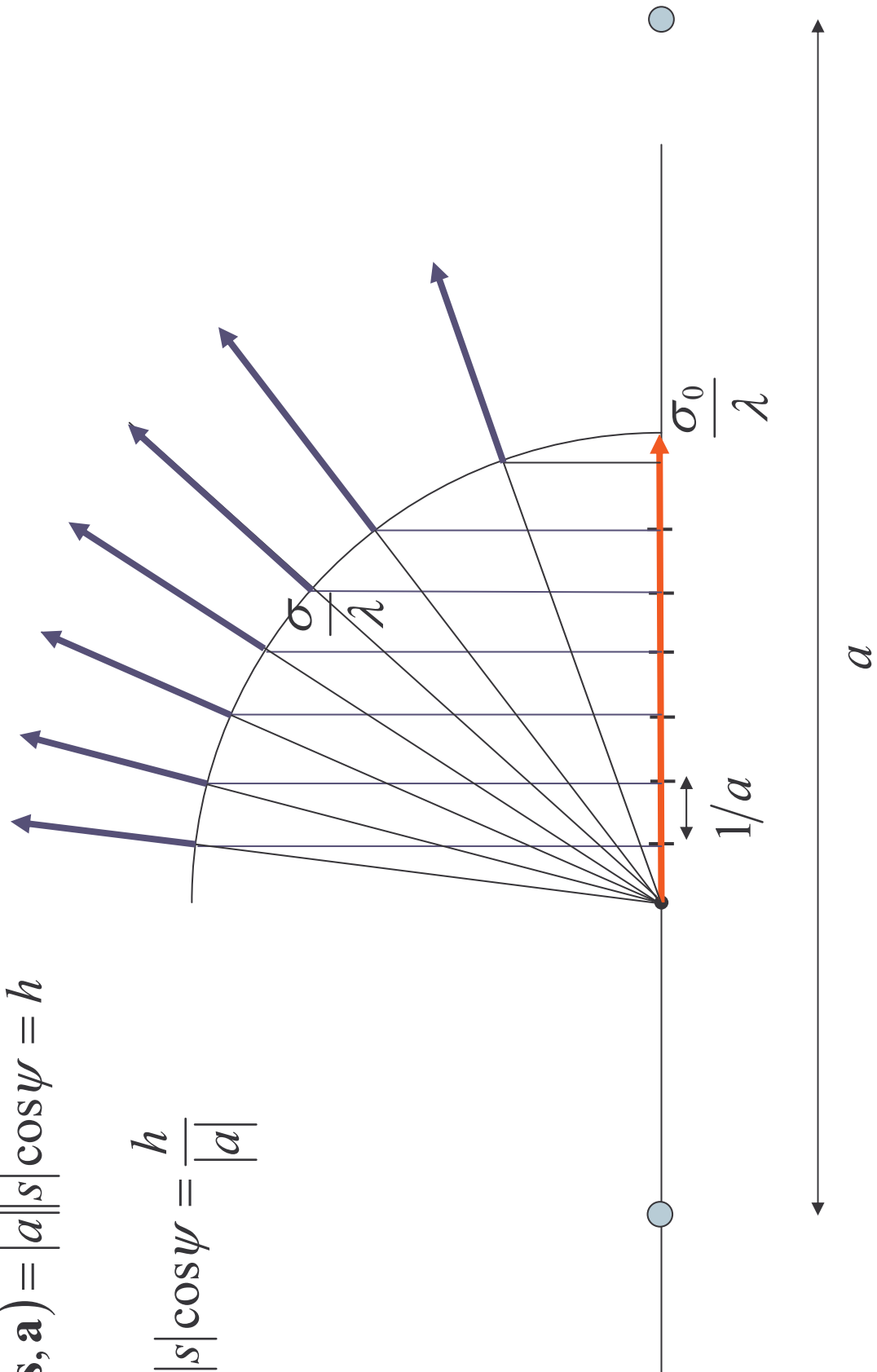
$$(\mathbf{s}, \mathbf{a}) = |\mathbf{a}| |\mathbf{s}| \cos \psi = h$$

$$|\mathbf{s}| \cos \psi = \frac{h}{|\mathbf{a}|}$$



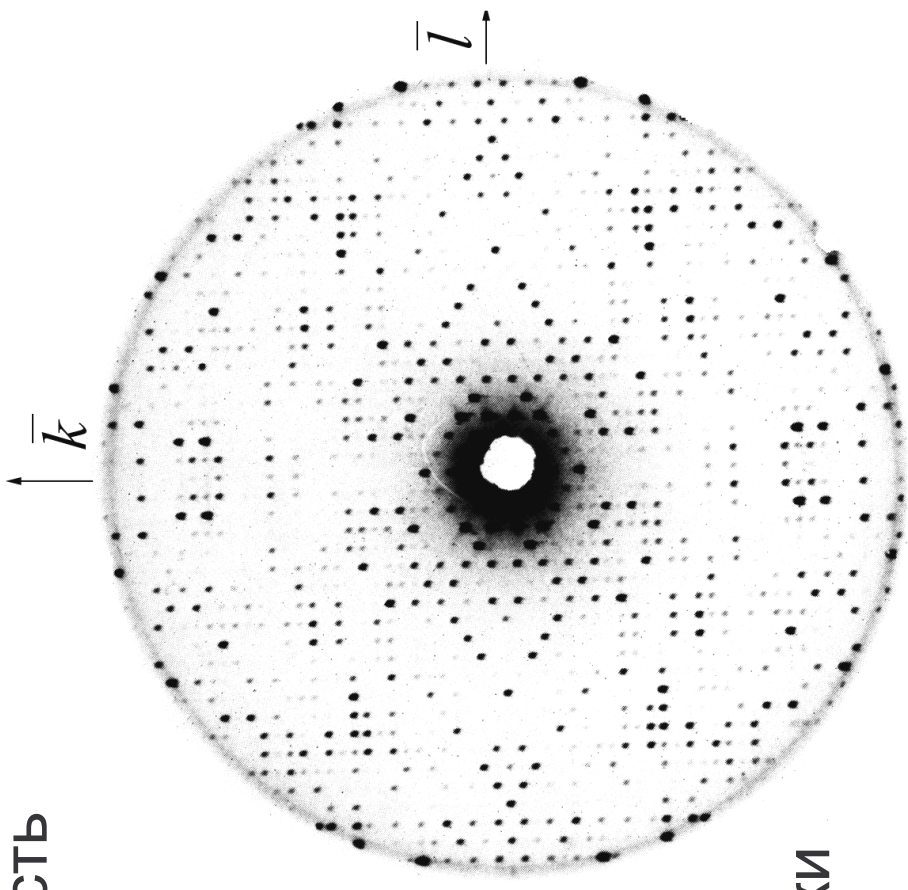
$$(\mathbf{s}, \mathbf{a}) = |\mathbf{a}| |\mathbf{s}| \cos \psi = h$$

$$|\mathbf{s}| \cos \psi = \frac{h}{|\mathbf{a}|}$$



линейные размеры кристалла $0.1\text{мм}=10^6\text{\AA}$
линейные размеры элементарной ячейки 100\AA
количество копий молекулы в кристалле $(10^4)^3=10^{12}$

Кристалл усиливает интенсивность
в 10^{24} раз !!



Условия дифракции

(Лауэ):

$$(\mathbf{s}, \mathbf{a}) = h$$

$$(\mathbf{s}, \mathbf{b}) = k$$

$$(\mathbf{s}, \mathbf{c}) = l$$

h, k, l - целые числа

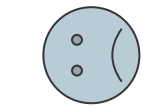
(индексы рефлекса)

$\mathbf{a}, \mathbf{b}, \mathbf{c}$ - ребра элементарной ячейки

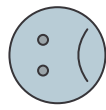
$$\mathbf{s} = \frac{\boldsymbol{\sigma} - \boldsymbol{\sigma}_0}{\lambda} - \text{вектор рассеяния}$$



Кристалл позволяет многократно увеличить интенсивность рассеянных лучей.



В дифракционном эксперименте с кристаллом теряется информация о рассеянии в направлениях с нецелочисленными индексами.



Получение кристаллов исследуемого объекта может встречаться с существенными сложностями.

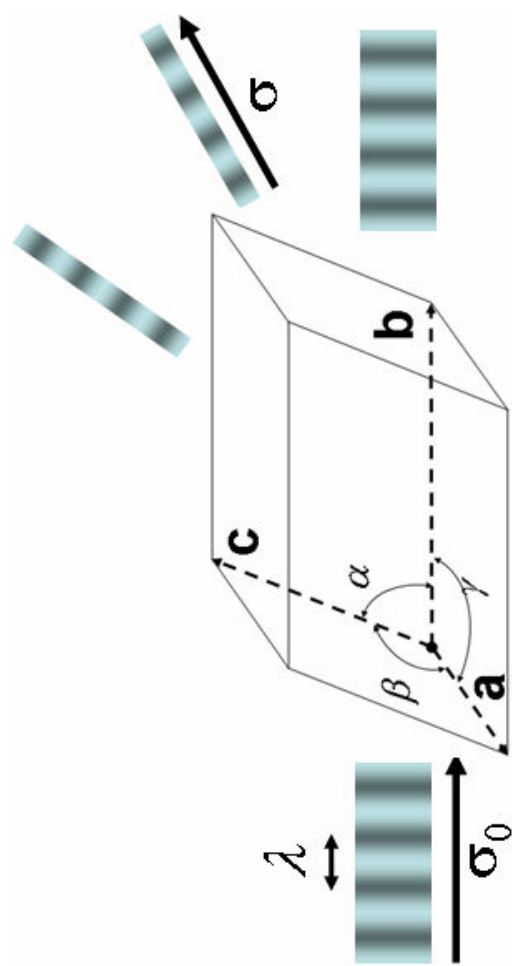


Насколько структура белка в кристалле совпадает со структурой белка в растворе?

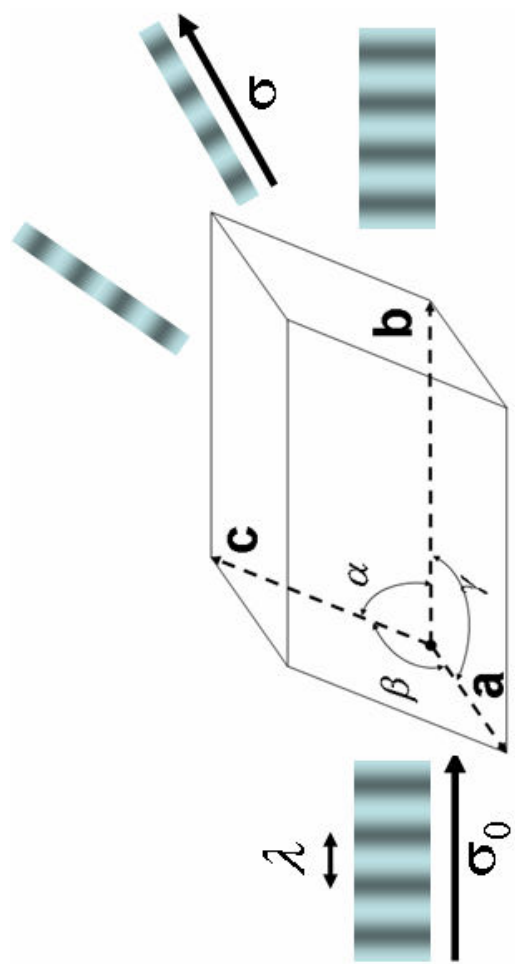
Рентгеновский эксперимент
с монокристаллом позволяет
измерить интенсивность
волн, рассеянных в
направлении,
определенном условиями

$$\left(\frac{\sigma - \sigma_0}{\lambda}, \mathbf{a} \right) = h, \left(\frac{\sigma - \sigma_0}{\lambda}, \mathbf{b} \right) = k,$$

$$\left(\frac{\sigma - \sigma_0}{\lambda}, \mathbf{c} \right) = l \quad h, k, l - \text{целые}$$



Рентгеновский эксперимент
с монокристаллом позволяет
измерить интенсивность
волн, рассеянных в
направлении,
определенном условиями



$$\begin{aligned} \mathbf{r} = x\mathbf{a} + y\mathbf{b} + z\mathbf{c} \\ \left(\frac{\sigma - \sigma_0}{\lambda}, \mathbf{a} \right) = h, \left(\frac{\sigma - \sigma_0}{\lambda}, \mathbf{b} \right) = k, \\ \left(\frac{\sigma - \sigma_0}{\lambda}, \mathbf{c} \right) = l \end{aligned}$$

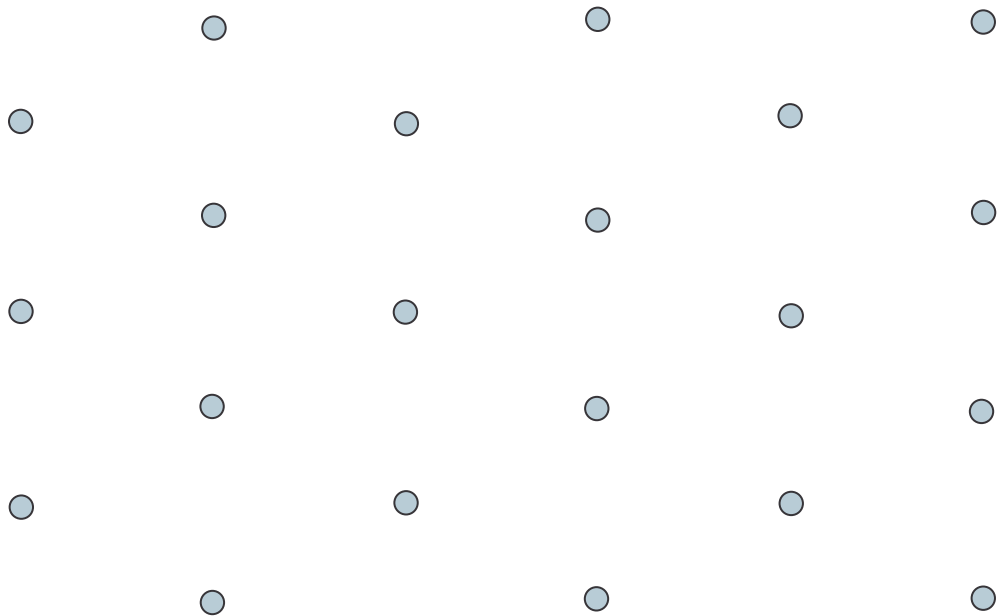
Вклады в амплитуду и
фазу рассеянной
волны, зависят от
распределения
электронной плотности
в элементарной ячейке
и могут быть
расчитаны по
формулам

$$F_{hkl} = \sqrt{A_{hkl}^2 + B_{hkl}^2} \quad \operatorname{tg} \varphi_{hkl} = \frac{B_{hkl}}{A_{hkl}}$$

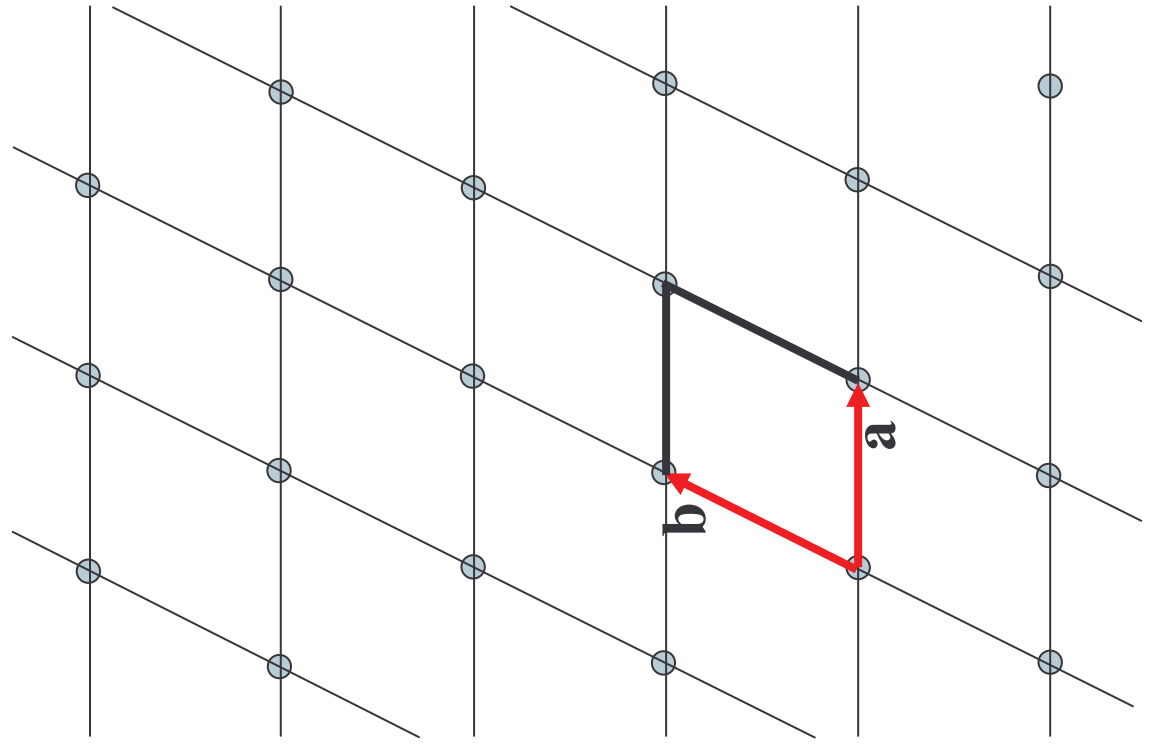
$$A_{hkl} = \int_V \rho(x, y, z) \cos[2\pi(hx + ky + lz)] dx dy dz$$

$$B_{hkl} = \int_V \rho(x, y, z) \sin[2\pi(hx + ky + lz)] dx dy dz$$

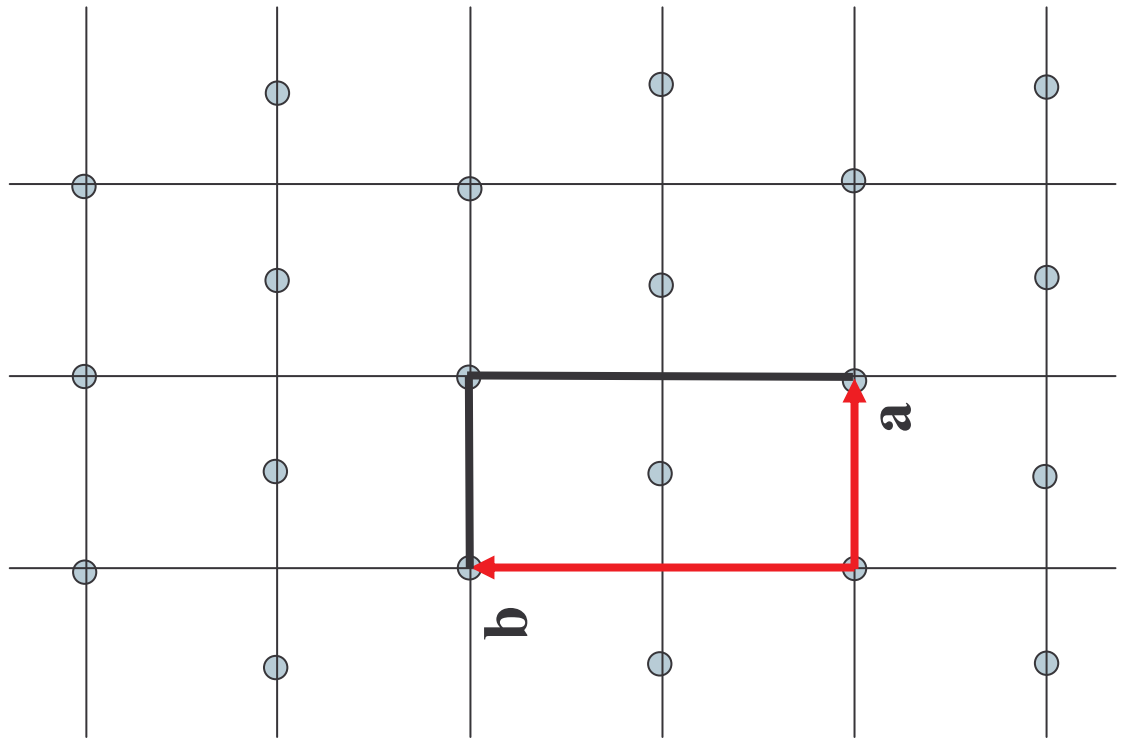
Центрированные ячейки



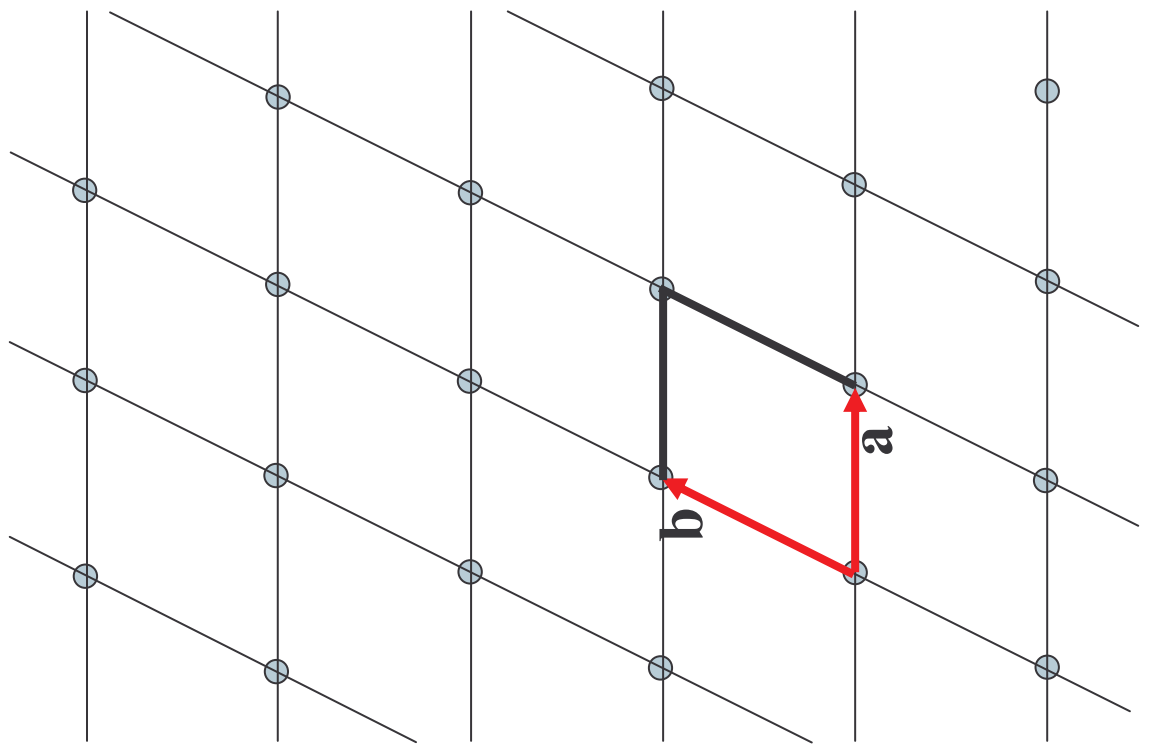
ПРИМИТИВНАЯ КОСОУГОЛЬНАЯ ЯЧЕЙКА

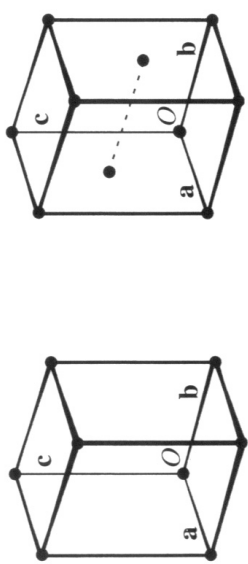


ортогональная ячейка;
дополнительная
трансляция $(1/2, 1/2)$



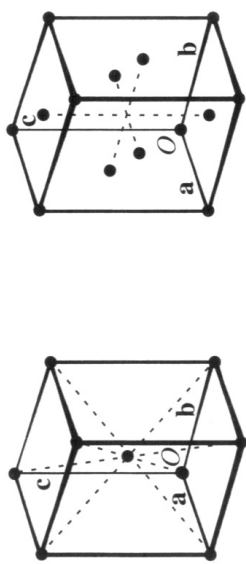
примитивная косоугольная ячейка





A primitive unit cell (*P*)

A unit cell centred in
the (010) planes (*B*)



A body-centred unit cell (*I*)

A face-centred unit cell (*F*)

Fig. 2.1.1.4. Non-centred and centred unit cells. Reproduced with permission from Drenth (1999). Copyright (1999) Springer-Verlag.

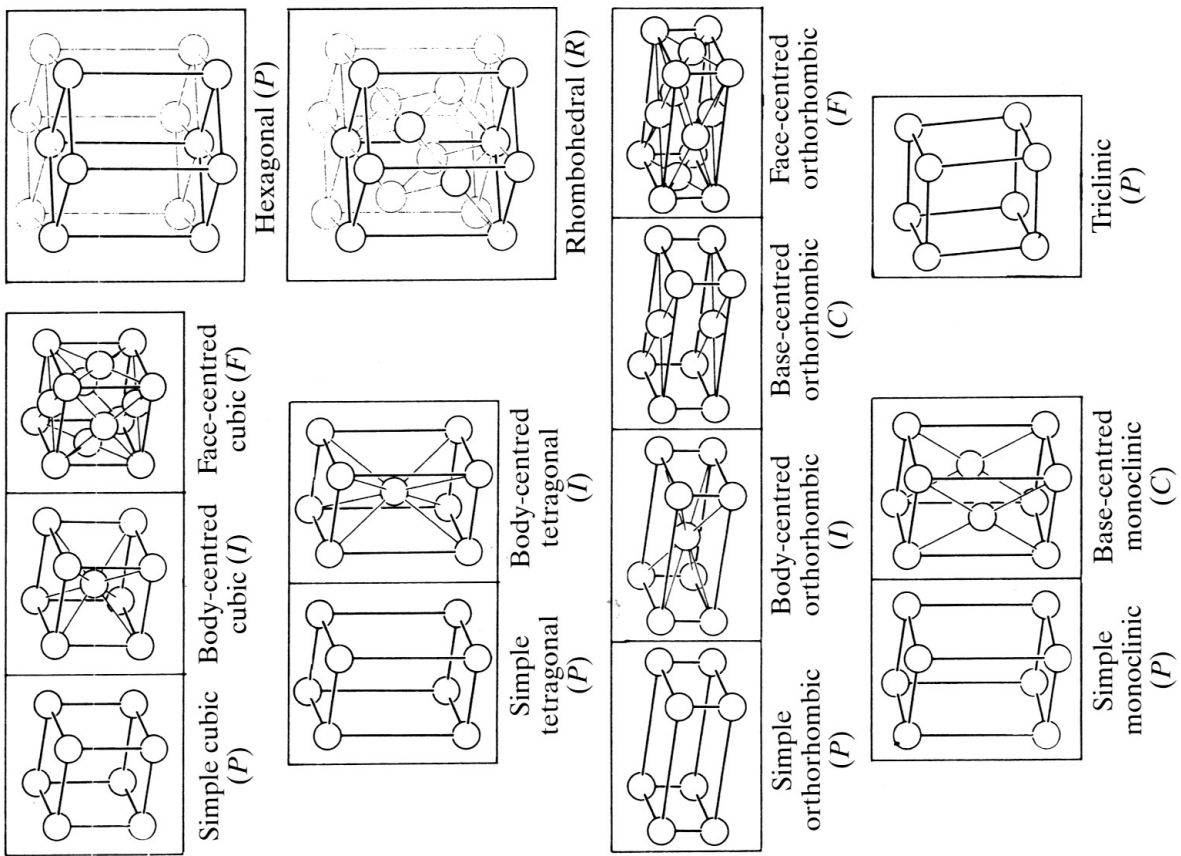


Fig. 2.1.3.3. The 14 Bravais lattices. Reproduced with permission from Burzlaff & Zimmermann (1995). Copyright (1995) International Union of Crystallography.

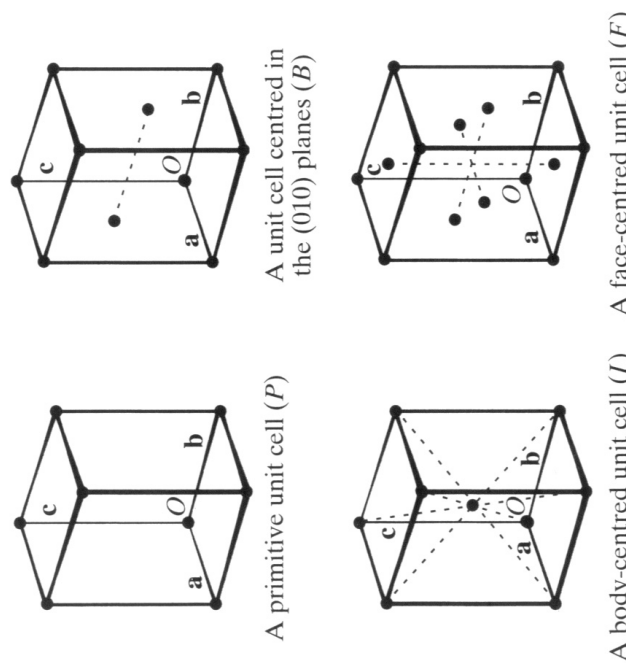


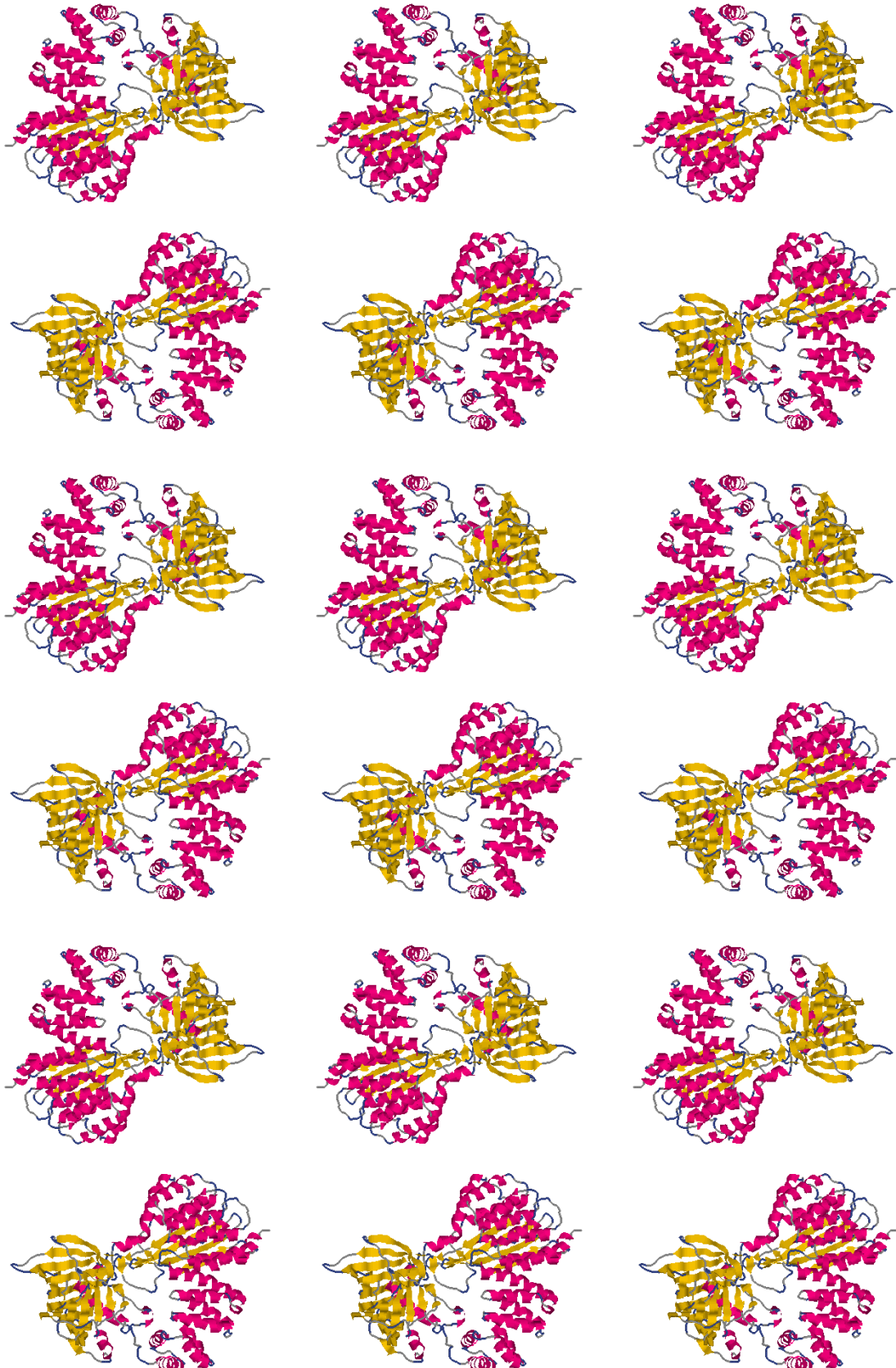
Fig. 2.1.1.4. Non-centred and centred unit cells. Reproduced with permission from Drenth (1999). Copyright (1999) Springer-Verlag.

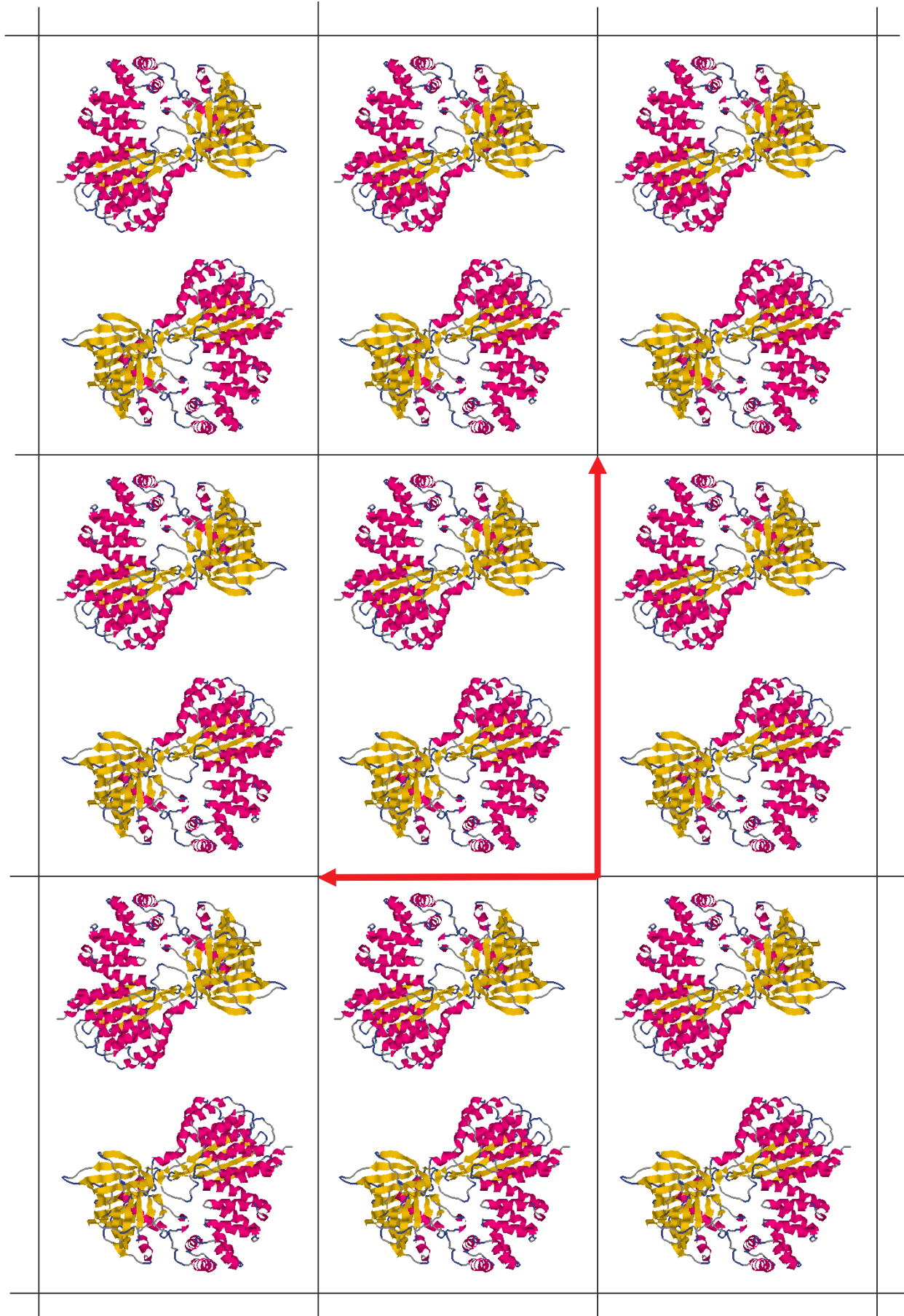
CRYST1 66.224 66.224 40.561 90.00 90.00 120.00 **P** 63

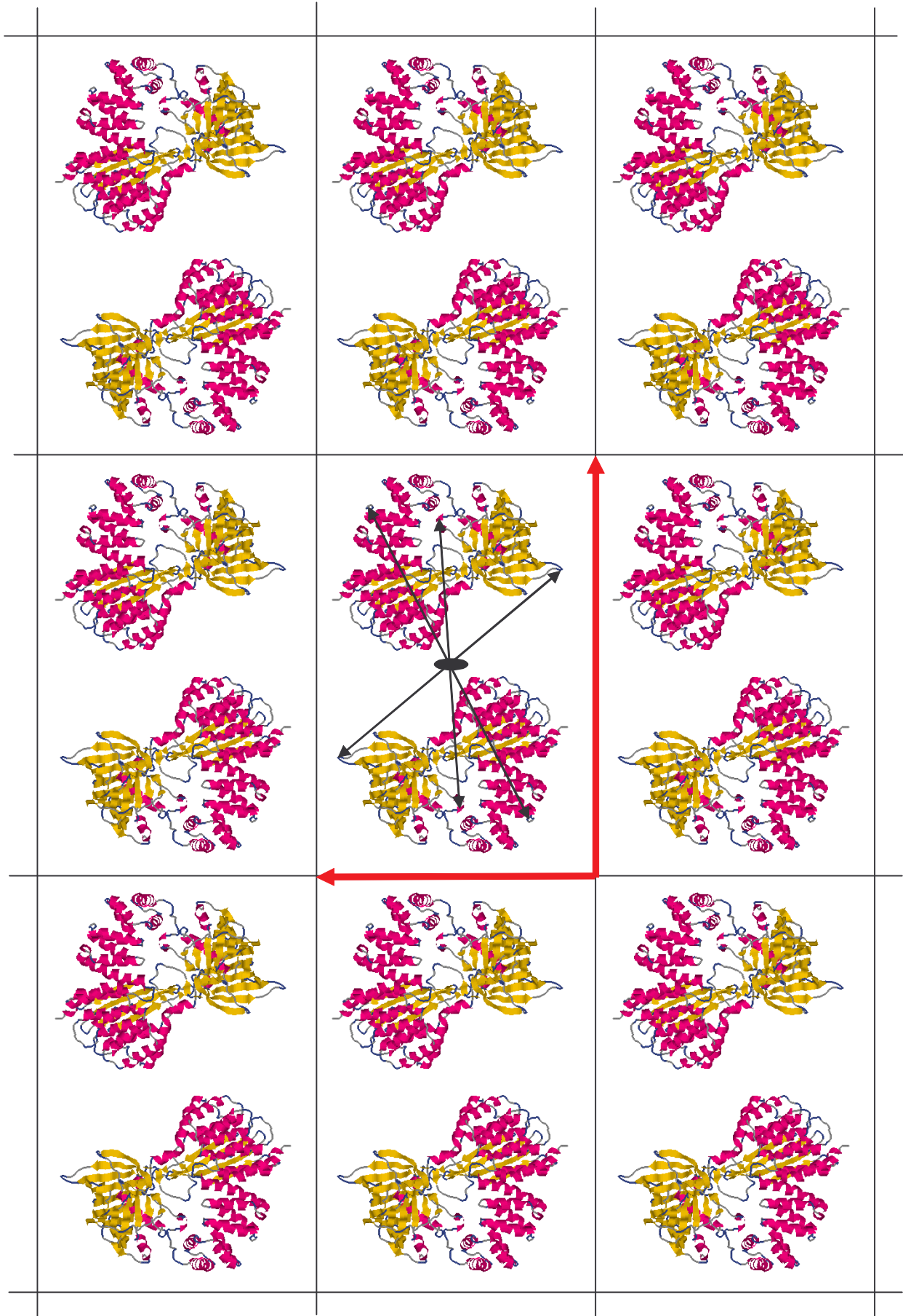


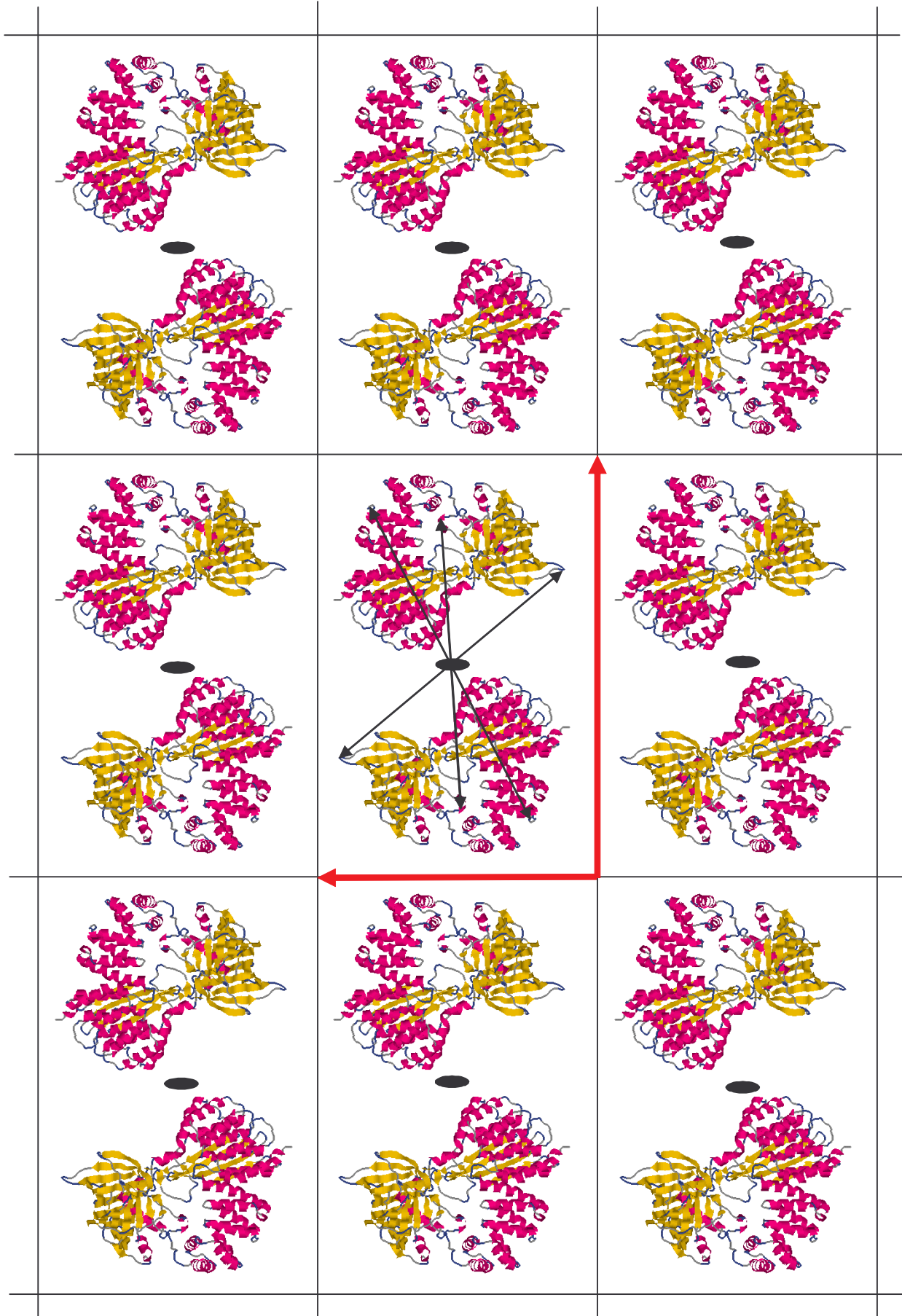
тип ячейки

Симметрия

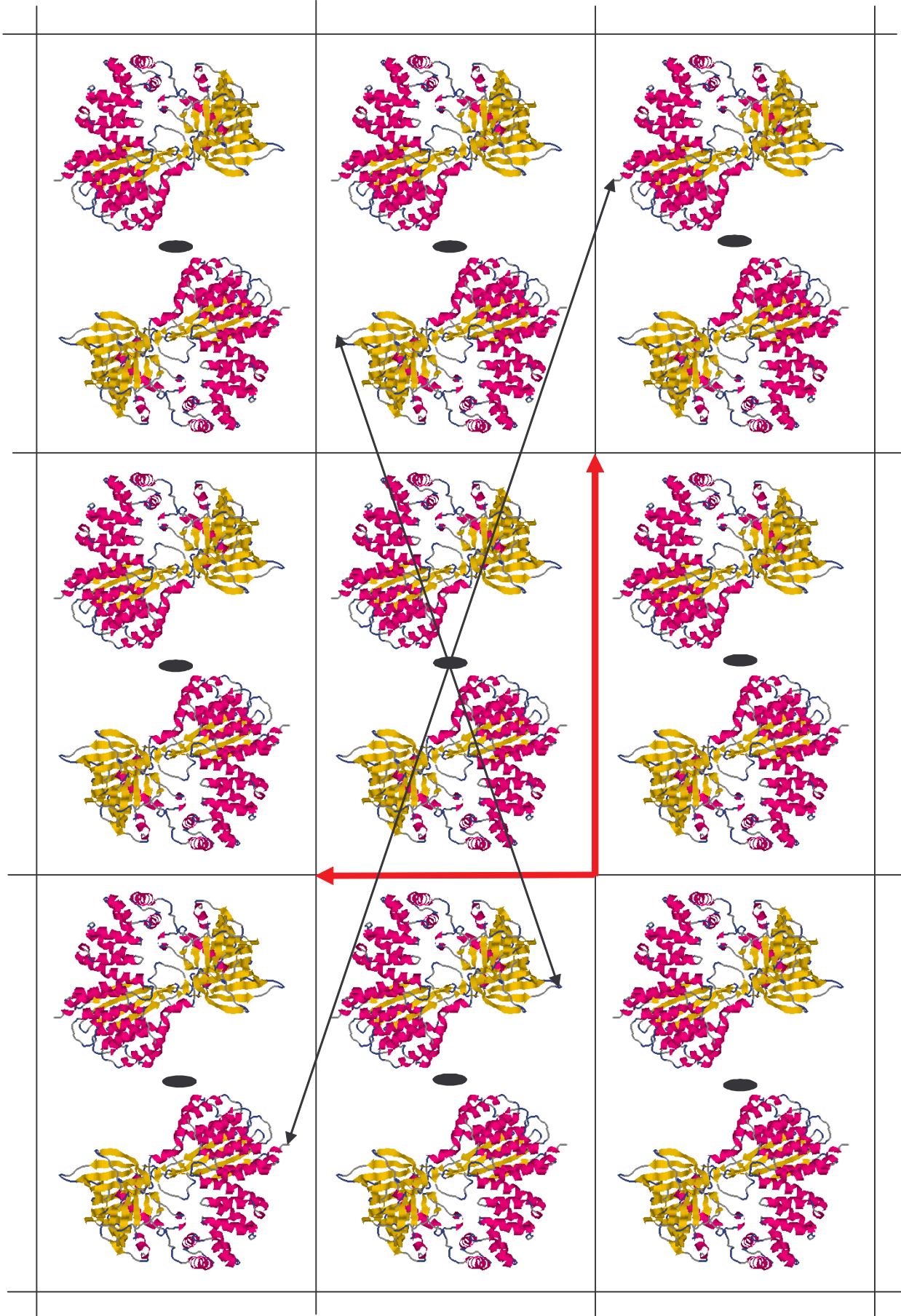






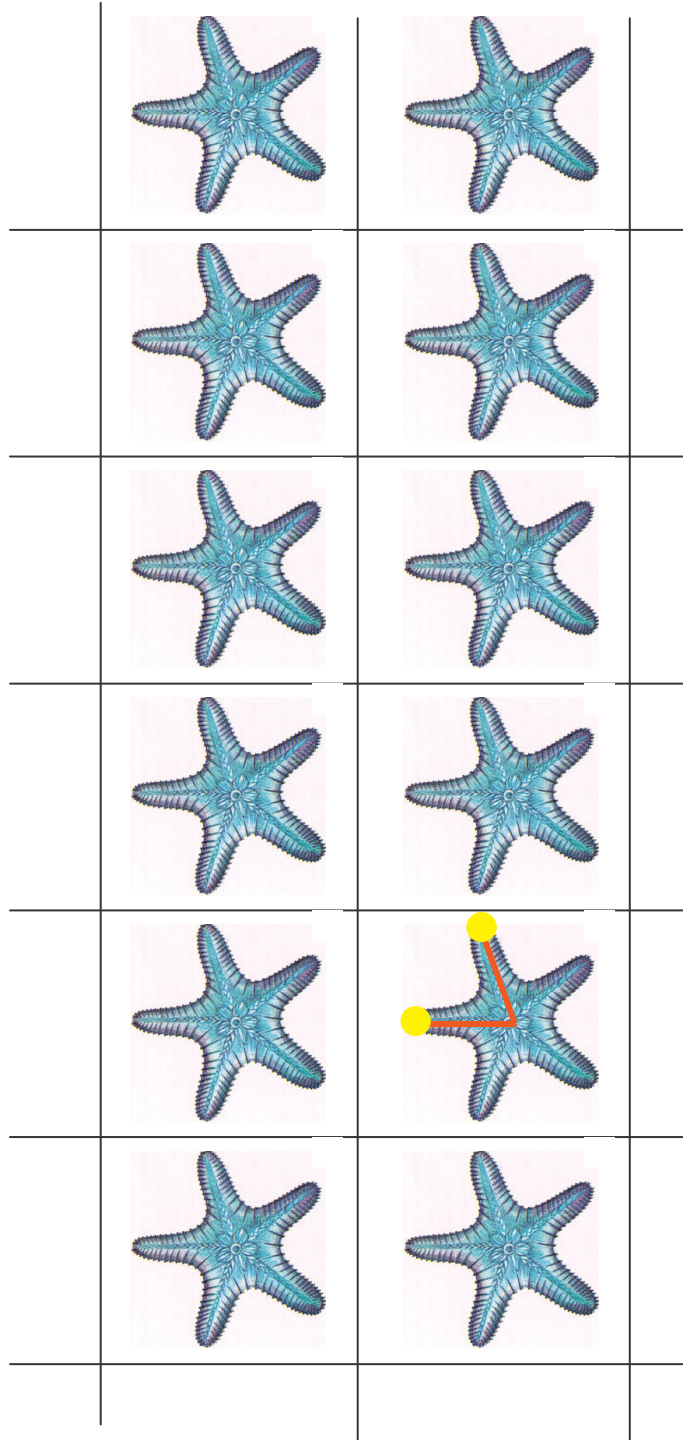


Кристаллографическая симметрия



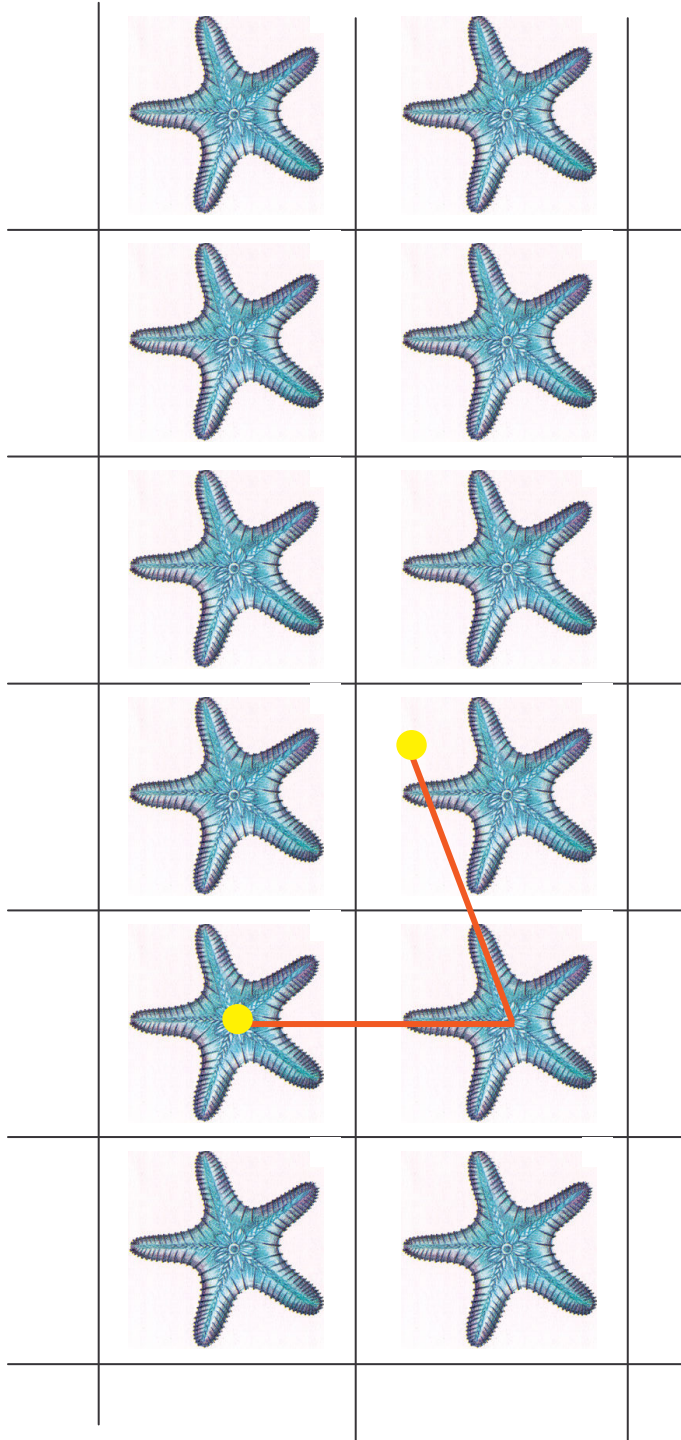
Кристаллографическая симметрия “действует” для всех точек кристалла

Некристаллографическая симметрия



Некристаллографическая (локальная) симметрия имеет место только в ограниченной области пространства и не сохраняется для всего кристалла

NON-CRYSTALLOGRAPHIC SYMMETRY



Некристаллографическая (локальная) симметрия имеет место только в ограниченной области пространства и не сохраняется для всего кристалла

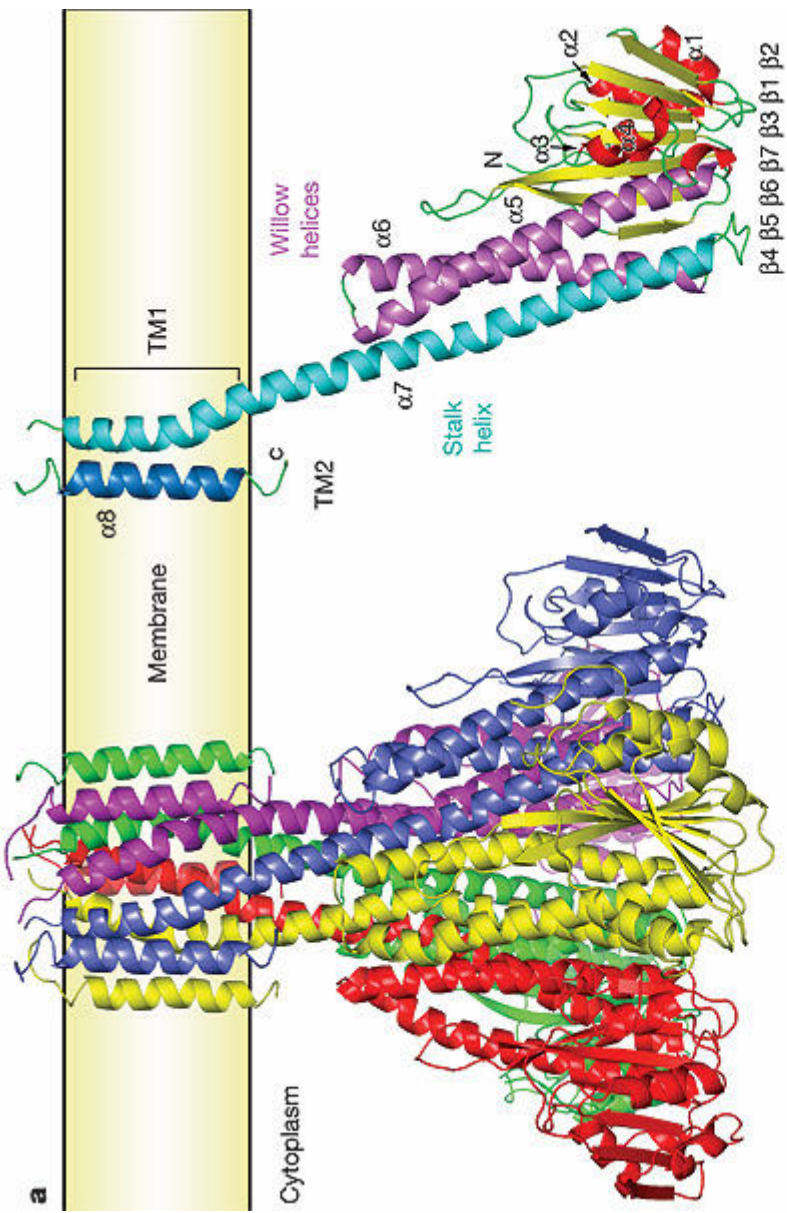
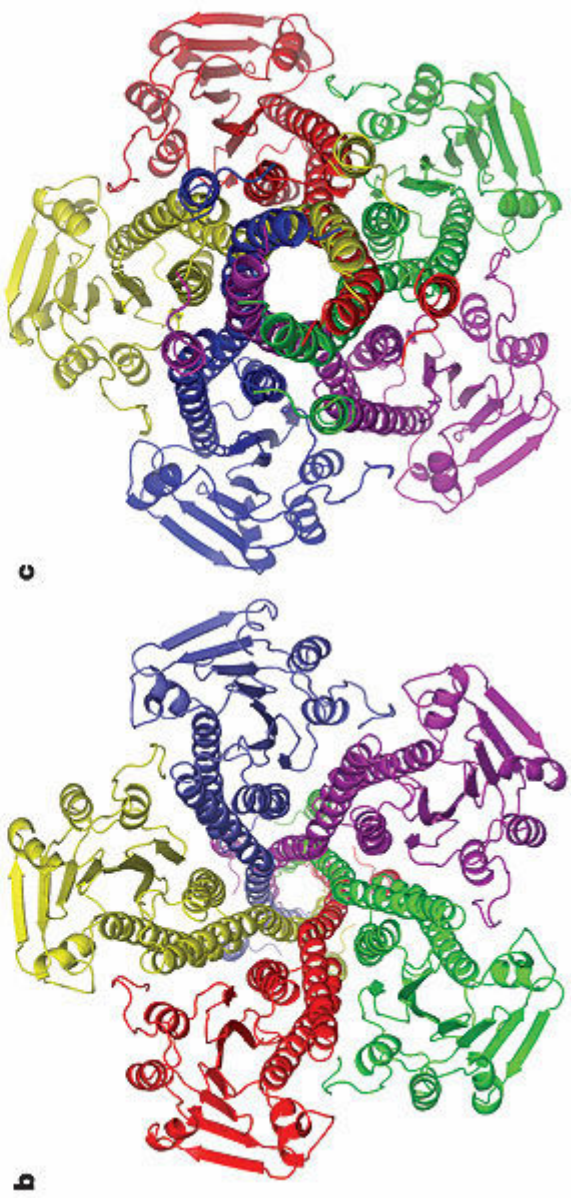


FIGURE 1.
Structure of the
CorA Mg²⁺ channel.

From the following
article: [Crystal
structure of the CorA
Mg²⁺ transporter](#)

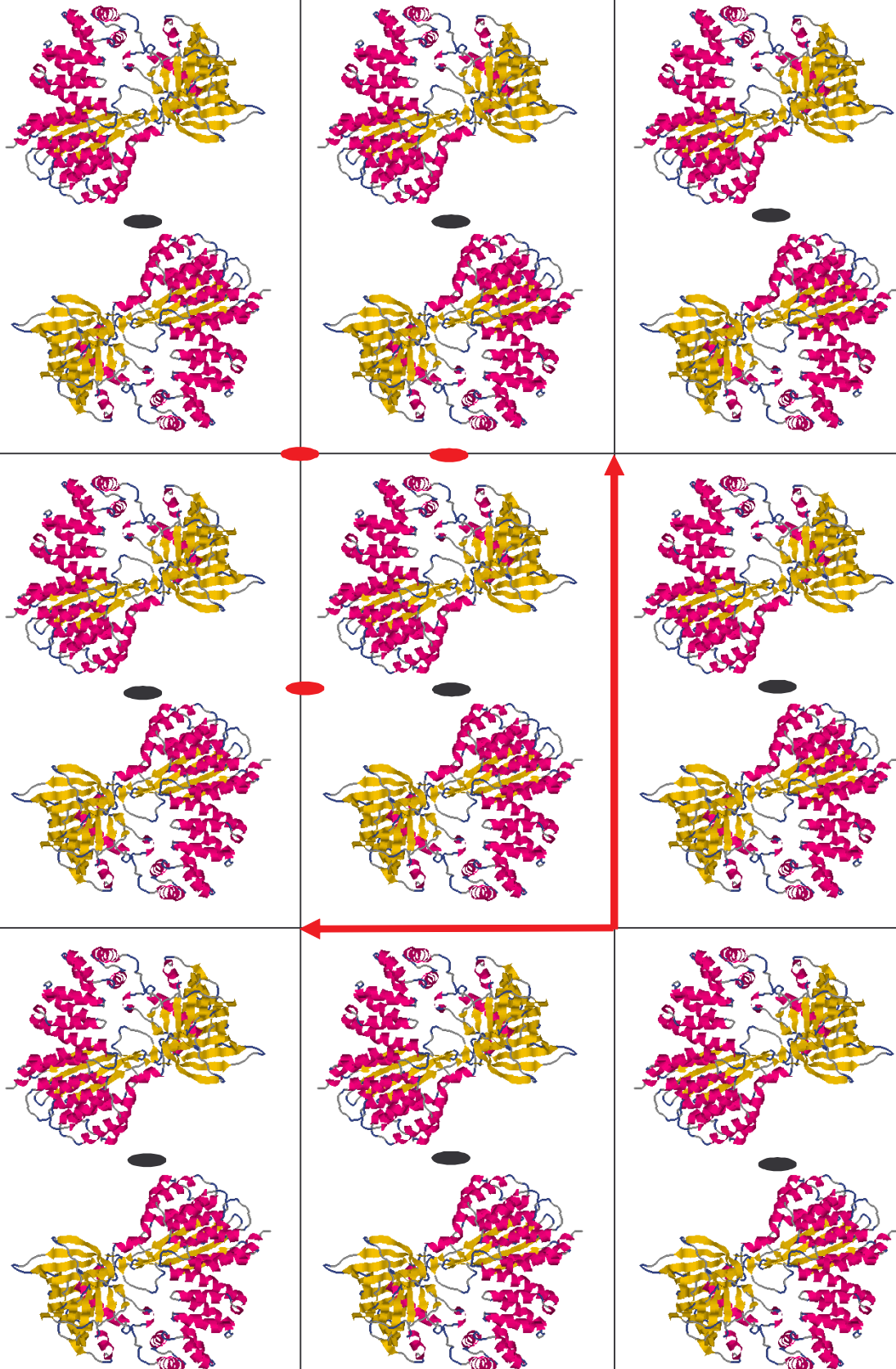


Vladimir V. Lunin, Elena
Dobrovetsky, Galina
Khutoreskaya, Rongguang
Zhang, Andrzej Joachimiak,
Declan A. Doyle, Alexey
Bochkarev, Michael E.
Maguire, Aled M. Edwards and
Christopher M. Koth

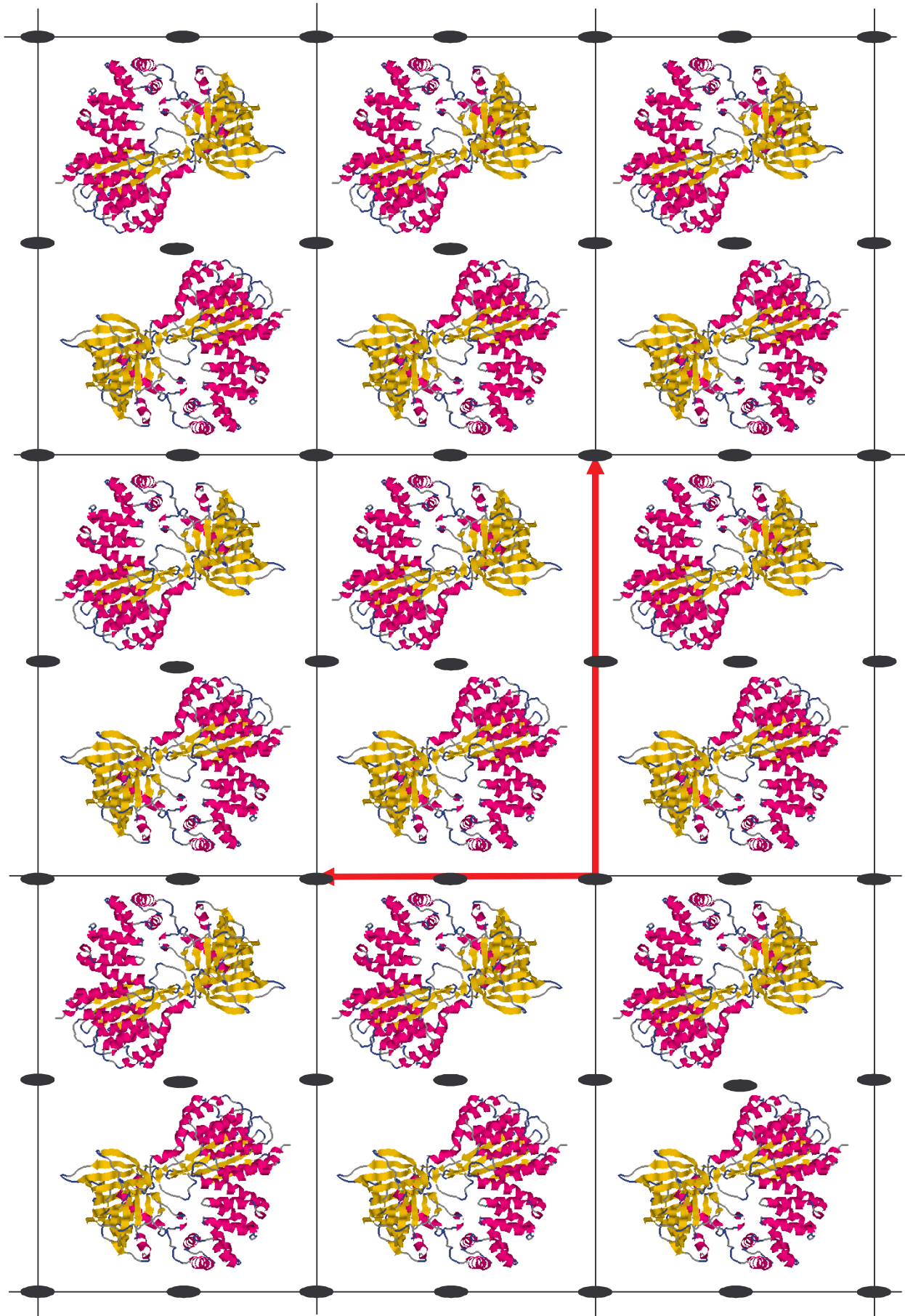
Nature 440, 833-837
(6 April 2006)

Кристаллографическая симметрия

Дополнительные оси симметрии



Кристаллографическая симметрия



Симметрия

Элементы симметрии:

- поворотная ось; 2, 3, 4, 6
- винтовая ось; 2₁, 3₁, 3₂, 4₁, 4₂, 4₃, 6₁, 6₂, 6₃, 6₄, 6₅
- центр инверсии;
- зеркальная плоскость;
- плоскость скольжения.

Симметрия задается:

- матрицей вращения \mathbf{R} ;
- вектором трансляции \mathbf{t} .

$$\mathbf{r}' = \mathbf{R}\mathbf{r} + \mathbf{t}$$

$$x' = r_{11}x + r_{12}y + r_{13}z + t_x$$

$$y' = r_{21}x + r_{22}y + r_{23}z + t_y$$

$$z' = r_{31}x + r_{32}y + r_{33}z + t_z$$

\mathbf{r}' и \mathbf{r} - точки связанные симметрией

Распределение электронной плотности $\rho(\mathbf{r})$ обладает кристаллографической симметрией (\mathbf{R}, \mathbf{t}) если

$$\rho(\mathbf{R}\mathbf{r} + \mathbf{t}) = \rho(\mathbf{r}) \quad \text{для всех } \mathbf{r}$$

Все симметрии конкретной кристаллической структуры образуют группу.

Существует конечное число (230) групп симметрии кристаллов.

Каждая группа имеет свое обозначение.

CRYST1 66.224 66.224 40.561 90.00 90.00 120.00 P 63

6

символ пространственной группы

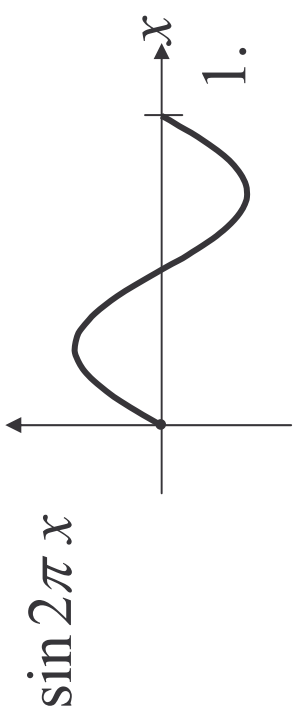
число молекул в элементарной ячейке

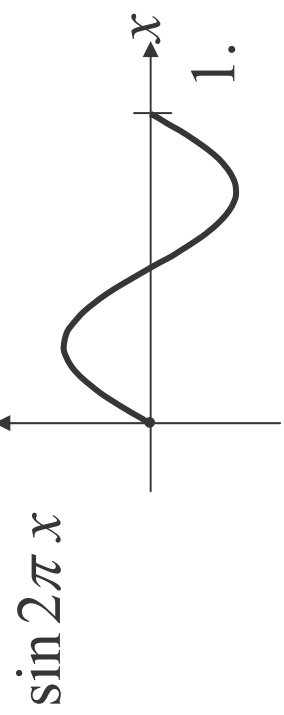
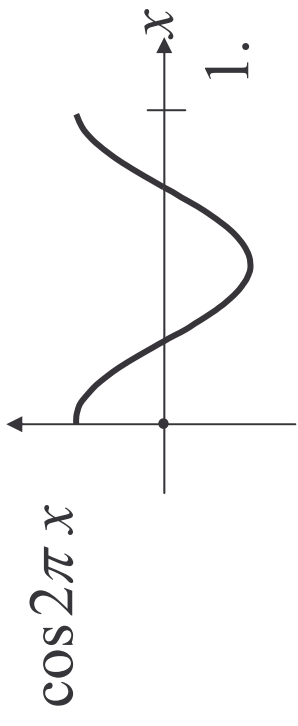
Что вносит кристаллографическая симметрия в
рассеяние рентгеновских лучей?

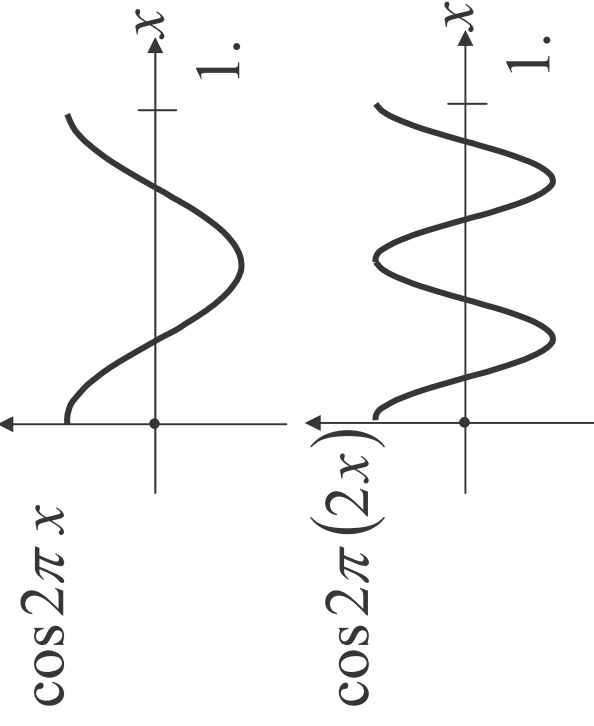
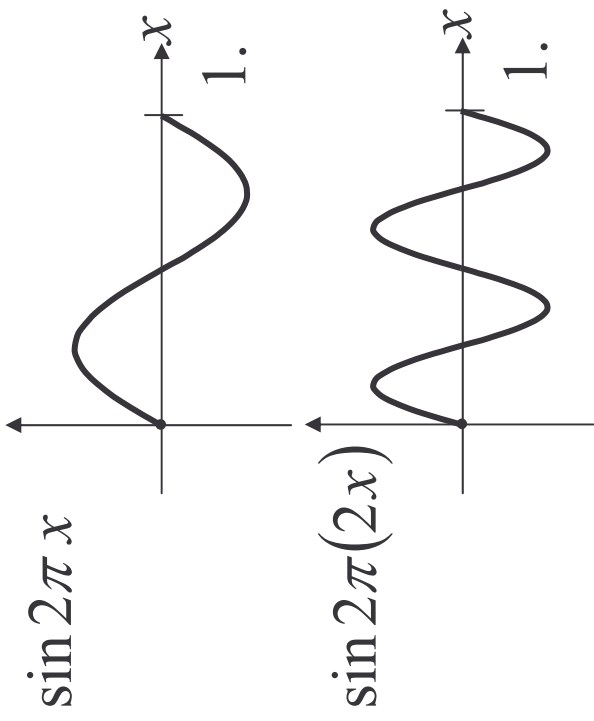
$$\text{P2} \quad \rho(-x, y, -z) = \rho(x, y, z)$$

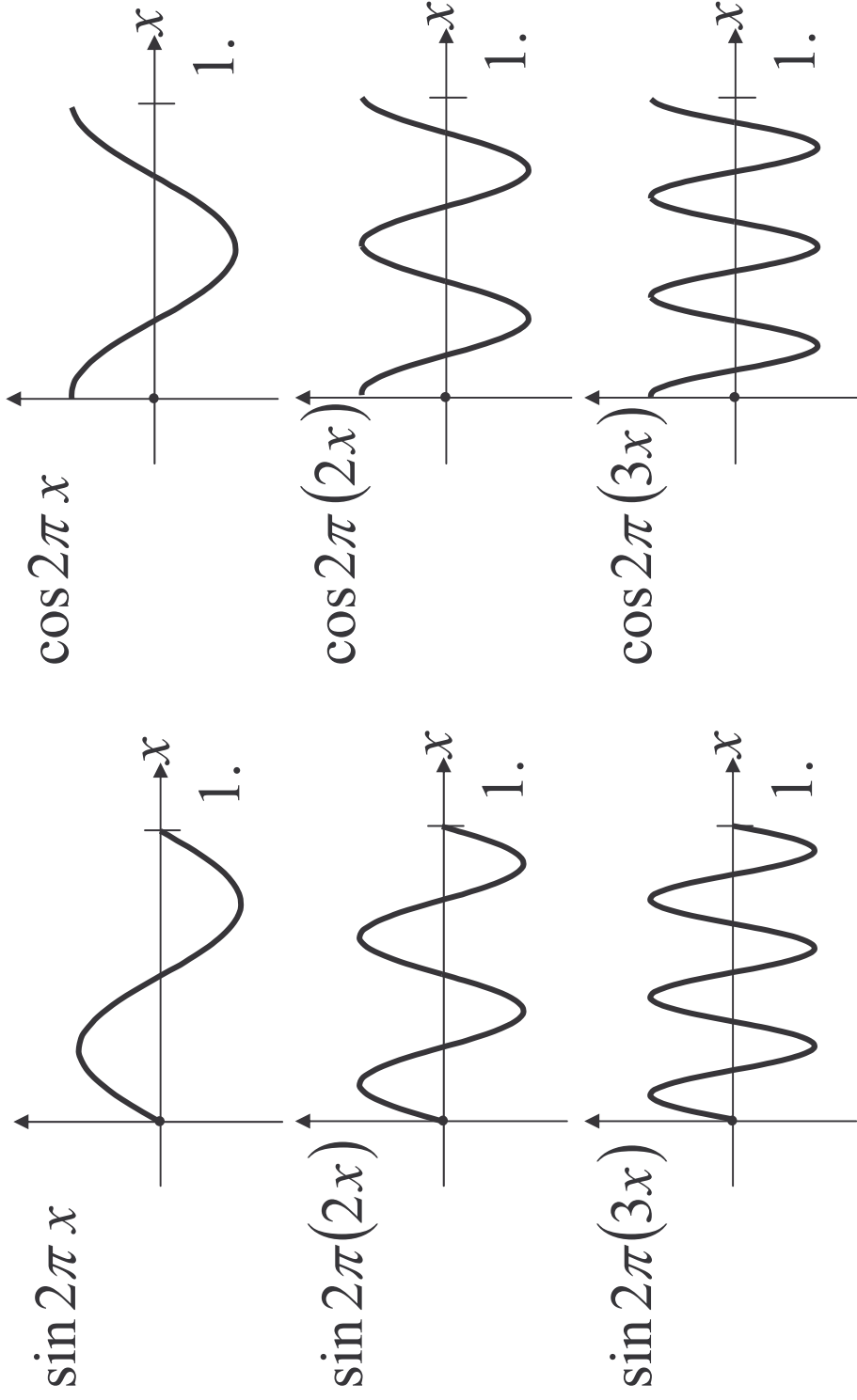
$$F(-h, k, -l) = F(h, k, l)$$

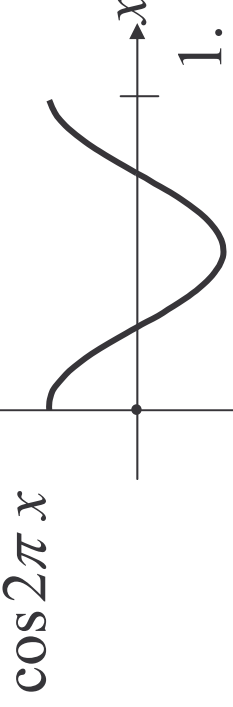
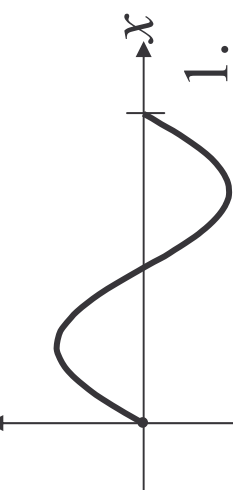
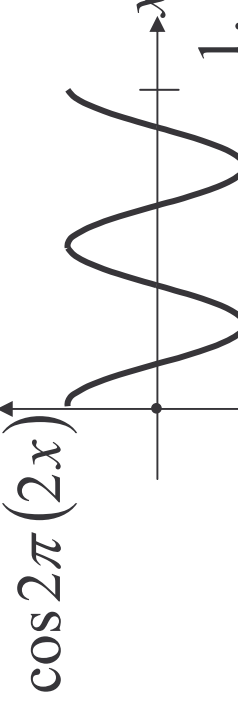
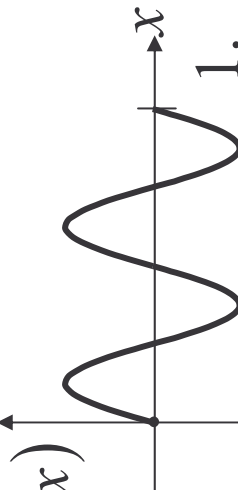
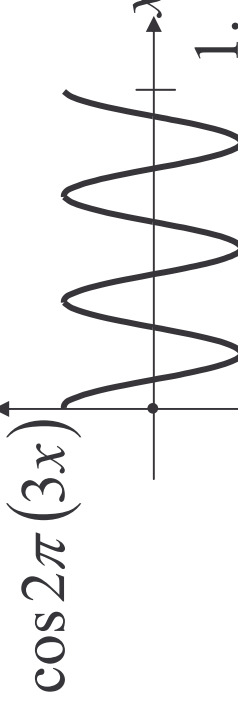
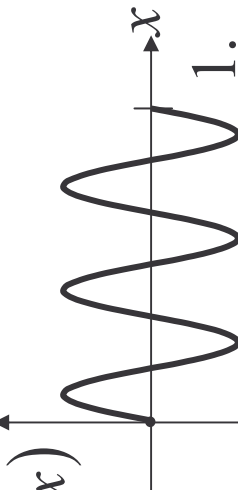
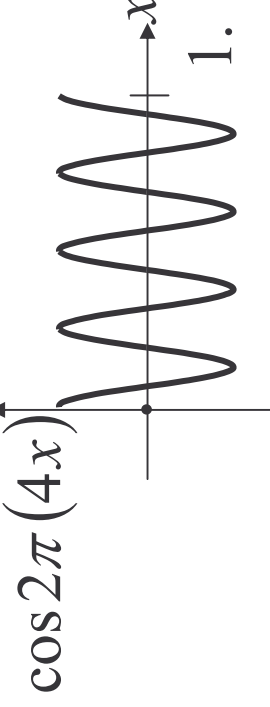
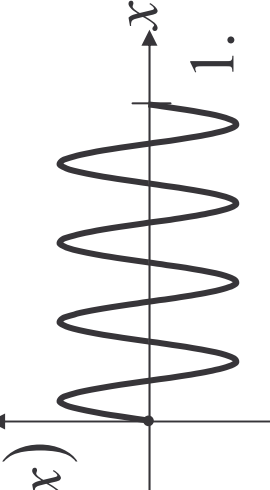
Рядом
Файды









$\sin 2\pi x$  $\sin 2\pi(2x)$  $\sin 2\pi(3x)$  $\sin 2\pi(4x)$  $\sin 2\pi(hx)$ $\cos 2\pi(hx)$

"Классический" ("тригонометрический") ряд Фурье

Любая функция может быть представлена на отрезке $[0, 1]$ в виде суммы "синусов и косинусов".

"Классический" ("тригонометрический") ряд Фурье

Любая функция может быть представлена на отрезке $[0, 1]$
в виде суммы "синусов и косинусов".

$$\rho(x) = a_0$$

$$+ a_1 \cos 2\pi x + b_1 \sin 2\pi x$$

"Классический" ("тригонометрический") ряд Фурье

Любая функция может быть представлена на отрезке $[0, 1]$ в виде суммы "синусов и косинусов".

$$\rho(x) = a_0$$

$$+ a_1 \cos 2\pi x + b_1 \sin 2\pi x$$

$$+ a_2 \cos 2\pi(2x) + b_2 \sin 2\pi(2x)$$

"Классический" ("тригонометрический") ряд Фурье

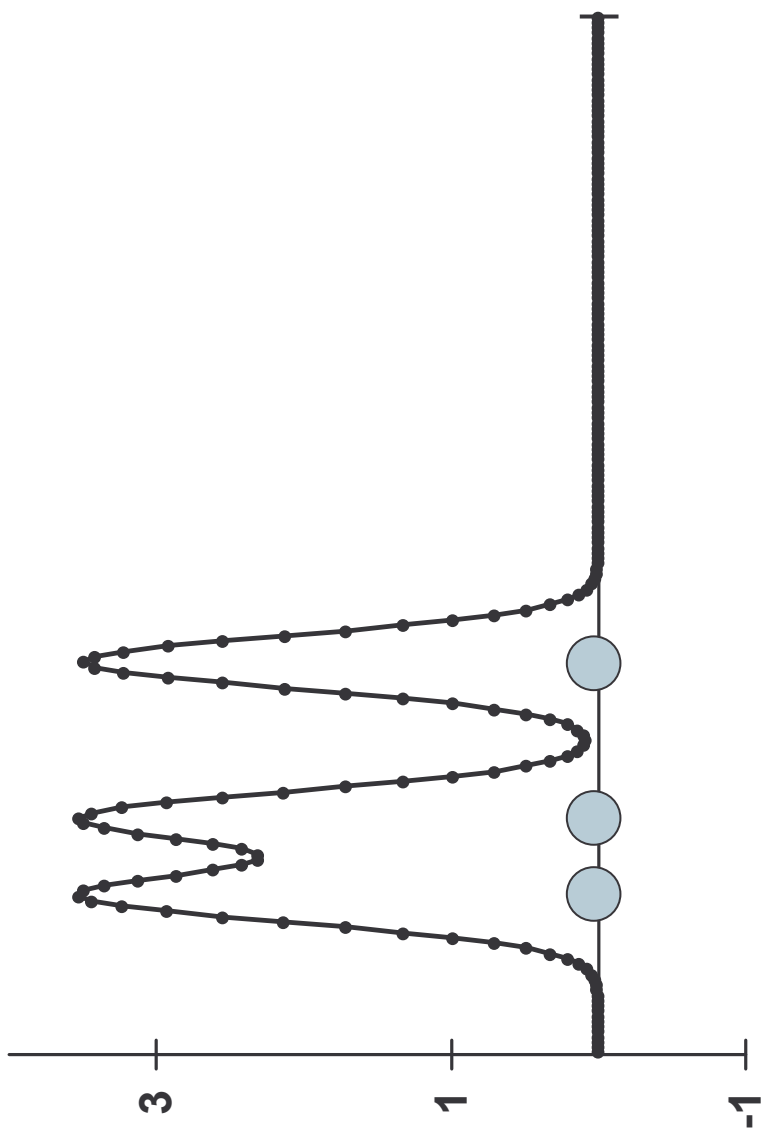
Любая функция может быть представлена на отрезке $[0, 1]$ в виде суммы "синусов и косинусов".

$$\begin{aligned} \rho(x) = & a_0 \\ & + a_1 \cos 2\pi x + b_1 \sin 2\pi x \\ & + a_2 \cos 2\pi(2x) + b_2 \sin 2\pi(2x) \\ & + a_3 \cos 2\pi(3x) + b_3 \sin 2\pi(3x) \\ & + \dots \end{aligned}$$

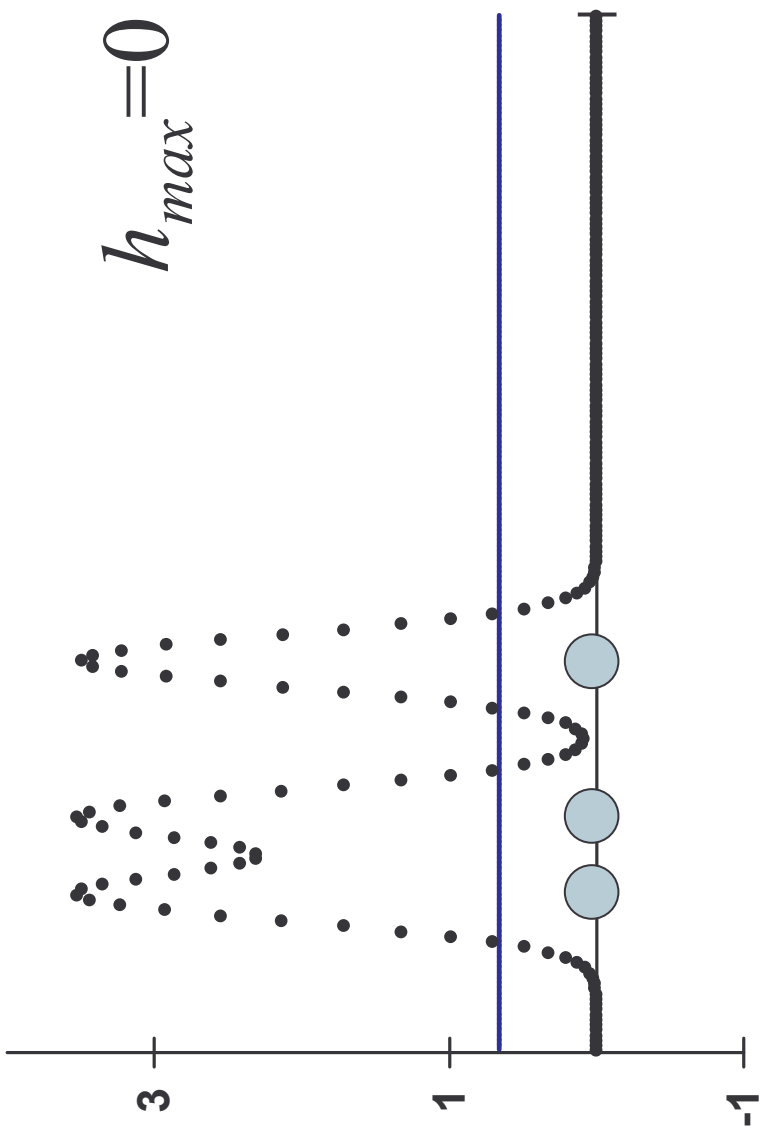
"Классический" ("тригонометрический") ряд Фурье

Любая функция может быть представлена на отрезке $[0, 1]$ в виде суммы "синусов и косинусов".

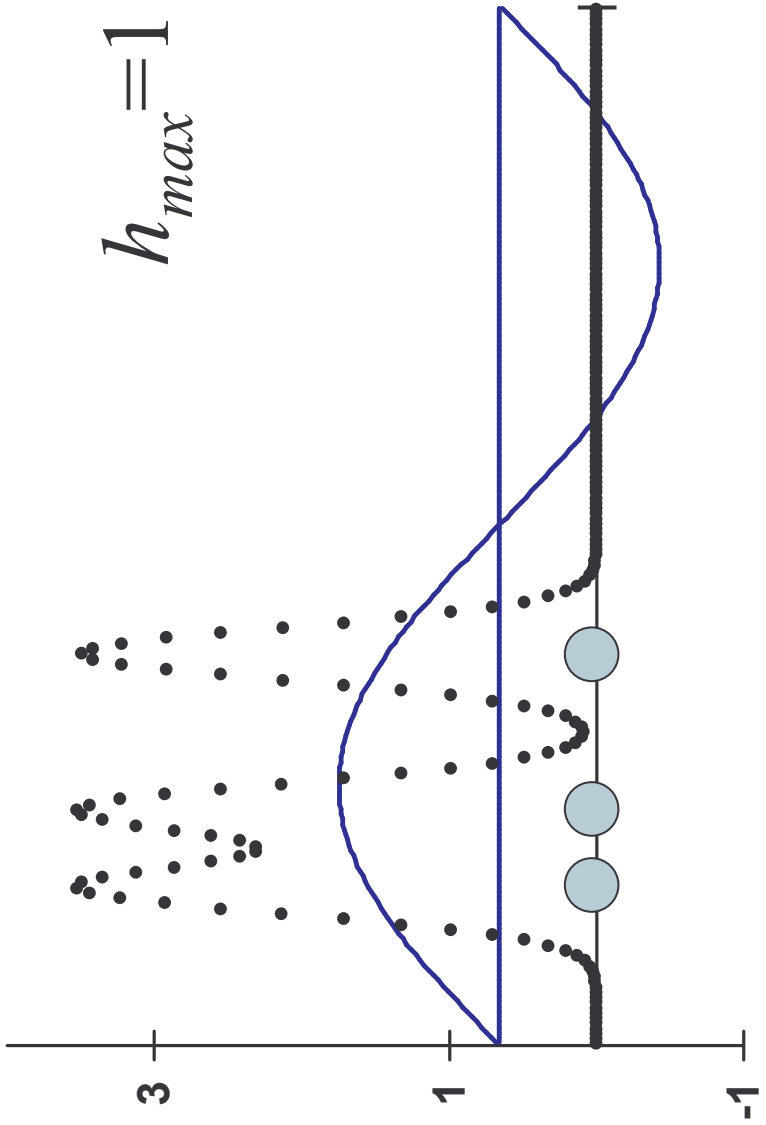
$$\begin{aligned}\rho(x) = & a_0 \\ & + a_1 \cos 2\pi x + b_1 \sin 2\pi x \\ & + a_2 \cos 2\pi(2x) + b_2 \sin 2\pi(2x) \\ & + a_3 \cos 2\pi(3x) + b_3 \sin 2\pi(3x) \\ & + \dots\end{aligned}$$
$$\rho(x) \approx a_0 + \sum_{h=1}^{h_{\max}} \{ a_h \cos 2\pi(hx) + b_h \sin 2\pi(hx) \}$$



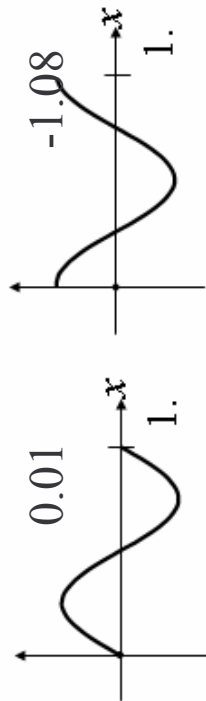
$$\rho(x) \approx a_0 + \sum_{h=1}^{h_{\max}} \{a_h \cos 2\pi(hx) + b_h \sin 2\pi(hx)\}$$



$$\rho(x) \approx a_0 + \sum_{h=1}^{h_{\max}} \{a_h \cos 2\pi(hx) + b_h \sin 2\pi(hx)\}$$



$$h_{\max}=1$$



0.66 +

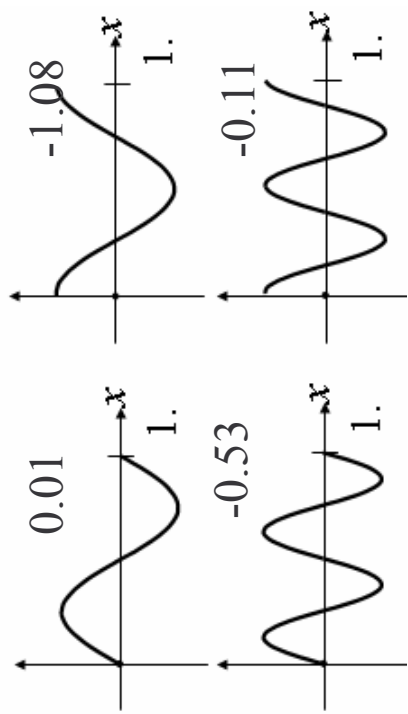
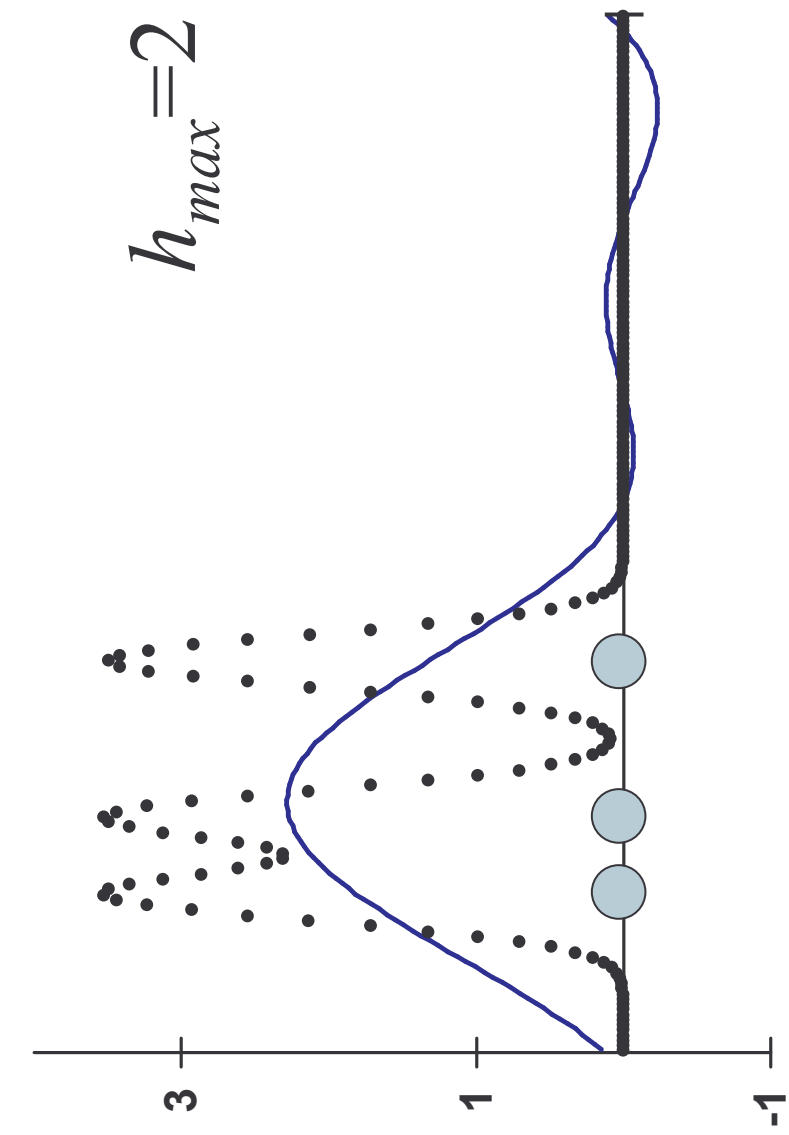
-1.08

0.01

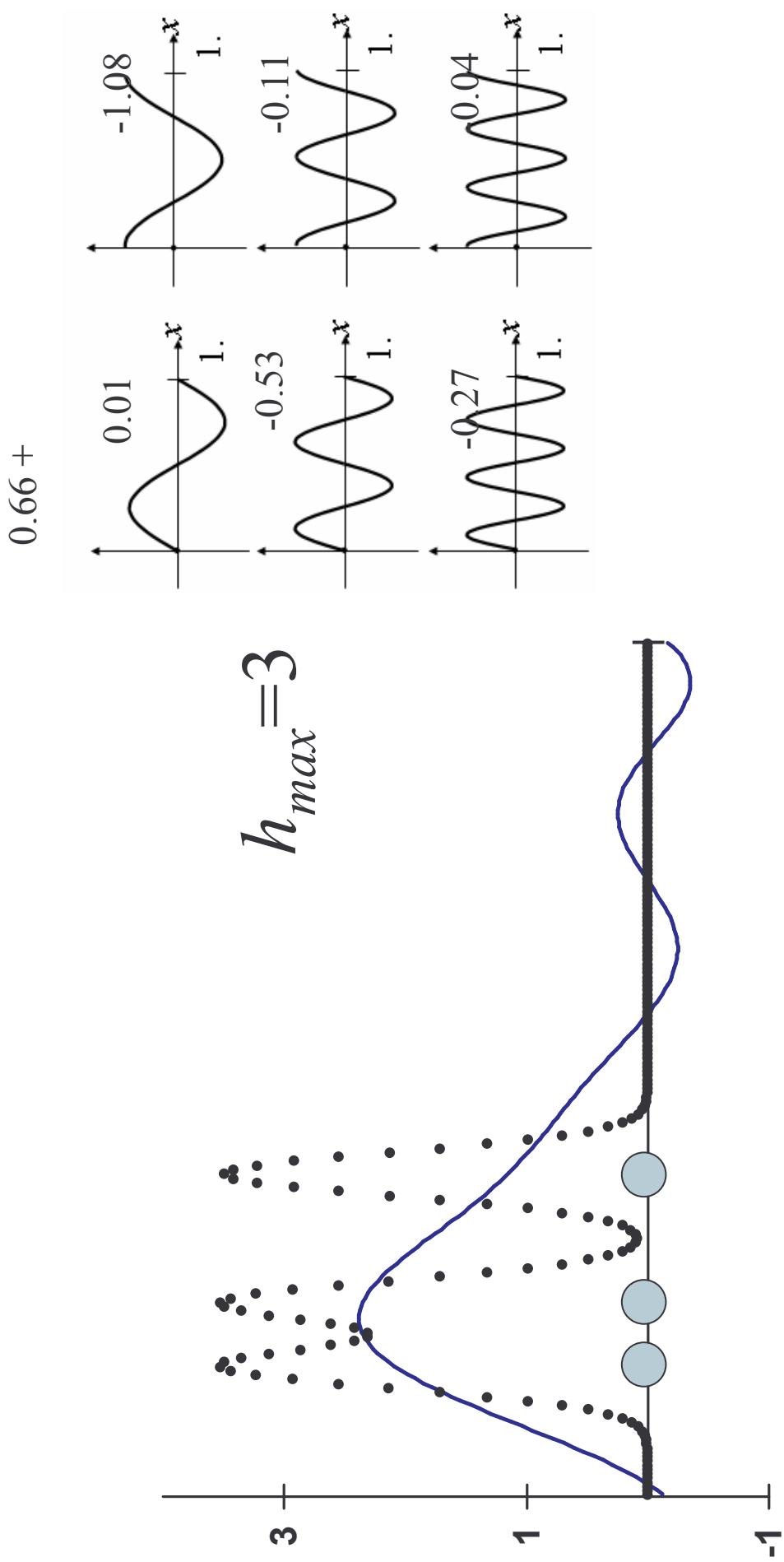
1.

1.

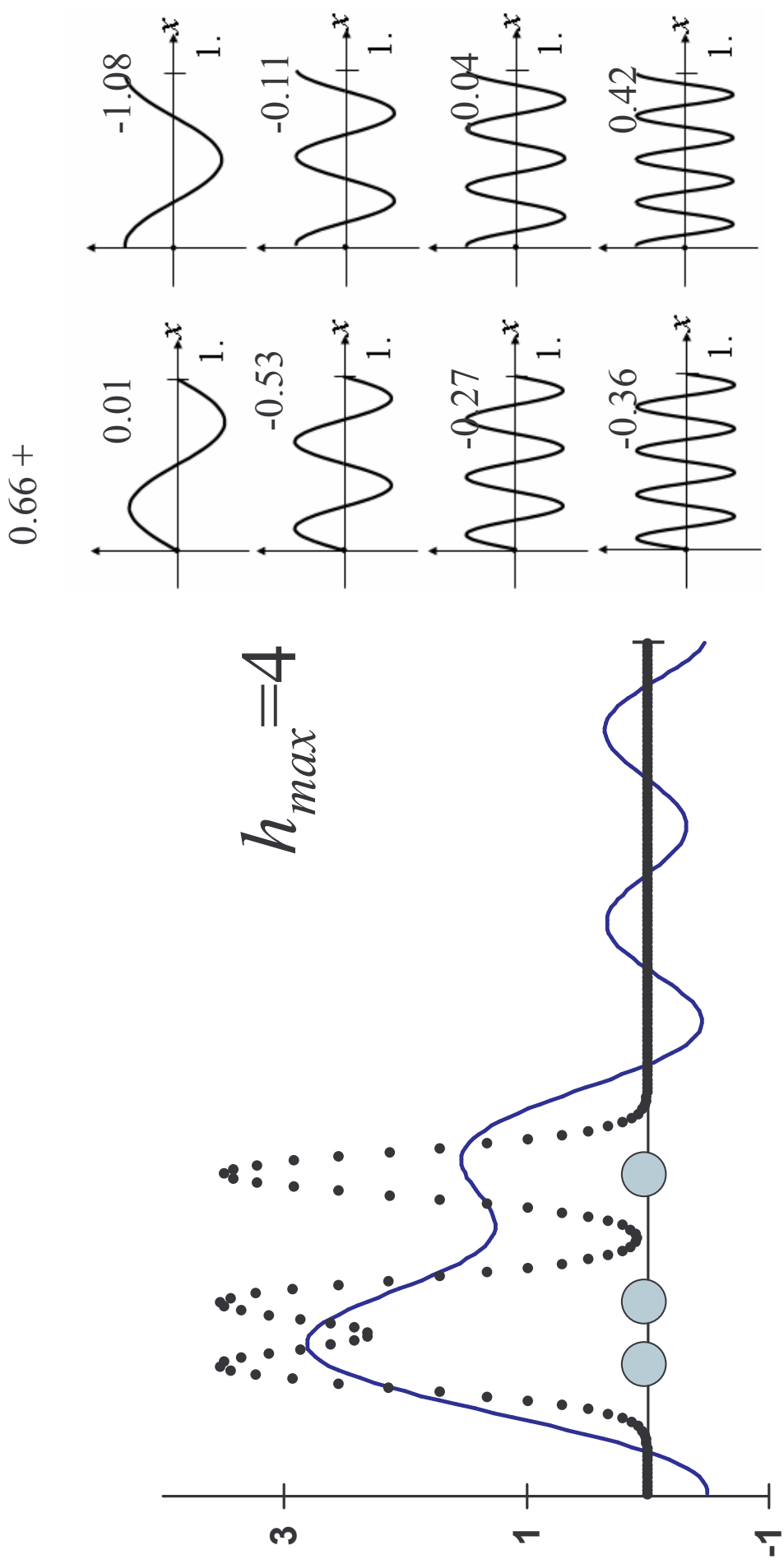
$$\rho(x) \approx a_0 + \sum_{h=1}^{h_{\max}} \{a_h \cos 2\pi(hx) + b_h \sin 2\pi(hx)\}$$



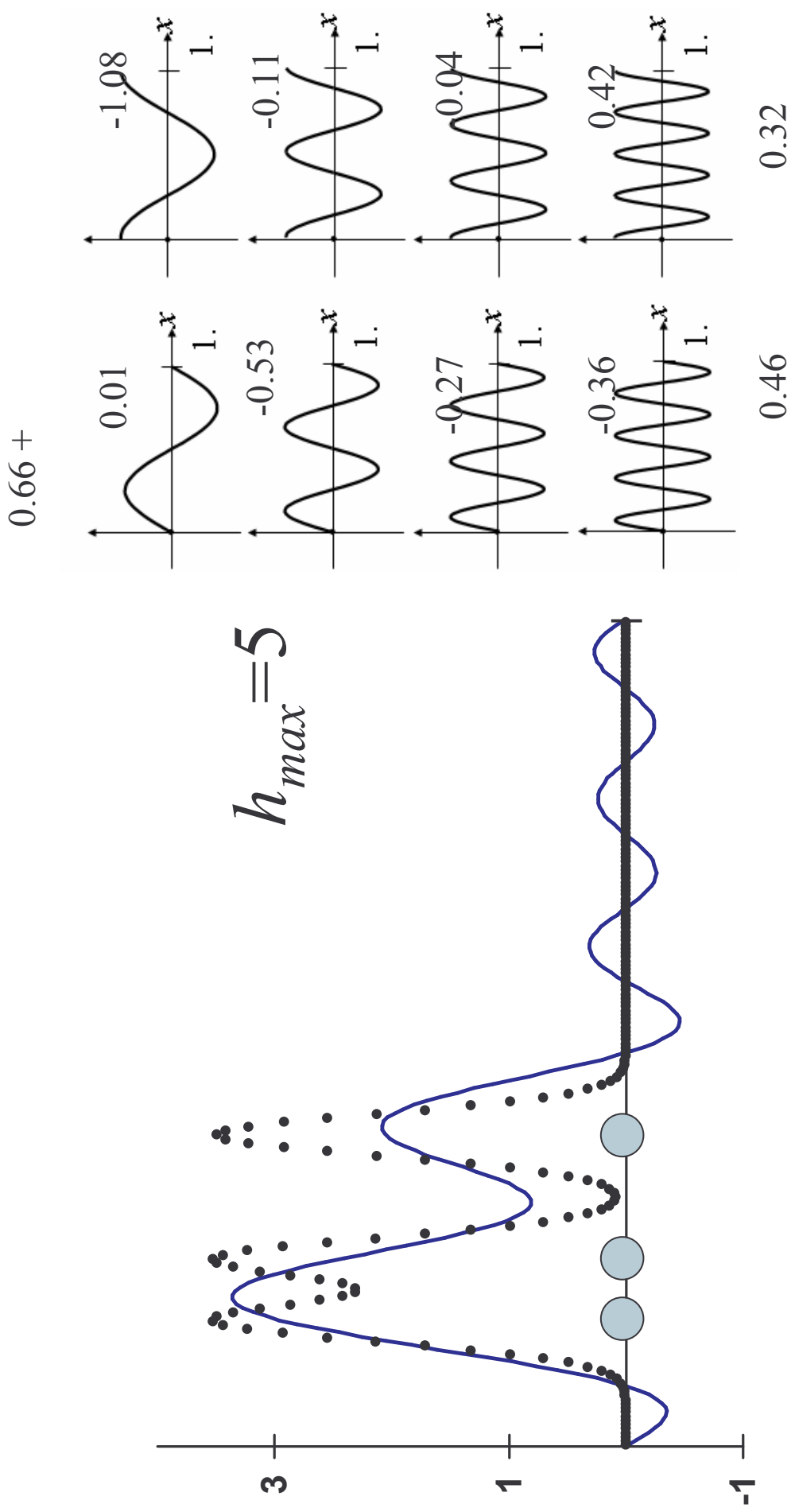
$$\rho(x) \approx a_0 + \sum_{h=1}^{h_{\max}} \{a_h \cos 2\pi(hx) + b_h \sin 2\pi(hx)\}$$



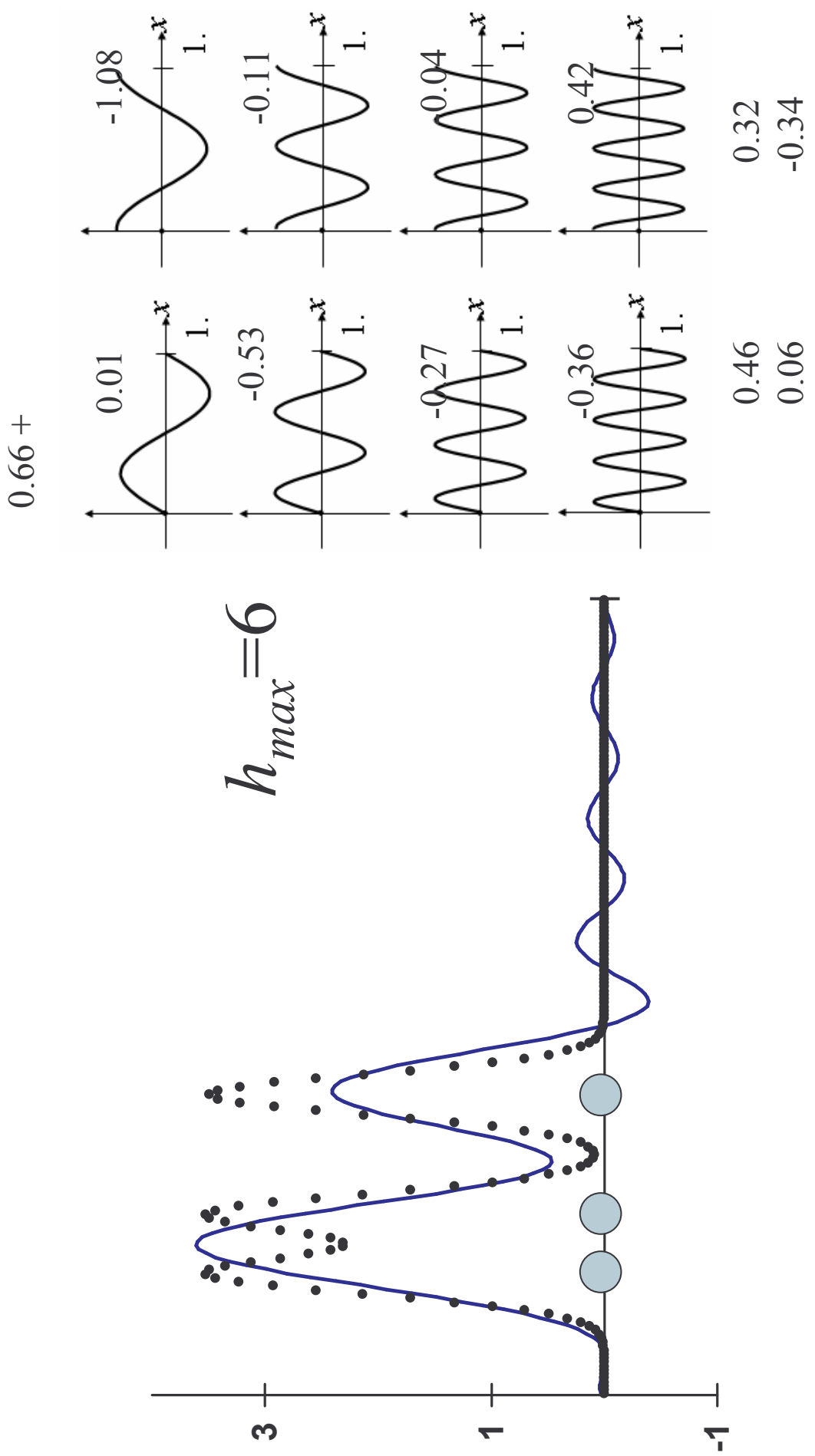
$$\rho(x) \approx a_0 + \sum_{h=1}^{h_{\max}} \{a_h \cos 2\pi(hx) + b_h \sin 2\pi(hx)\}$$

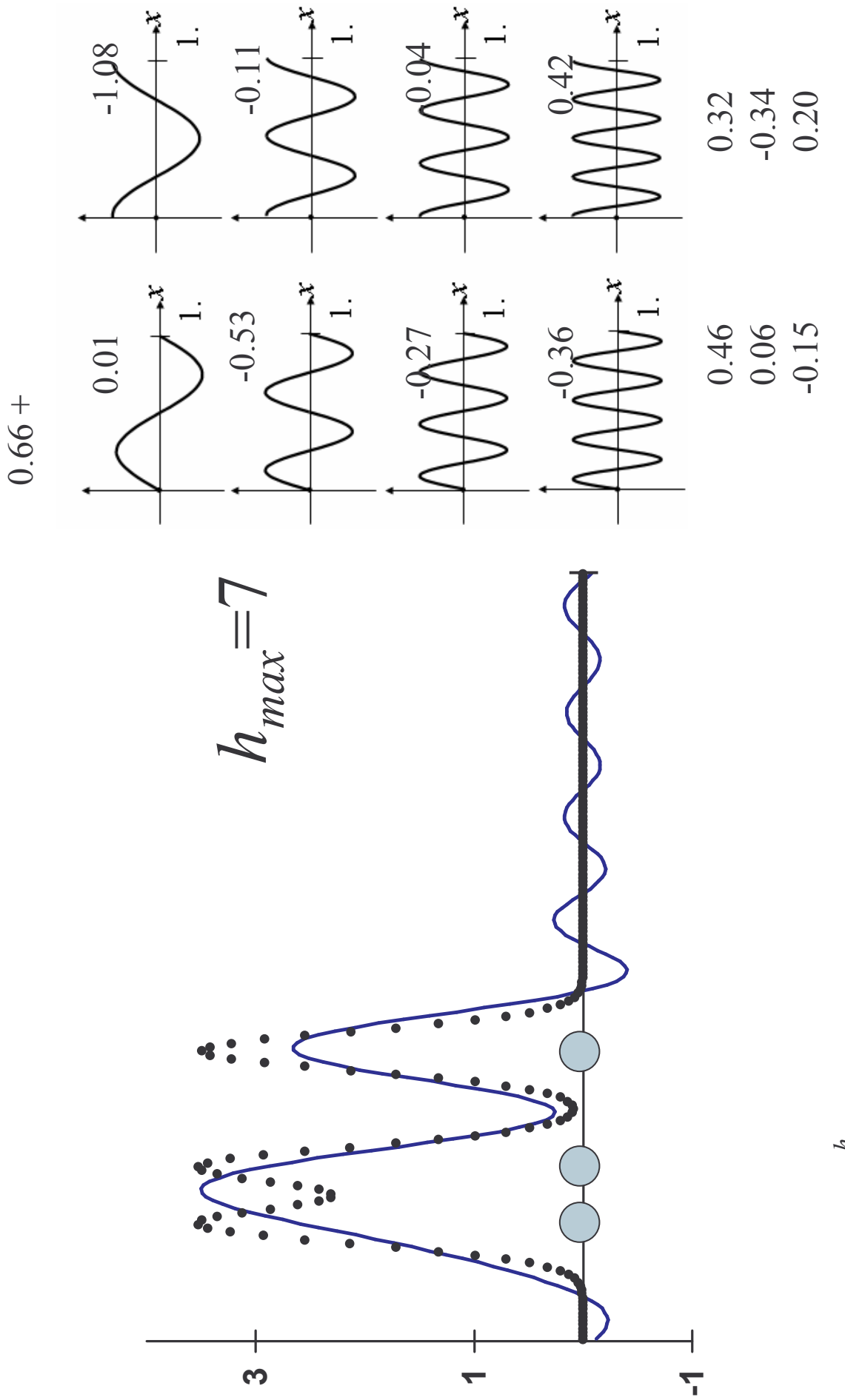


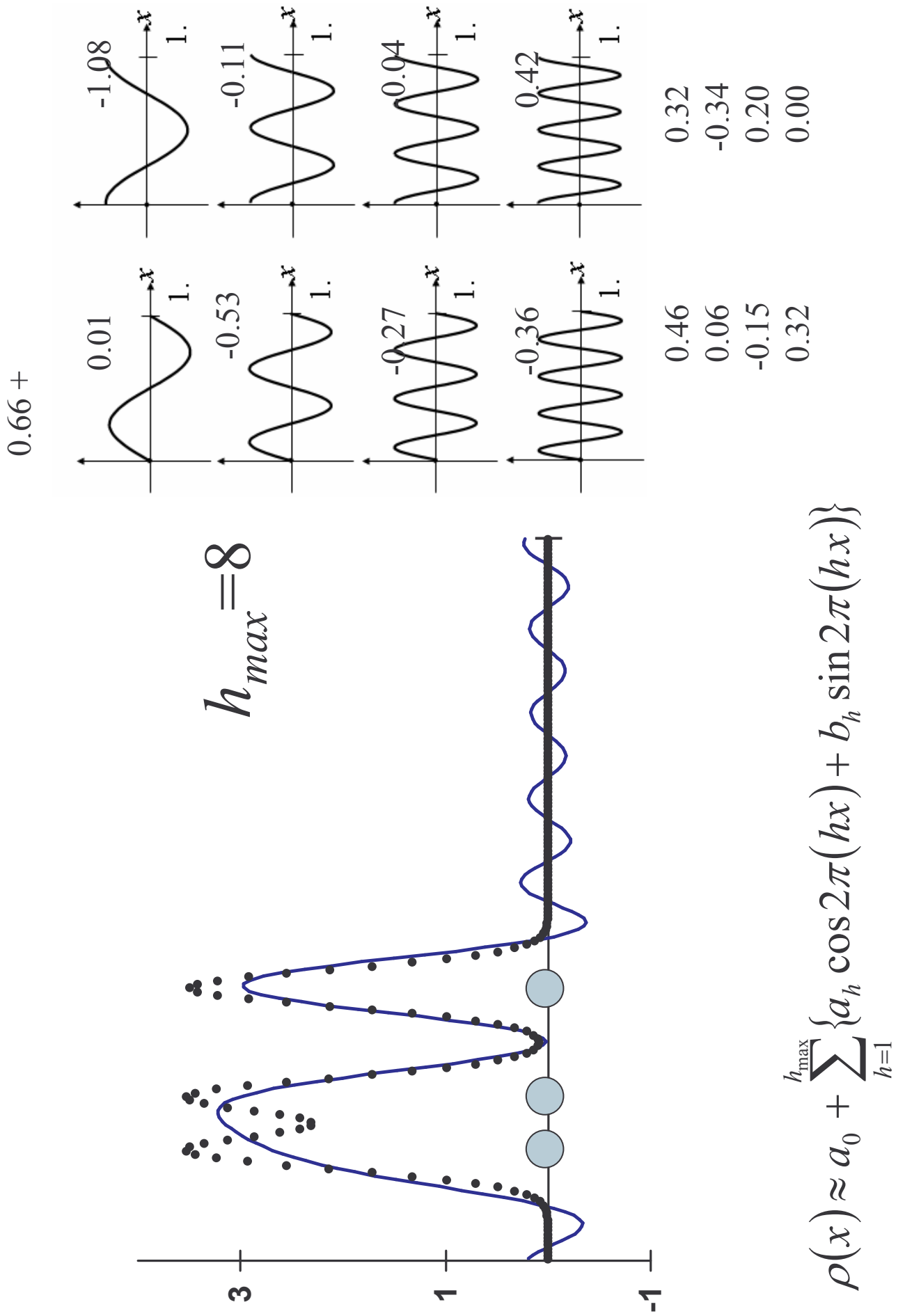
$$\rho(x) \approx a_0 + \sum_{h=1}^{h_{\max}} \{a_h \cos 2\pi(hx) + b_h \sin 2\pi(hx)\}$$

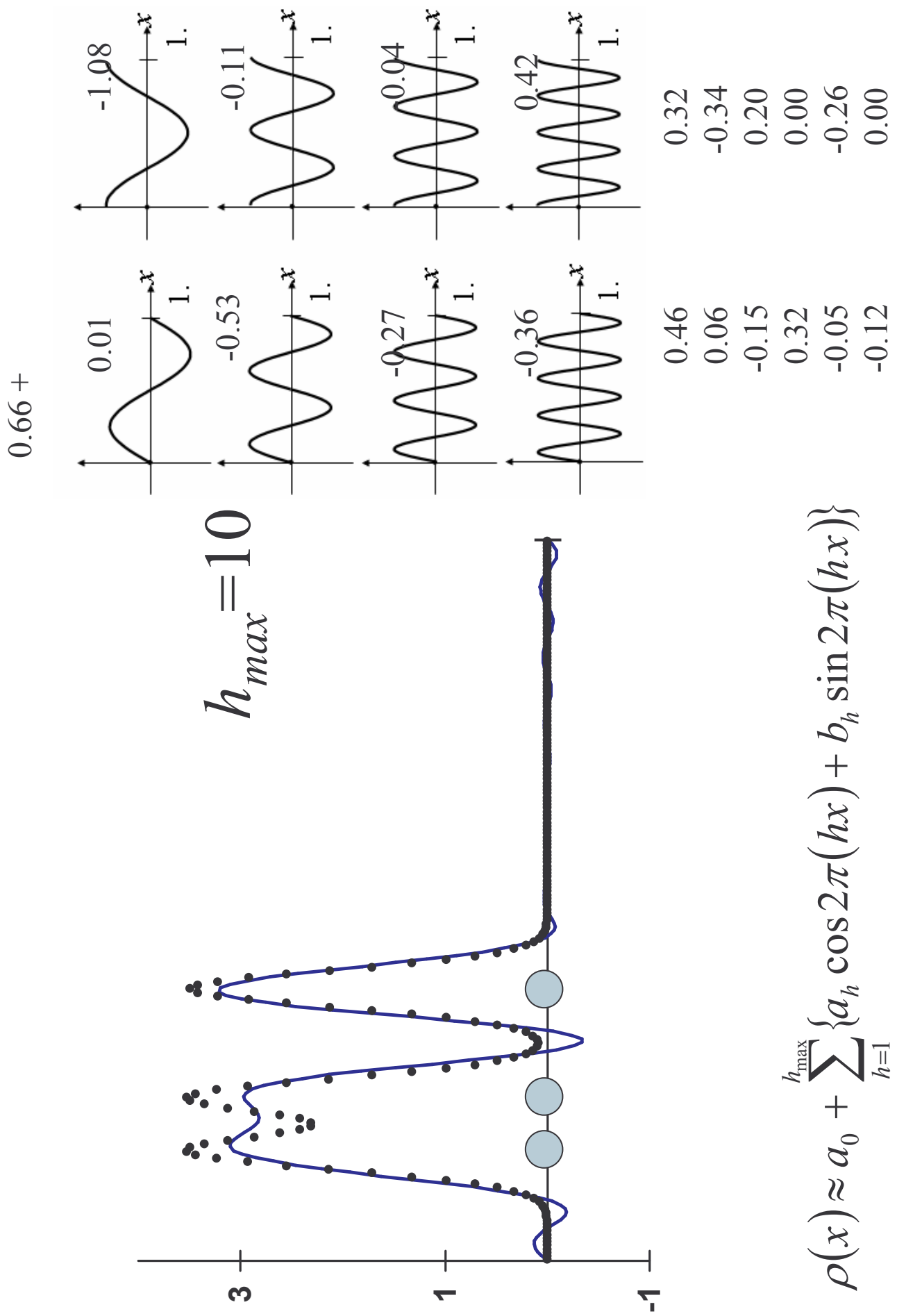


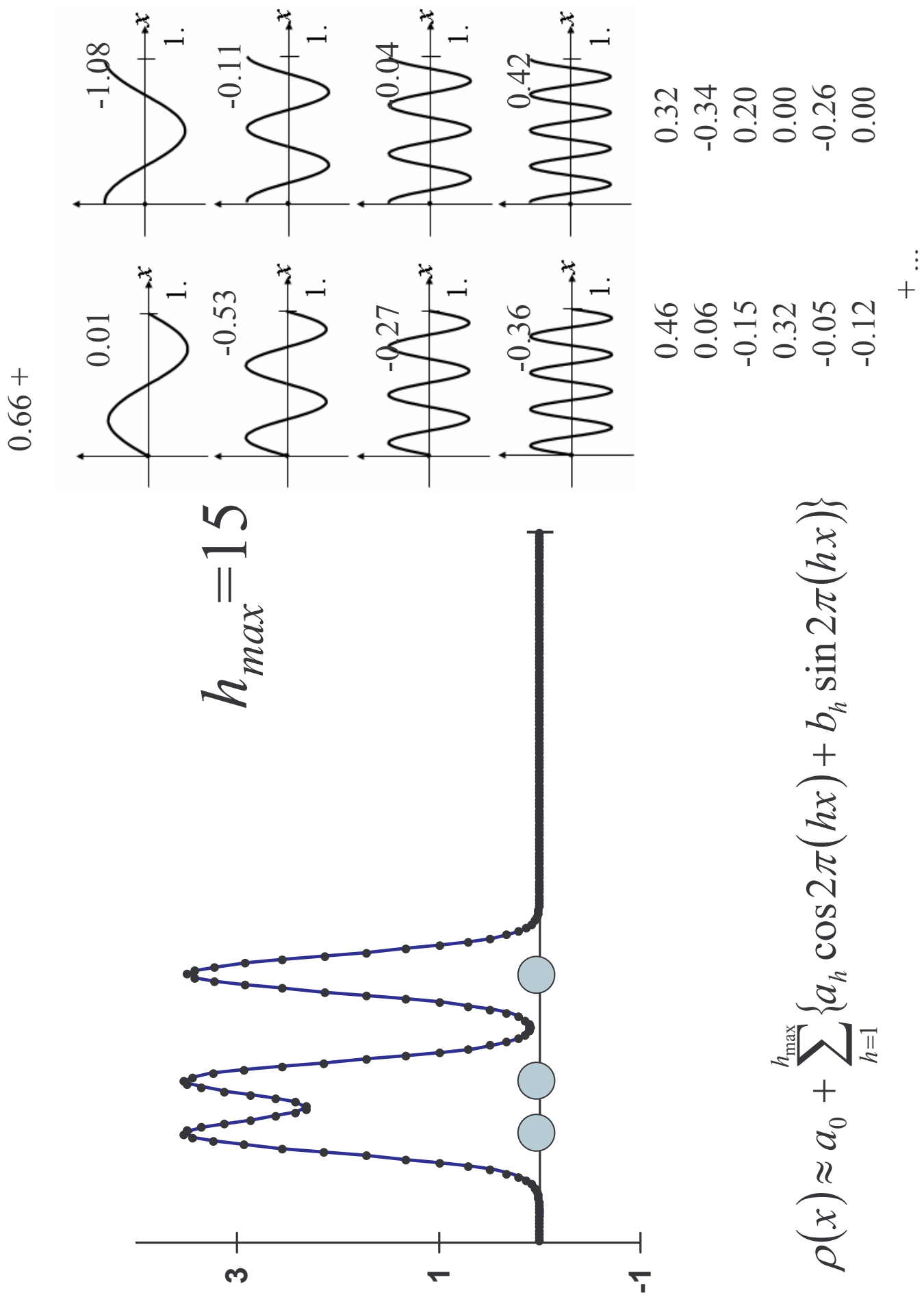
$$\rho(x) \approx a_0 + \sum_{h=1}^{h_{\max}} \{a_h \cos 2\pi(hx) + b_h \sin 2\pi(hx)\}$$

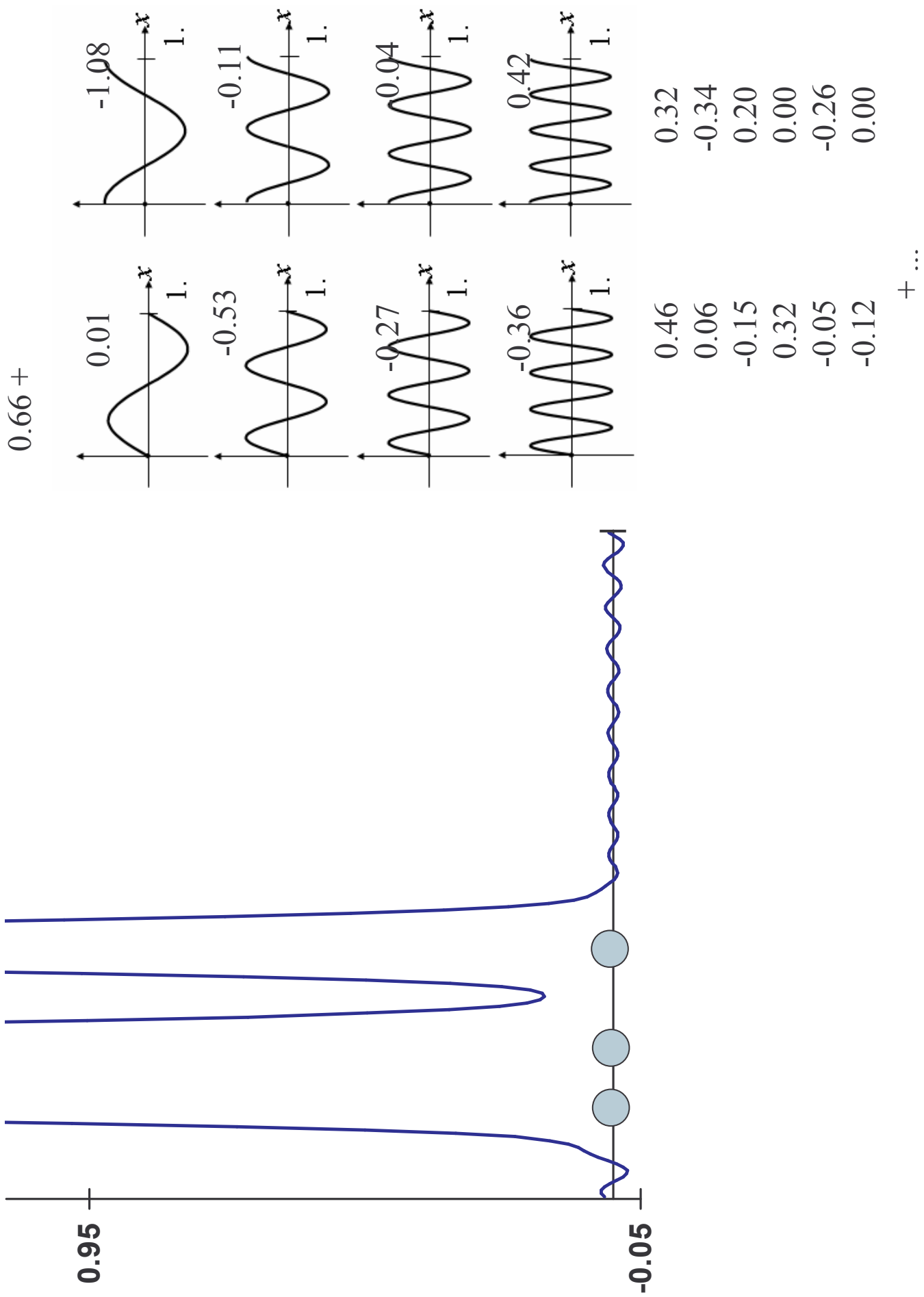


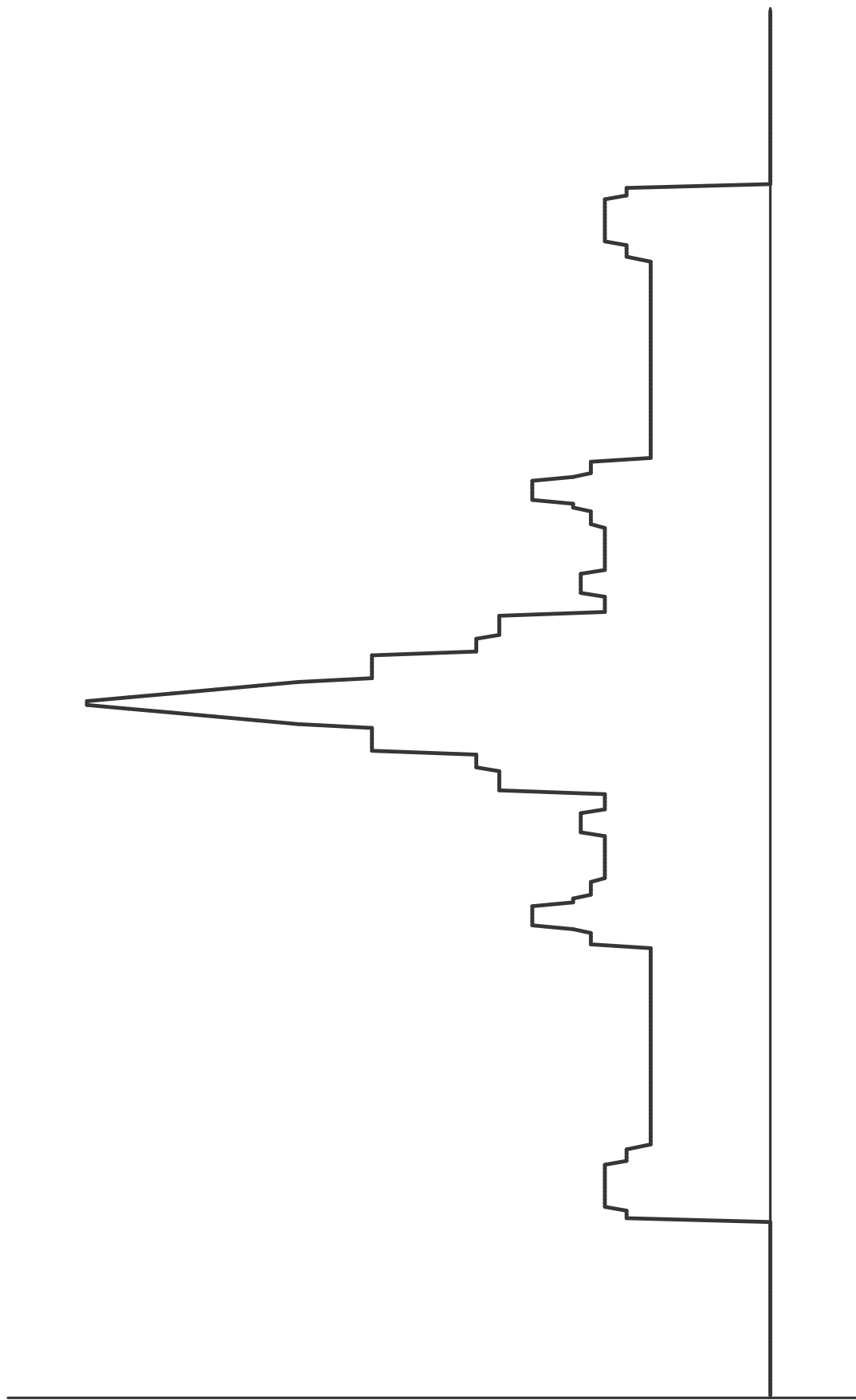






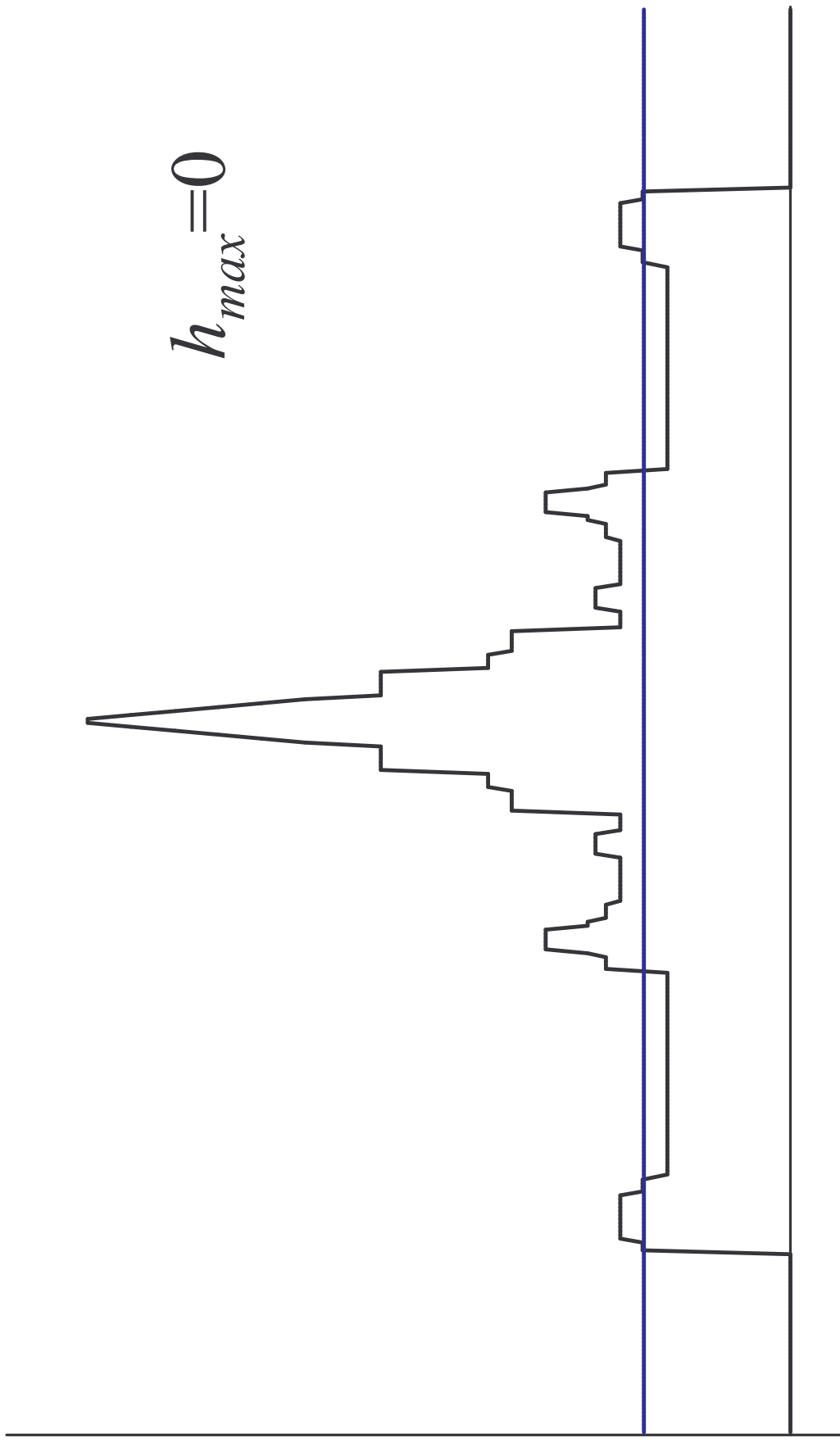






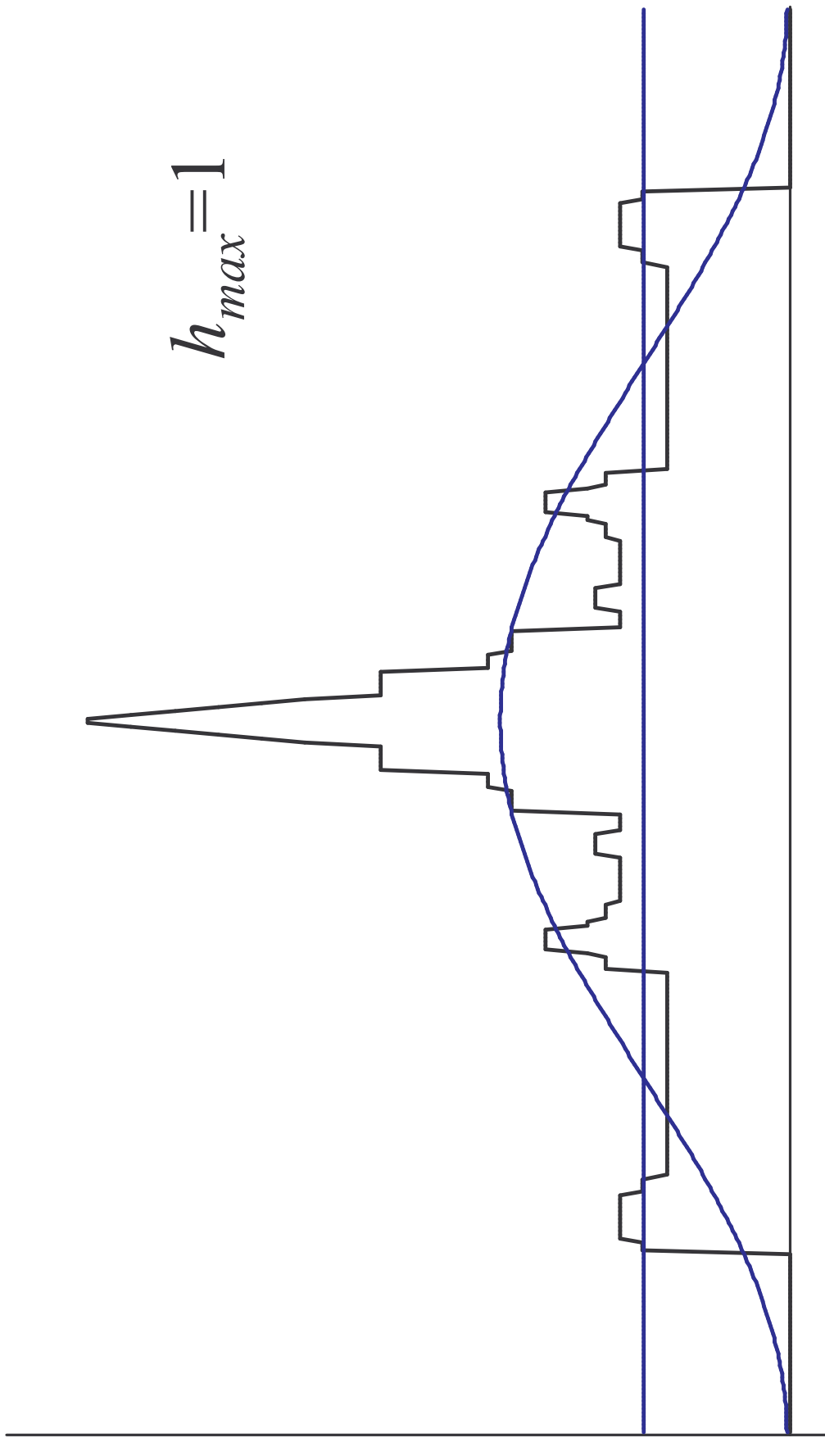
$$\rho(x) \approx a_0 + \sum_{h=1}^{h_{\max}} \{a_h \cos 2\pi(hx) + b_h \sin 2\pi(hx)\}$$

$h_{\max}=0$



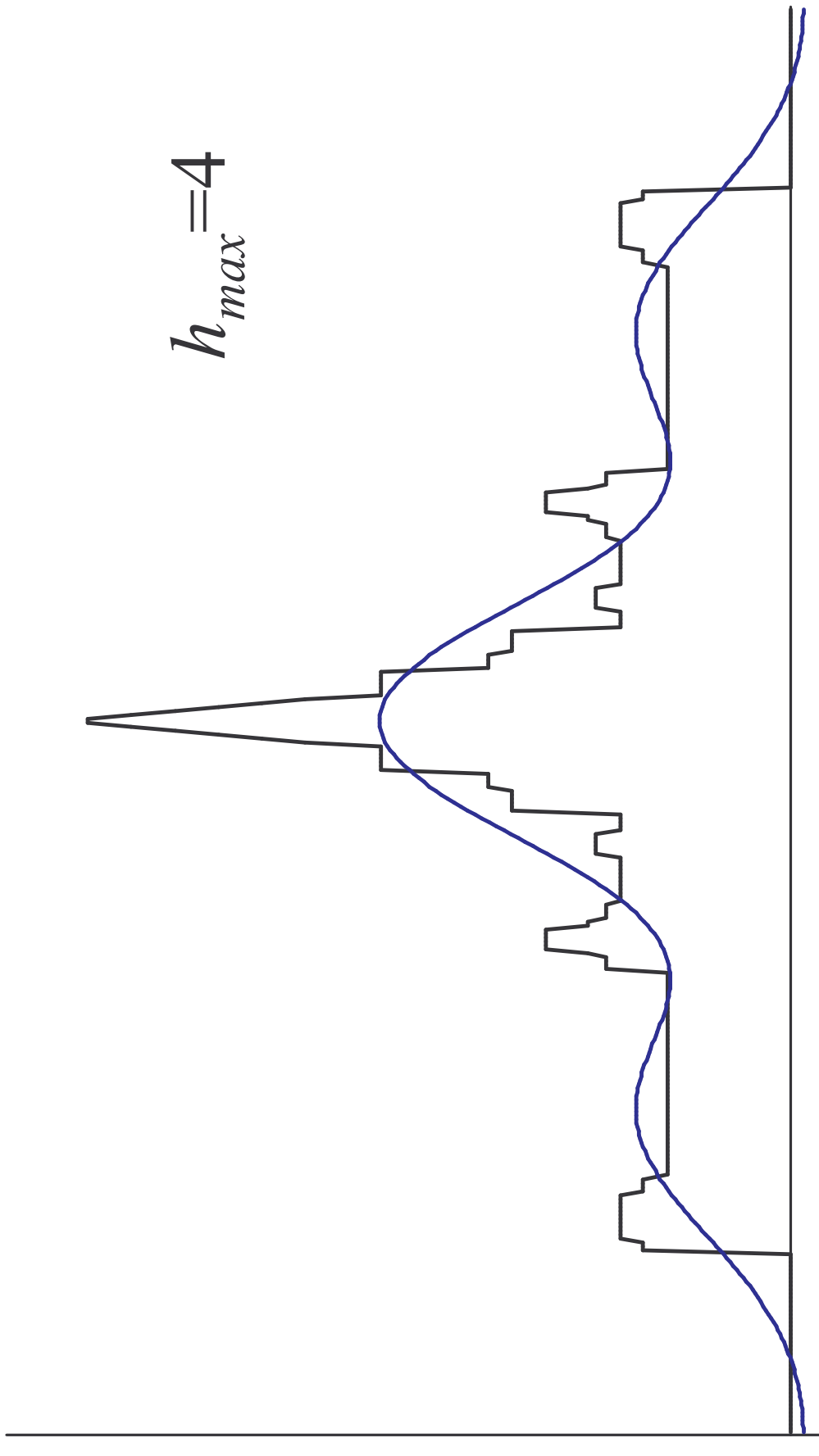
$$\rho(x) \approx a_0 + \sum_{h=1}^{h_{\max}} \{a_h \cos 2\pi(hx) + b_h \sin 2\pi(hx)\}$$

$h_{\max} = 1$



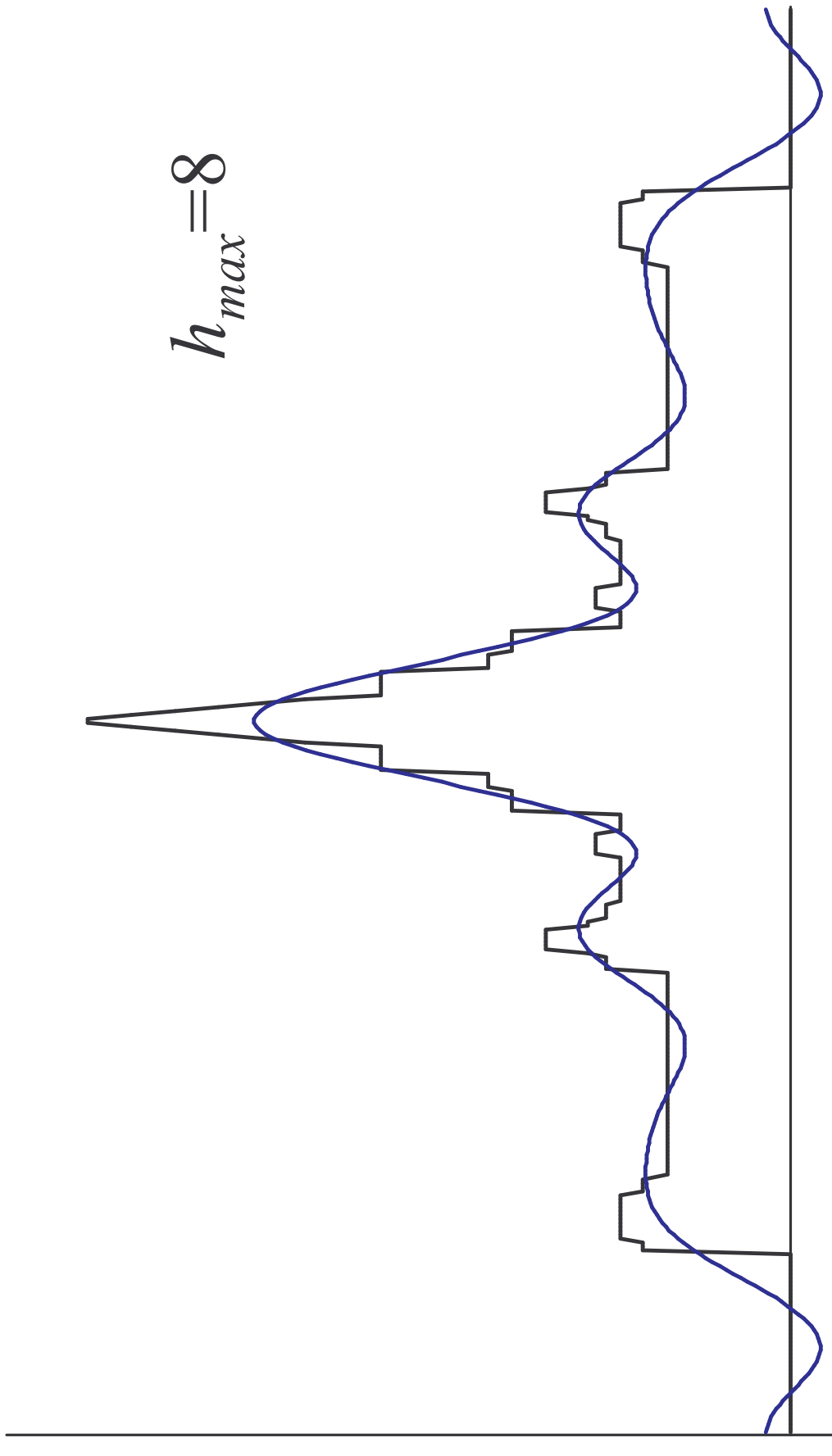
$$\rho(x) \approx a_0 + \sum_{h=1}^{h_{\max}} \{a_h \cos 2\pi(hx) + b_h \sin 2\pi(hx)\}$$

$h_{\max}=4$



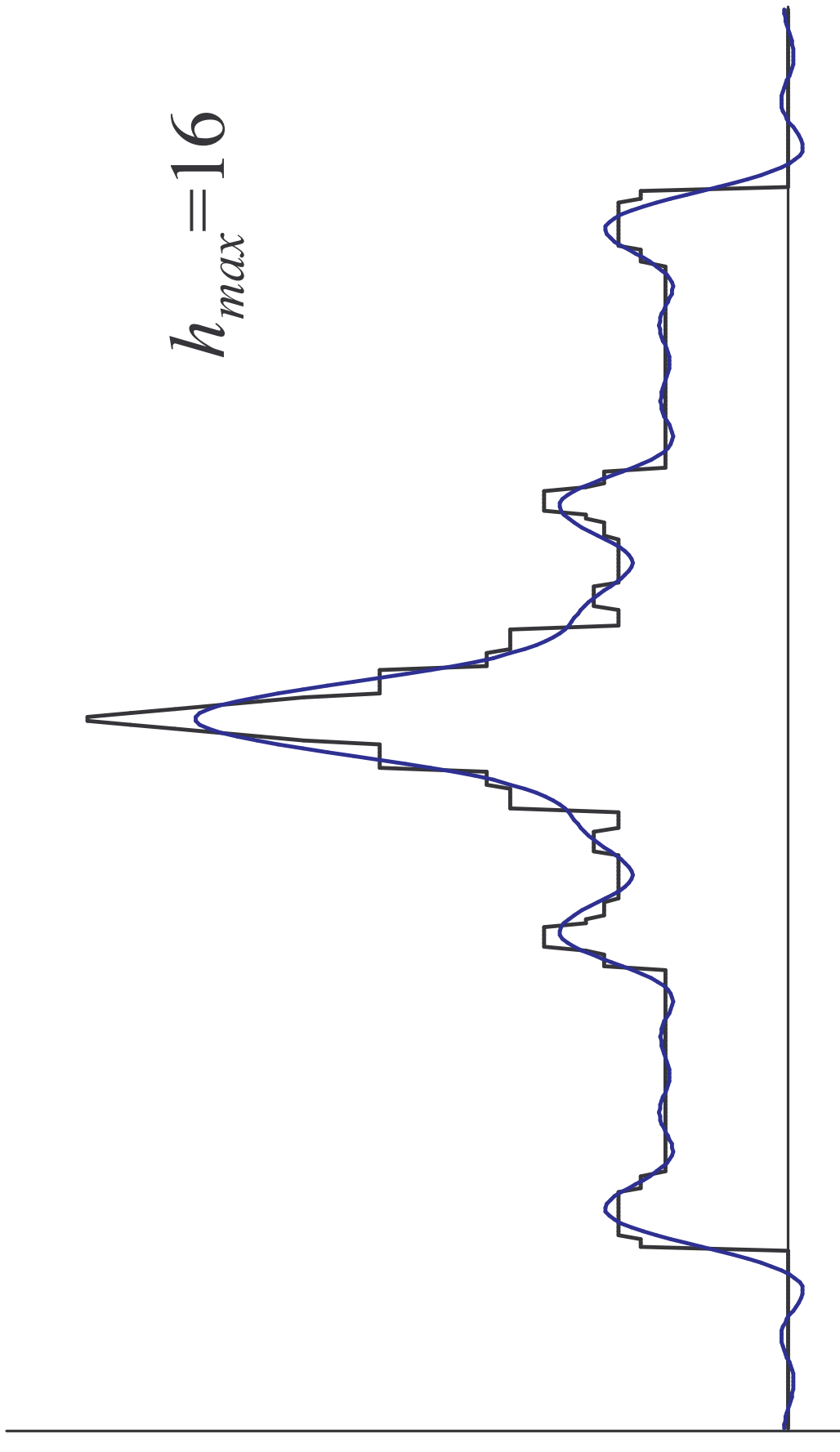
$$\rho(x) \approx a_0 + \sum_{h=1}^{h_{\max}} \{a_h \cos 2\pi(hx) + b_h \sin 2\pi(hx)\}$$

$h_{\max}=8$



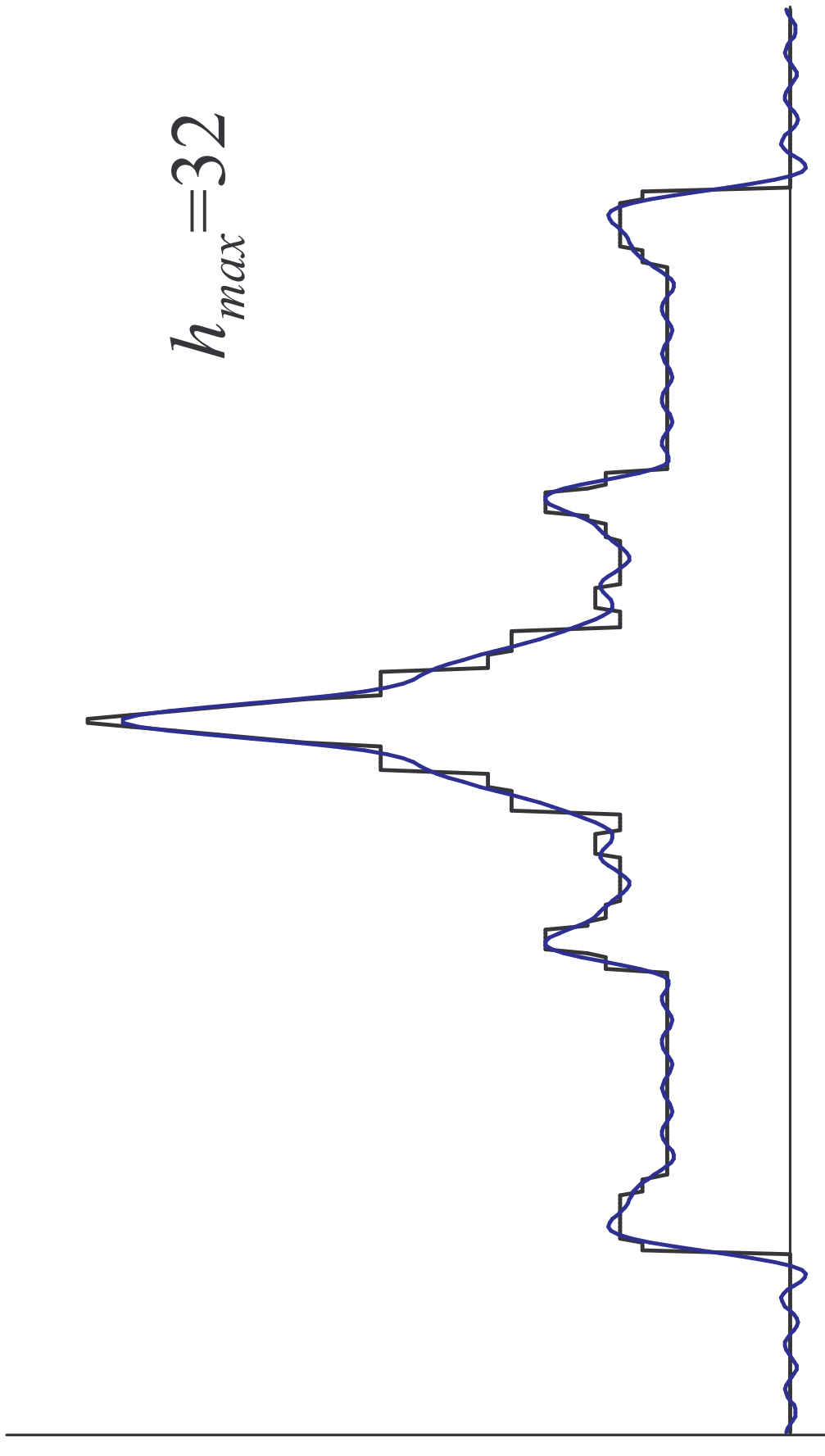
$$\rho(x) \approx a_0 + \sum_{h=1}^{h_{\max}} \{a_h \cos 2\pi(hx) + b_h \sin 2\pi(hx)\}$$

$h_{\max} = 16$



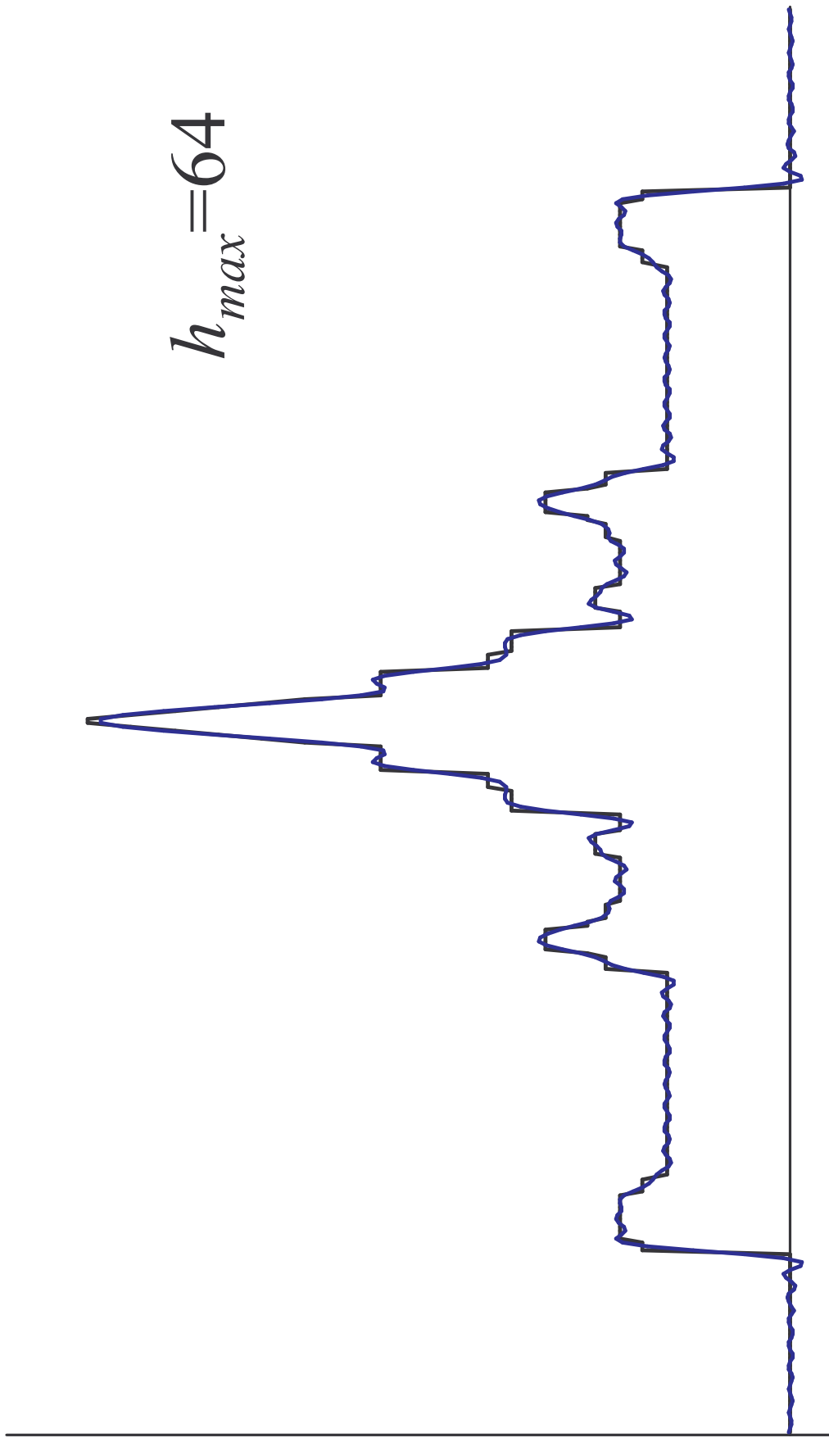
$$\rho(x) \approx a_0 + \sum_{h=1}^{h_{\max}} \{a_h \cos 2\pi(hx) + b_h \sin 2\pi(hx)\}$$

$h_{\max}=32$



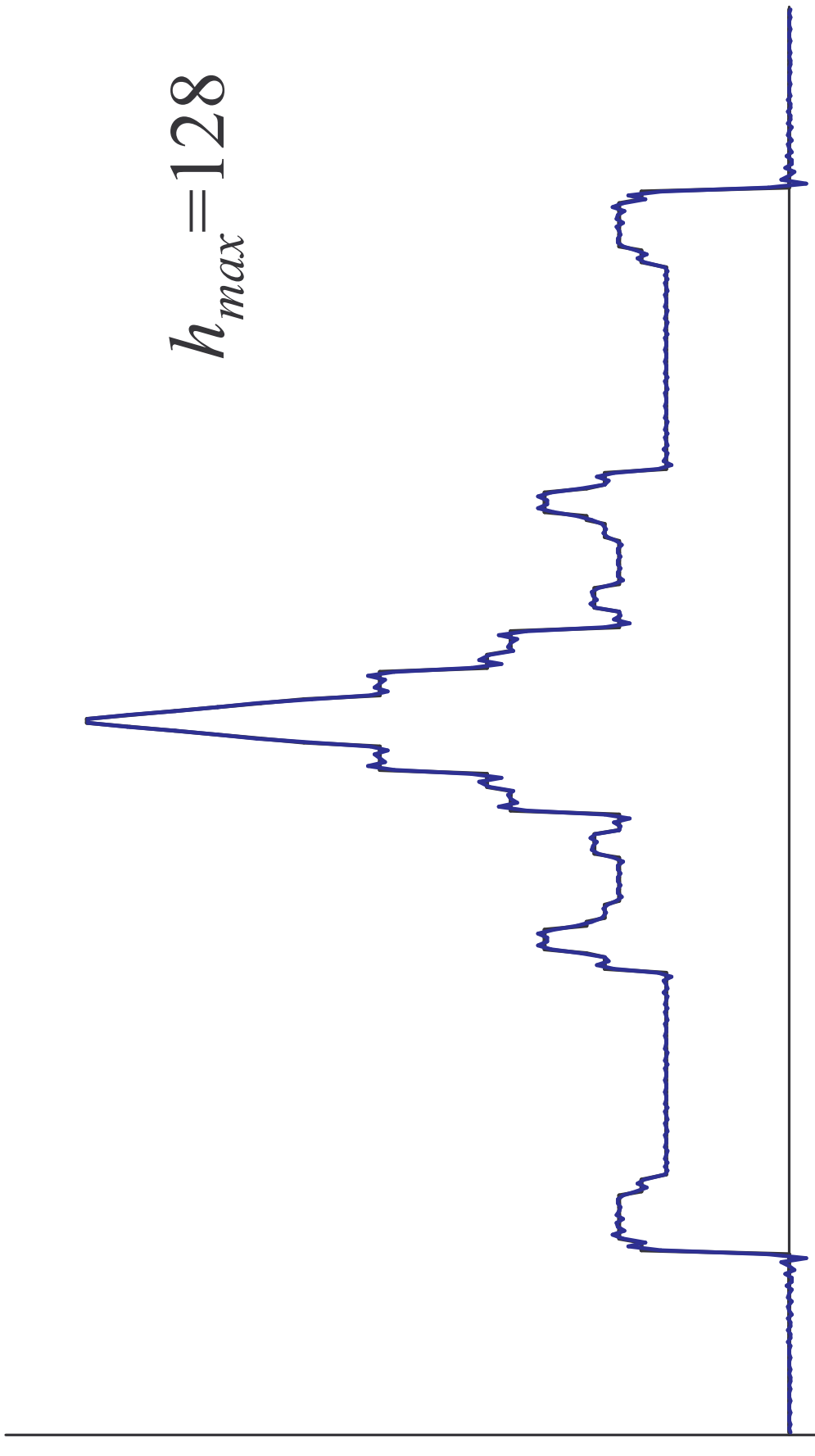
$$\rho(x) \approx a_0 + \sum_{h=1}^{h_{\max}} \{a_h \cos 2\pi(hx) + b_h \sin 2\pi(hx)\}$$

$h_{\max} = 64$



$$\rho(x) \approx a_0 + \sum_{h=1}^{h_{\max}} \{a_h \cos 2\pi(hx) + b_h \sin 2\pi(hx)\}$$

$h_{\max} = 128$



Вычисление коэффициентов ряда Фурье

Любая функция на отрезке $[0, 1]$ может быть разложена, при этом единственным образом, в ряд Фурье.

$$\rho(x) = A_0 + 2 \sum_{h=1}^{\infty} \{A_h \cos 2\pi(hx) + B_h \sin 2\pi(hx)\}$$

$$A_h = \int_0^1 \rho(x) \cos[2\pi(hx)] dx \quad B_h = \int_0^1 \rho(x) \sin[2\pi(hx)] dx$$

$$2A_h = a_h \quad , \quad 2B_h = b_h$$

$$\rho(x) \approx A_0 + 2 \sum_{h=1}^{h_{\max}} \{A_h \cos 2\pi(hx) + B_h \sin 2\pi(hx)\}$$

$$A_h = \int_0^1 \rho(x) \cos[2\pi(hx)] dx \quad B_h = \int_0^1 \rho(x) \sin[2\pi(hx)] dx$$

$$A_h \cos 2\pi(hx) + B_h \sin 2\pi(hx) = F_h \cos[2\pi(hx) - \varphi_h]$$

$$A_h = F_h \cos \varphi \quad F_h = \sqrt{A_h^2 + B_h^2}$$

$$B_h = F_h \sin \varphi \quad \operatorname{tg} \varphi_h = \frac{B_h}{A_h}$$

$$\rho(x) \approx F_0 + 2 \sum_{h=1}^{h_{\max}} F_h \cos[2\pi(hx) - \varphi_h]$$

F_h, φ_h - модуль и фаза коэффициентов
 Фурье, отвечающих частоте h

Сжатие информации

Исходный сигнал

Коэффициенты Фурье

Передача / хранение

Восстановление изображения

Ряды Фурье для функций нескольких переменных

$$\rho(x, y, z) \quad 0 \leq x, y, z \leq 1$$

$$\rho(x, y, z) \approx A_{000} + 2 \sum_{hkl} \left\{ A_{hkl} \cos 2\pi(hx + ky + lz) + B_{hkl} \sin 2\pi(hx + ky + lz) \right\}$$

Ряды Фурье для функций нескольких переменных

$$\rho(x, y, z) \quad 0 \leq x, y, z \leq 1$$

$$\rho(x, y, z) \approx A_{000} + 2 \sum_{hkl} \left\{ A_{hkl} \cos 2\pi(hx + ky + lz) + B_{hkl} \sin 2\pi(hx + ky + lz) \right\}$$

$$\rho(x, y, z) \approx F_{000} + 2 \sum_{hkl} F_{hkl} \cos [2\pi(hx + ky + lz) - \varphi_{hkl}]$$

Ряды Фурье для функций нескольких переменных

$$\rho(x, y, z) \quad 0 \leq x, y, z \leq 1$$

$$\rho(x, y, z) \approx A_{000} + 2 \sum_{hkl} \left\{ A_{hkl} \cos 2\pi(hx + ky + lz) + B_{hkl} \sin 2\pi(hx + ky + lz) \right\}$$

$$\rho(x, y, z) \approx F_{000} + 2 \sum_{hkl} F_{hkl} \cos [2\pi(hx + ky + lz) - \varphi_{hkl}]$$

$$A_{hkl} = \int_V \rho(x, y, z) \cos [2\pi(hx + ky + lz)] dx dy dz$$

$$B_{hkl} = \int_V \rho(x, y, z) \sin [2\pi(hx + ky + lz)] dx dy dz$$

$$F_{hkl} = \sqrt{A_{hkl}^2 + B_{hkl}^2} \quad \operatorname{tg} \varphi_{hkl} = \frac{B_{hkl}}{A_{hkl}}$$

Ряды Фурье для функций нескольких переменных

$$\rho(x, y, z) \quad 0 \leq x, y, z \leq 1$$

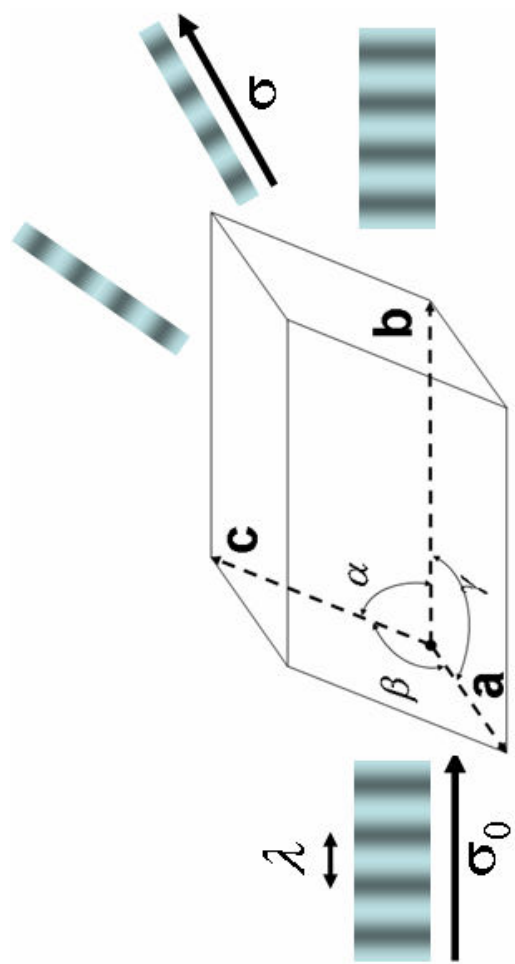
$$\rho(x, y, z) \approx F_{000} + 2 \sum_{hkl} F_{hkl} \cos[2\pi(hx + ky + lz) - \phi_{hkl}]$$

$$A_{hkl} = \int_V \rho(x, y, z) \cos[2\pi(hx + ky + lz)] dx dy dz$$

$$B_{hkl} = \int_V \rho(x, y, z) \sin[2\pi(hx + ky + lz)] dx dy dz$$

$$F_{hkl} = \sqrt{A_{hkl}^2 + B_{hkl}^2}$$
$$\operatorname{tg} \varphi_{hkl} = \frac{B_{hkl}}{A_{hkl}}$$

Рентгеновский эксперимент
с монокристаллом позволяет
измерить интенсивность
волн, рассеянных в
направлении,
определенном условиями



$$\mathbf{r} = x\mathbf{a} + y\mathbf{b} + z\mathbf{c}$$

$$\left(\frac{\sigma - \sigma_0}{\lambda}, \mathbf{a} \right) = h, \left(\frac{\sigma - \sigma_0}{\lambda}, \mathbf{b} \right) = k,$$

$$\left(\frac{\sigma - \sigma_0}{\lambda}, \mathbf{c} \right) = l \quad h, k, l - \text{целые}$$

Вклады в амплитуду и
фазу рассеянной
волны, зависят от
распределения
электронной плотности
в элементарной ячейке
и могут быть
расчитаны по
формулам

$$F_{hkl} = \sqrt{A_{hkl}^2 + B_{hkl}^2} \quad \operatorname{tg} \varphi_{hkl} = \frac{B_{hkl}}{A_{hkl}}$$

$$A_{hkl} = \int_V \rho(x, y, z) \cos[2\pi(hx + ky + lz)] dx dy dz$$

$$B_{hkl} = \int_V \rho(x, y, z) \sin[2\pi(hx + ky + lz)] dx dy dz$$

Рентгеновский дифракционный эксперимент с экспериментом с монокристаллом позволяет измерить модули коэффициентов в разложении функции распределения электронной плотности в ряд Фурье.

$$\rho(x, y, z) \approx F_{000} + 2 \sum_{hkl} F_{hkl} \cos[2\pi(hx + ky + lz) - \phi_{hkl}]$$

Рентгеновский дифракционный эксперимент с экспериментом с монокристаллом позволяет измерить модули коэффициентов в разложении функции распределения электронной плотности в ряд Фурье.

$$\rho(x, y, z) \approx F_{000} + 2 \sum_{hkl} F_{hkl} \cos[2\pi(hx + ky + lz) - \phi_{hkl}]$$

Знание значений модулей и фаз даёт возможность рассчитать "синтез Фурье электронной плотности"

$$\tilde{\rho}_S(x, y, z) \approx F_{000} + 2 \sum_{(hkl) \in S} F_{hkl} \cos[2\pi(hx + ky + lz) - \phi_{hkl}]$$

Ряд Фурье для функции, заданной на произвольном отрезке.

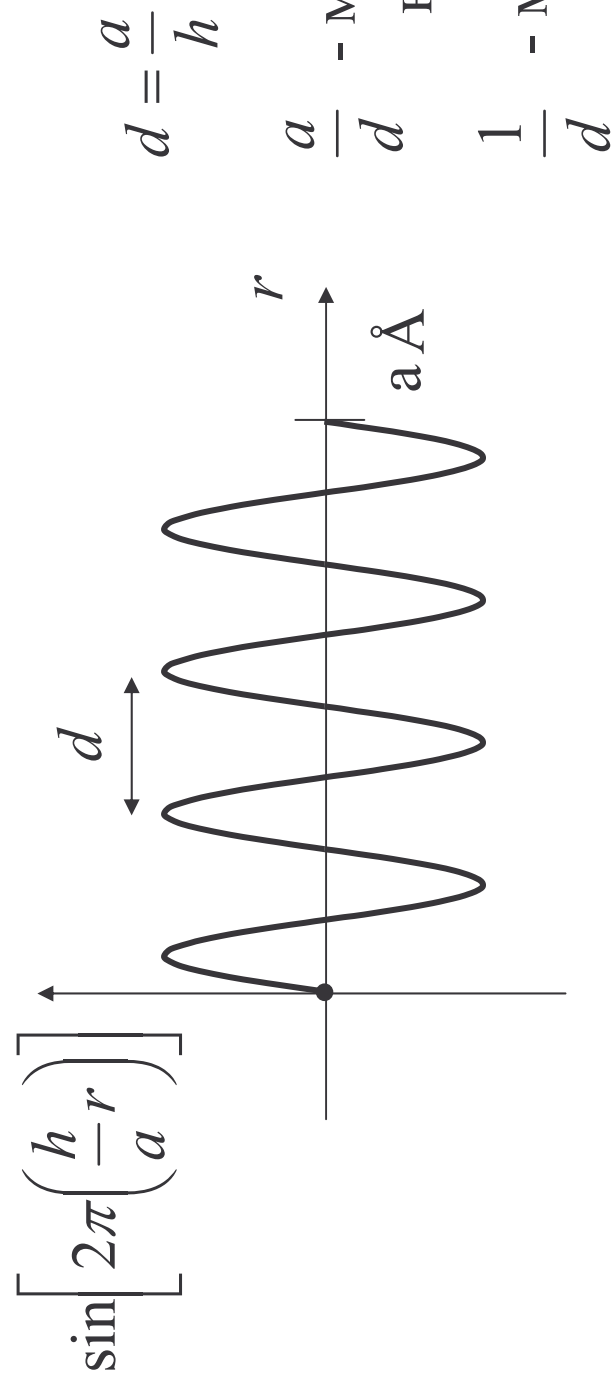
$$\begin{aligned} 0 \leq x \leq 1 \\ \rho(x) &\approx F_0 + 2 \sum_{h=1}^{h_{\max}} F_h \cos[2\pi(hx) - \phi_h] \\ A_h &= \int_0^1 \rho(x) \cos[2\pi(hx)] dx \quad B_h = \int_0^1 \rho(x) \sin[2\pi(hx)] dx \\ F_h &= \sqrt{A_h^2 + B_h^2} \quad \operatorname{tg} \phi_h = \frac{B_h}{A_h} \end{aligned}$$

Ряд Фурье для функции, заданной на произвольном отрезке.

$$\rho(x) \approx F_0 + 2 \sum_{h=1}^{h_{\max}} F_h \cos[2\pi(hx) - \phi_h]$$
$$A_h = \int_0^1 \rho(x) \cos[2\pi(hx)] dx$$
$$B_h = \int_0^1 \rho(x) \sin[2\pi(hx)] dx$$
$$F_h = \sqrt{A_h^2 + B_h^2}$$
$$\operatorname{tg} \phi_h = \frac{B_h}{A_h}$$

$$\rho(r) \quad 0 \leq r \leq a \text{ (\AA)} \quad r = xa \quad \hat{\rho}(x) = \rho(xa) \quad 0 \leq x \leq 1$$

Разрешение синтеза Фурье

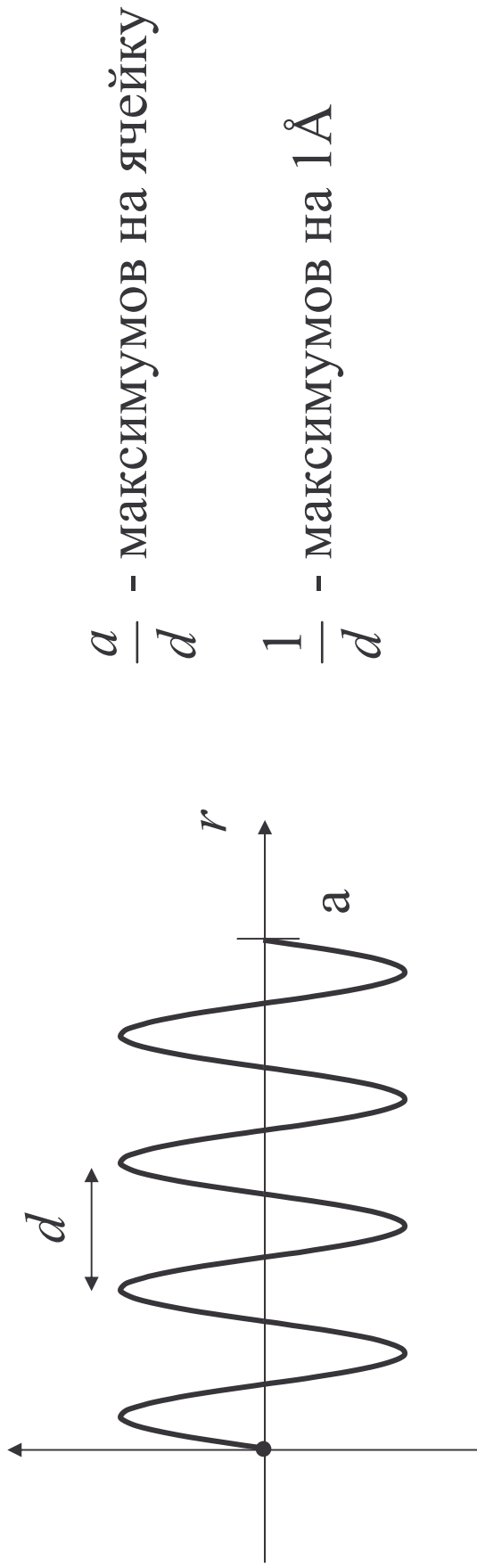


Разрешение, отвечающее гармонике

Макромолекулярная кристаллография:
 d - расстояние между максимумами

Низкомолекулярная кристаллография:
 $1/d$ - число максимумов на 1\AA

Разрешение синтеза Фурье

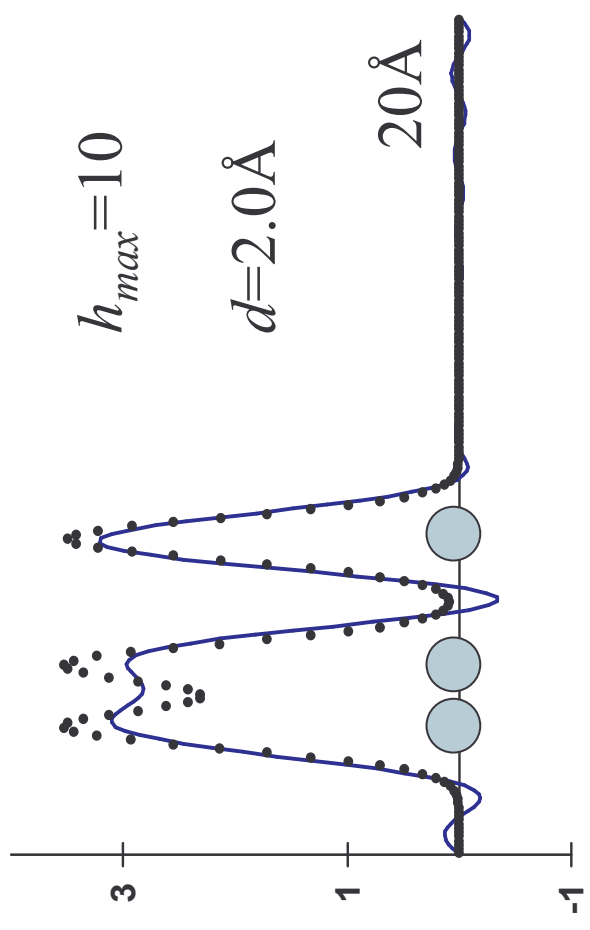
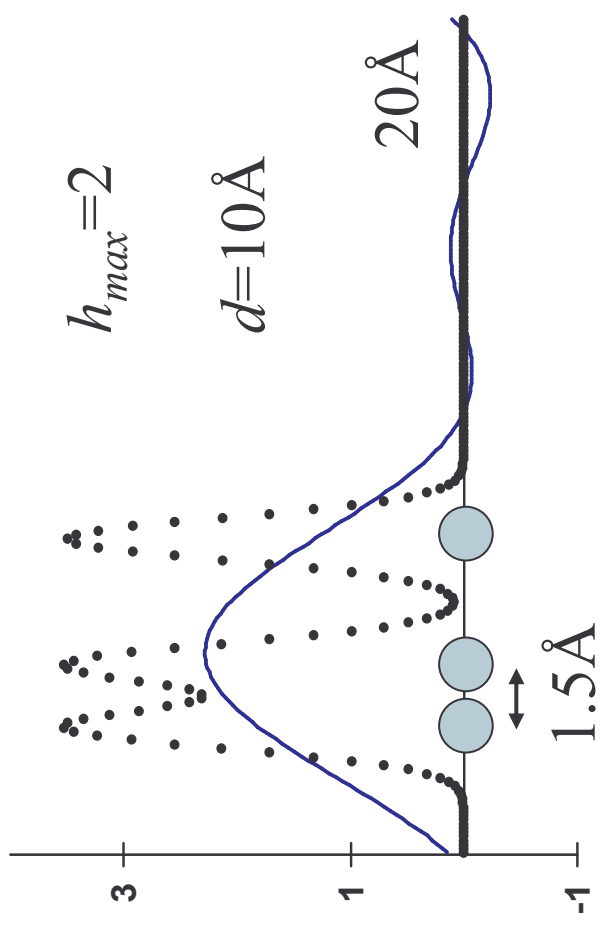
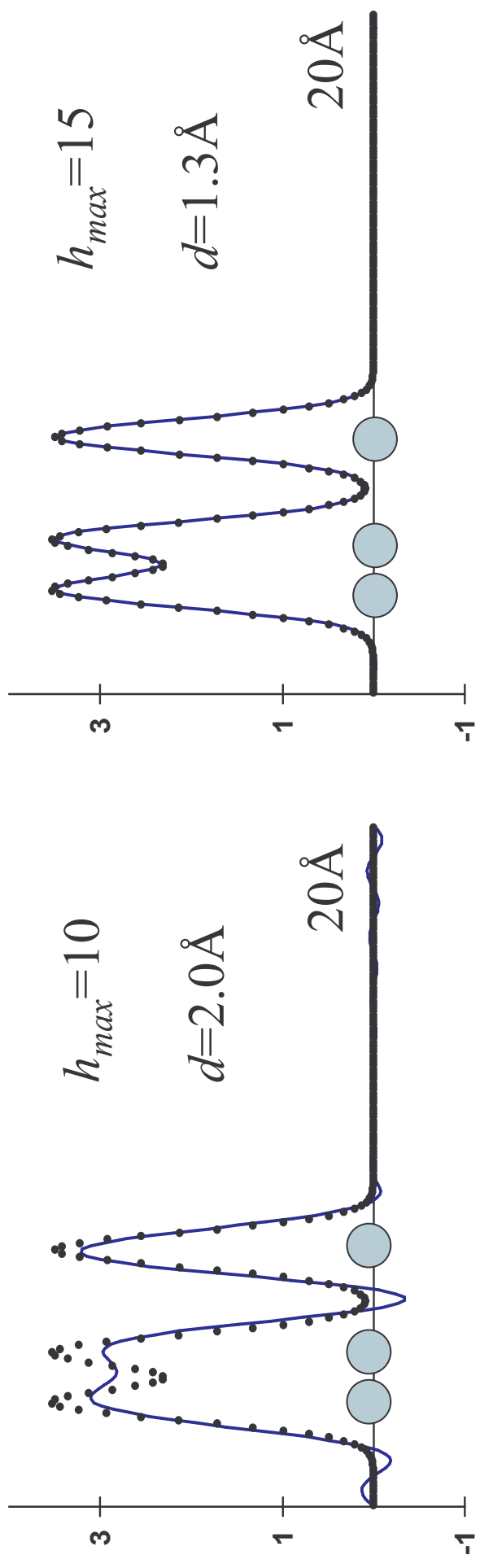
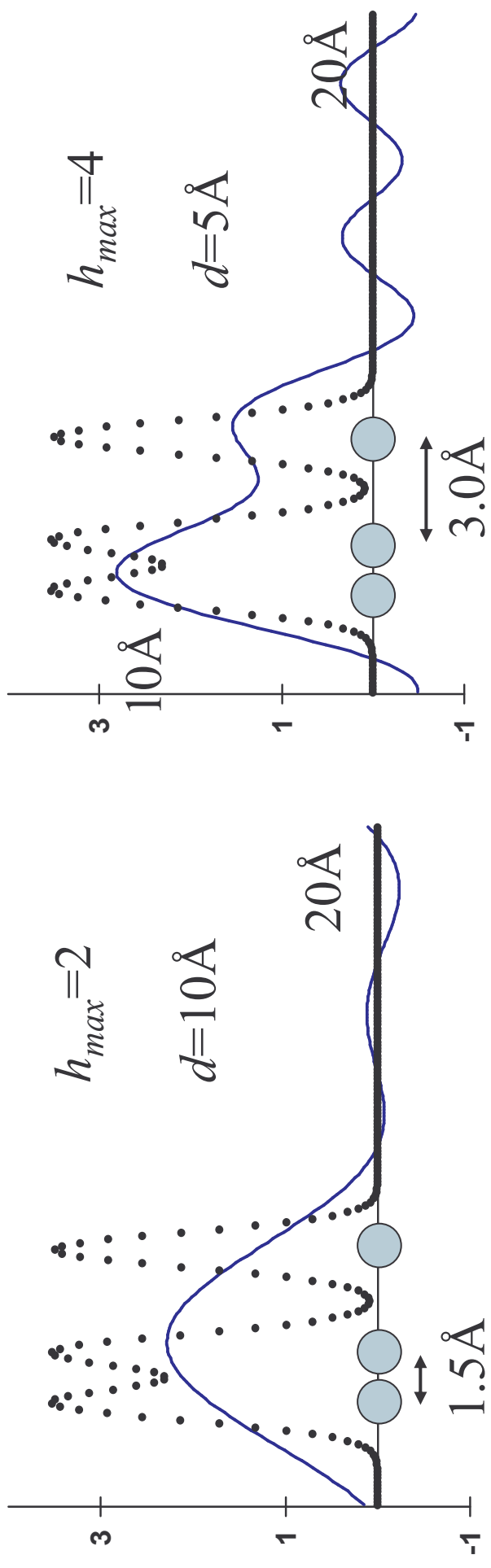


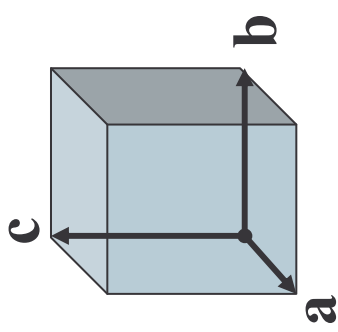
Разрешение, отвечающее гармонике

d - расстояние между максимумами

Синтез Фурье разрешения d_{min} :

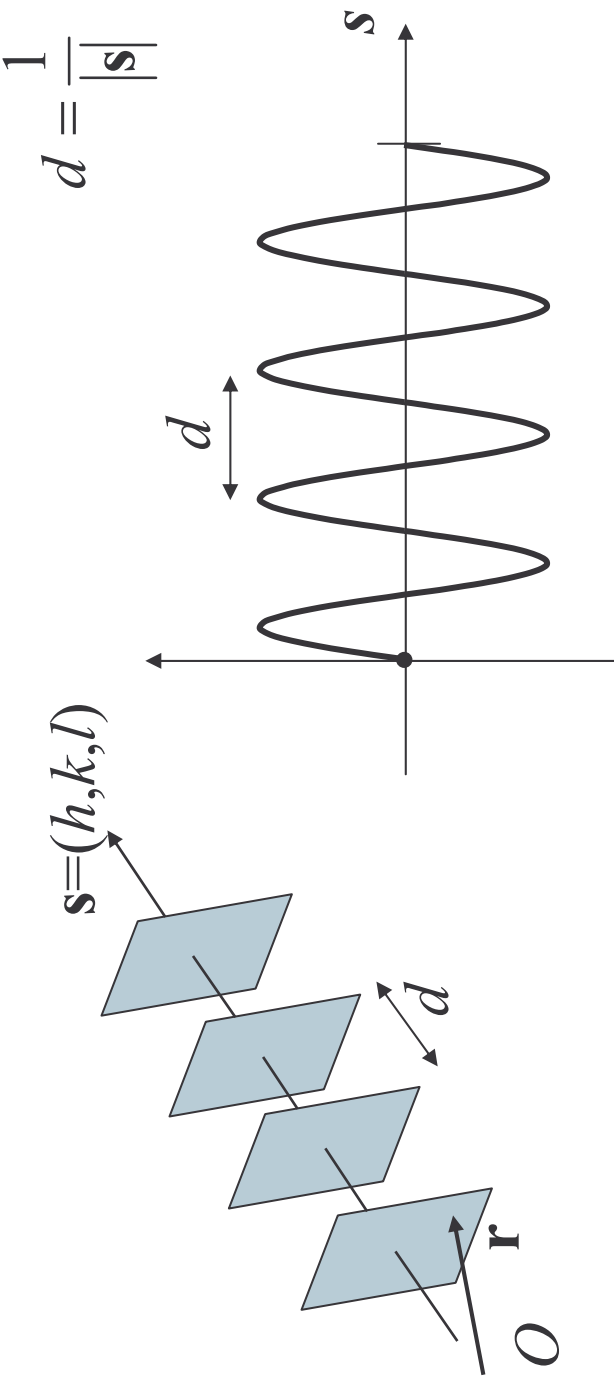
Все (почти все) члены ряда с $d > d_{min}$
включены в расчет



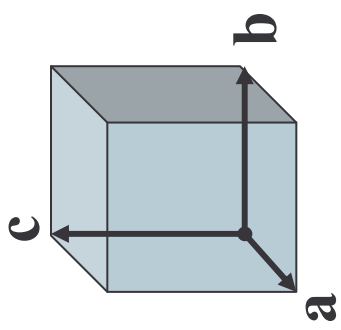


$$\mathbf{r} = x\mathbf{a} + y\mathbf{b} + z\mathbf{c}$$

$$f(x, y, z) = \sin[2\pi(hx + ky + lz)]$$

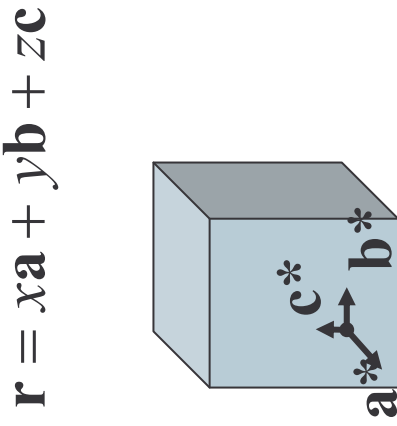
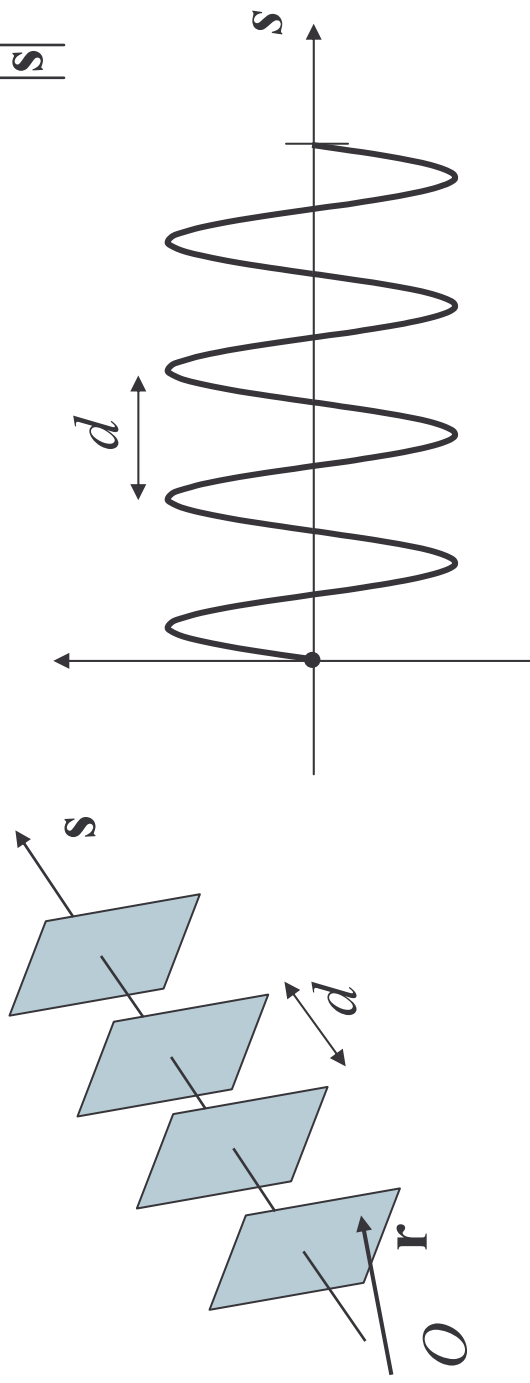


В любой плоскости, перпендикулярной направлению \mathbf{s} , в данный момент времени $f(\mathbf{r})$ постоянна. Вдоль \mathbf{s} функция $f(\mathbf{r})$ меняется синусоидально.



$$f(x, y, z) = \sin[2\pi(hx + ky + lz)]$$

$$d = \frac{1}{|\mathbf{s}|}$$



$$\mathbf{s} = h\mathbf{a}^* + k\mathbf{b}^* + l\mathbf{c}^*$$

$$\mathbf{a}^* = \frac{1}{a^2} \mathbf{a}$$

$$\mathbf{b}^* = \frac{1}{b^2} \mathbf{b}$$

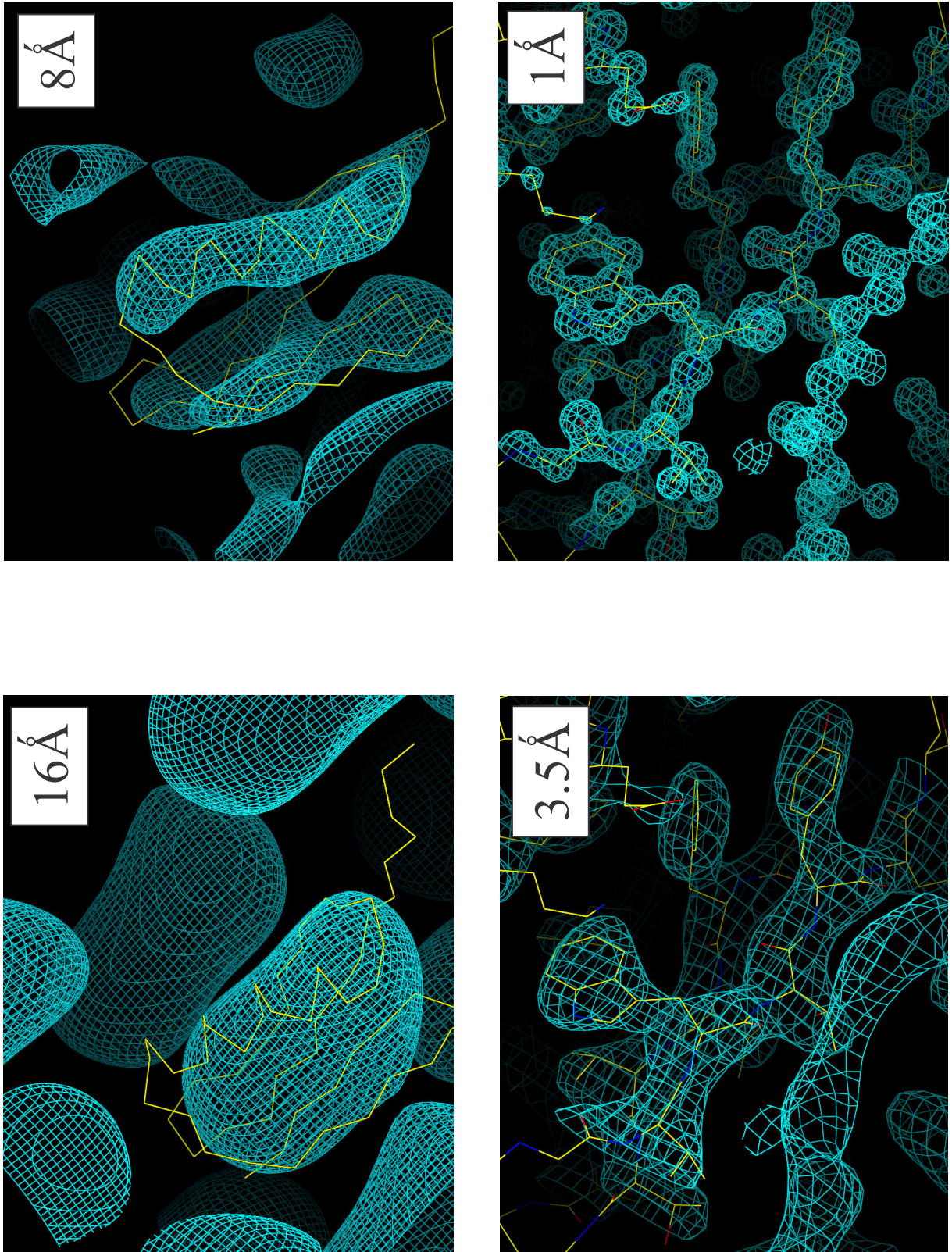
$$\mathbf{c}^* = \frac{1}{c^2} \mathbf{c}$$

В любой плоскости, перпендикулярной направлению \mathbf{s} , в данный момент времени $f(\mathbf{r})$ постоянна. Вдоль \mathbf{s} функция $f(\mathbf{r})$ меняется синусоидально.

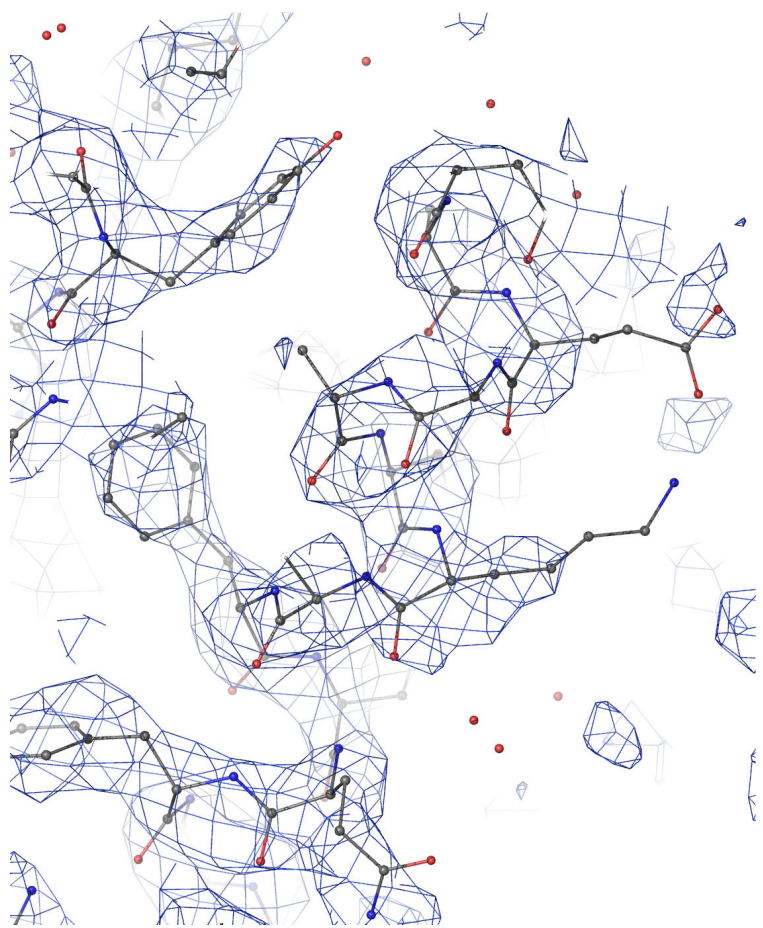
$$d = \frac{1}{\sqrt{\left(\frac{h}{a}\right)^2 + \left(\frac{k}{b}\right)^2 + \left(\frac{l}{c}\right)^2}}$$

Views of the high-density region in Protein G constructed on the base of Fourier syntheses of different resolutions.

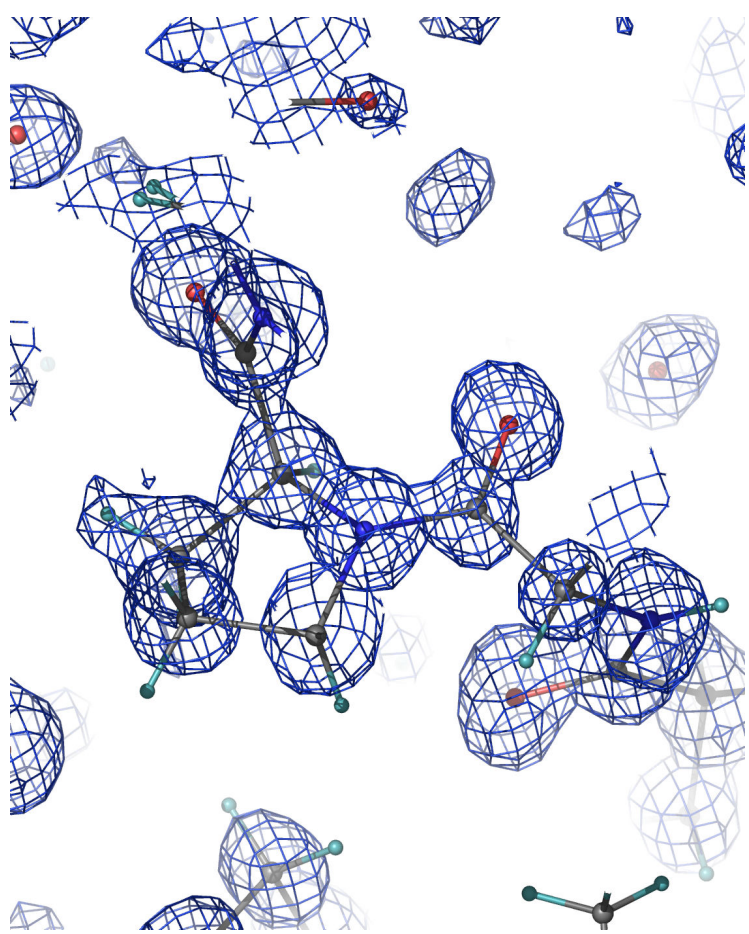
X-ray structure analysis



Protein G
3.0 Å



Aldose-reductase
0.9 Å

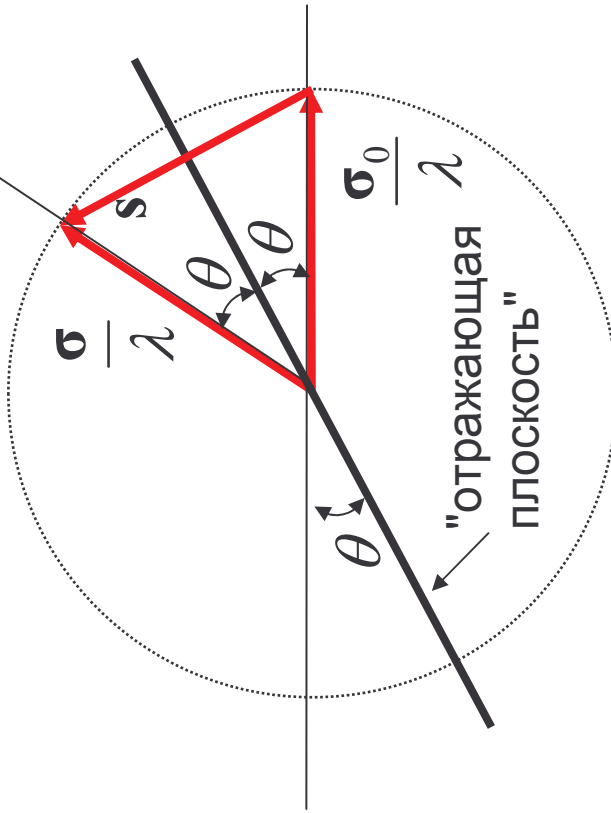


$$\mathbf{s} = \frac{\boldsymbol{\sigma} - \boldsymbol{\sigma}_0}{\lambda} - \text{вектор рассеяния}$$

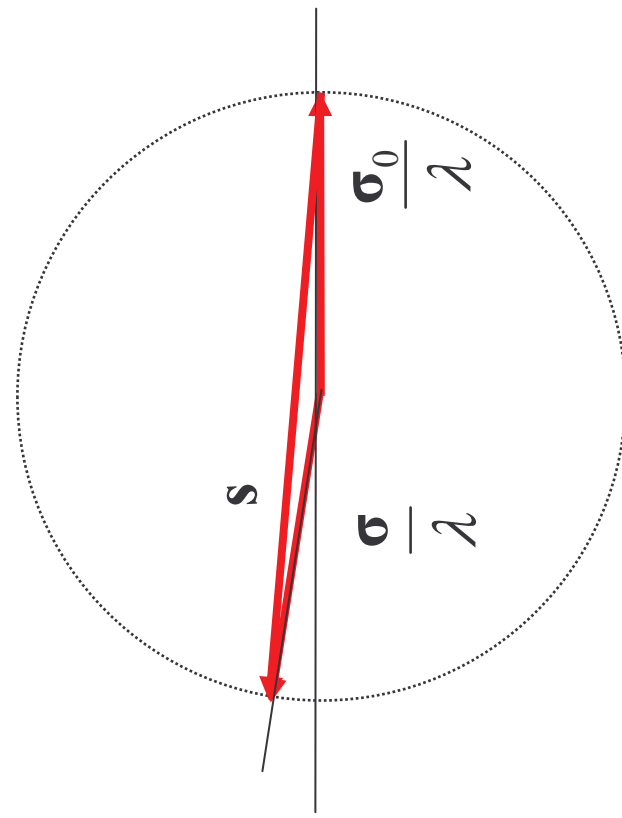
θ - угол рассеяния

$$I(\boldsymbol{\sigma}, \boldsymbol{\sigma}_0)$$

отражение
(reflection)



$$d = \frac{1}{|\mathbf{s}|} \quad |\mathbf{s}|_{\max} = \frac{2}{\lambda} \quad d_{\min} = \frac{\lambda}{2}$$



Рентгеновский эксперимент позволяет (теоретически) восстановить распределение электронной плотности с точностью до деталей порядка половины длины волны используемого излучения

Рентгеноструктурный анализ

- Выделение и очистка белка
- Кристаллизация
- Дифракционный эксперимент
- Решение фазовой проблемы
- Расчет и интерпретация синтеза Фурье; построение предварительной атомной модели
- Уточнение атомной модели
- Проверка правильности модели